



UNIVERSIDAD NACIONAL AUTONOMA DE MEXICO

FACULTAD DE CIENCIAS

TEOREMA DEL INDICE DE POINCARÉ-HOPF.

TESIS PROFESIONAL

Que Para Obtener el Título de

M A T E M A T I C O

p r e s e n t a :

ERNESTO ROSALES GONZALEZ .

MEXICO D.F.

1984



Universidad Nacional
Autónoma de México



UNAM – Dirección General de Bibliotecas Tesis Digitales Restricciones de uso

DERECHOS RESERVADOS © PROHIBIDA SU REPRODUCCIÓN TOTAL O PARCIAL

Todo el material contenido en esta tesis está protegido por la Ley Federal del Derecho de Autor (LFDA) de los Estados Unidos Mexicanos (México).

El uso de imágenes, fragmentos de videos, y demás material que sea objeto de protección de los derechos de autor, será exclusivamente para fines educativos e informativos y deberá citar la fuente donde la obtuvo mencionando el autor o autores. Cualquier uso distinto como el lucro, reproducción, edición o modificación, será perseguido y sancionado por el respectivo titular de los Derechos de Autor.

INDICE

INTRODUCCION
CAPITULO I
APENDICE I
CAPITULO II
APENDICE II
CAPITULO III
CAPITULO IV
BIBLIOGRAFIA

INTRODUCCION

El tema central de este trabajo consiste en rescatar información topológica de una superficie a partir de un campo vectorial sobre ella. De manera intuitiva esto se podría explicar como sigue:

Para empezar consideremos sobre la esfera el flujo generado por un campo por ejemplo consideremos el flujo obtenido de inducir un remolino en el polo Norte "N" ver fig. I.1 y extendiéndolo de manera continua hasta cubrir toda la esfera tratando de evitar nuevos remolinos, al terminar se induce un remolino en el hemisferio sur en "S", es mas si el remolino en N gira en sentido contrario a las manecillas del reloj "↺", en S girará en sentido de las manecillas del reloj "↻". Que pasaría si quisiéramos generar un flujo con remolinos en N y S, girando ambos en la misma dirección, vigamos ↻ como en la fig. I.2, entonces si tratásemos de extender, generará nuevos remolinos en la zona en que se acoplen ambos flujos. Se "siente" entonces que no podría generar flujos en la superficie con

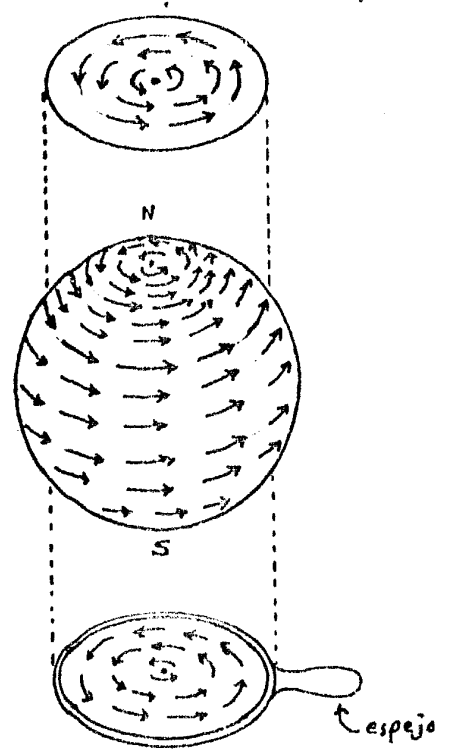


fig. I.1

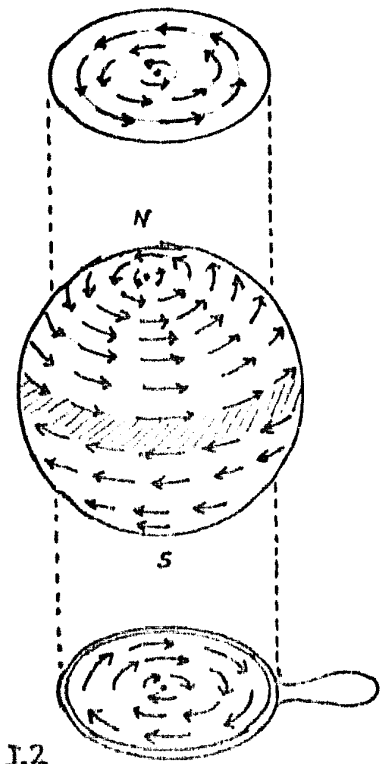


fig. I.2

el comportamiento en sus remolinos como se desea. Es entonces de esperar que dado un campo pueda obtener información topológica estudiando "los remolinos que genera o el comportamiento de éste, en los puntos donde podría ser caótico, i.e. los puntos singulares del campo o los puntos fijos del flujo.

Una forma de "medir" el comportamiento del campo en sus puntos singulares, sería ver cuántas veces se "enreda" el campo alrededor de una singularidad, por ejemplo tomemos el "campo magnético" sobre la superficie de la tierra y caminamos alrededor del polo norte con una brújula en sentido \odot , después de dar una vuelta la aguja de la brújula habrá dado una vuelta en sentido \odot . Haciendo lo mismo en el polo sur resultará que la aguja de la brújula dará una vuelta en el mismo sentido (ver fig. 1.3

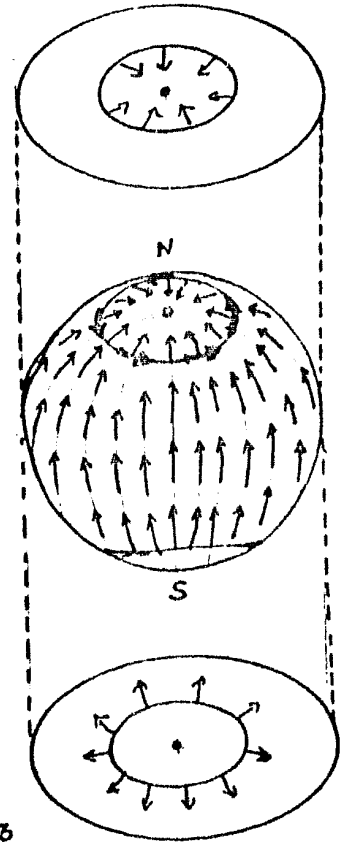
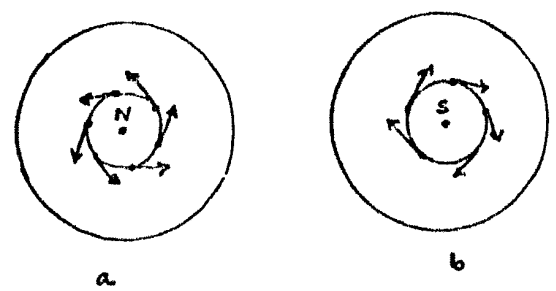


fig. 1.3

Analicemos el campo de nuestro primer ejemplo (fig. 1.1) haciendo lo mismo en cada punto singular N y S el comportamiento a lo largo de la trayectoria es como en la fig. 1.4, si la "brújula" apunta en la dirección del flujo al darle la vuelta a N la aguja dará una vuelta en sentido \odot



a

b

fig. 1.4

y lo mismo pasará en S, en total 2 vueltas en sentido \odot .

Hagamos lo mismo con el campo sobre S^2 mostrado en la fig I.5.a rodeando el polo Norte en sentido \odot como en I.5 b) la aguja de la brújula dará 2 vueltas en sentido \odot , y éste es el total ya que solo hay una singularidad.

Así tenemos en los 3 ejemplos que la suma del número de vueltas en sentido \odot es 2 y en sentido \otimes es 0.

Veamos ahora algunos ejemplos en otra superficie $T^2 \cong S^1 \times S^1$, en él tenemos campos vectoriales sencillos de construir como el que es tangente a los meridianos y el que es tangente a los paralelos, ver fig I.6, I.7 ambos sin singularidades, y por lo tanto el número total de vueltas en sentido \odot es cero y en sentido \otimes es 0.

Otro campo en T^2 es el ilustrado

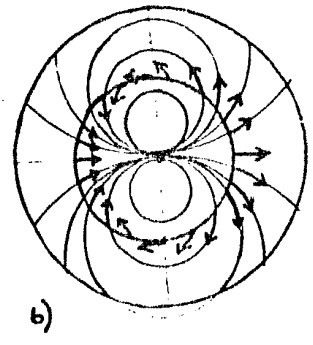
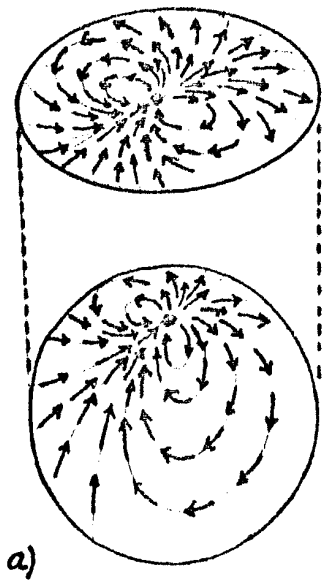


Fig. 1.5

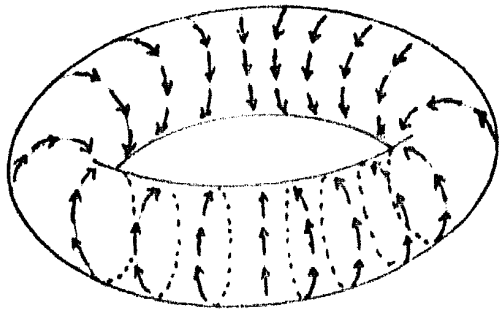


fig. I.6

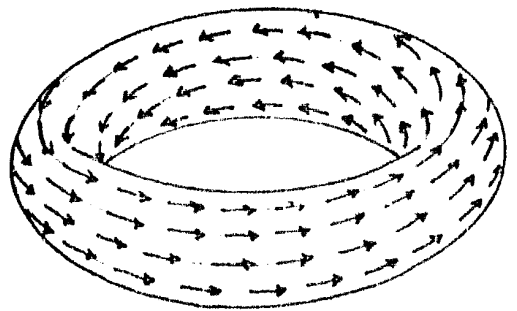
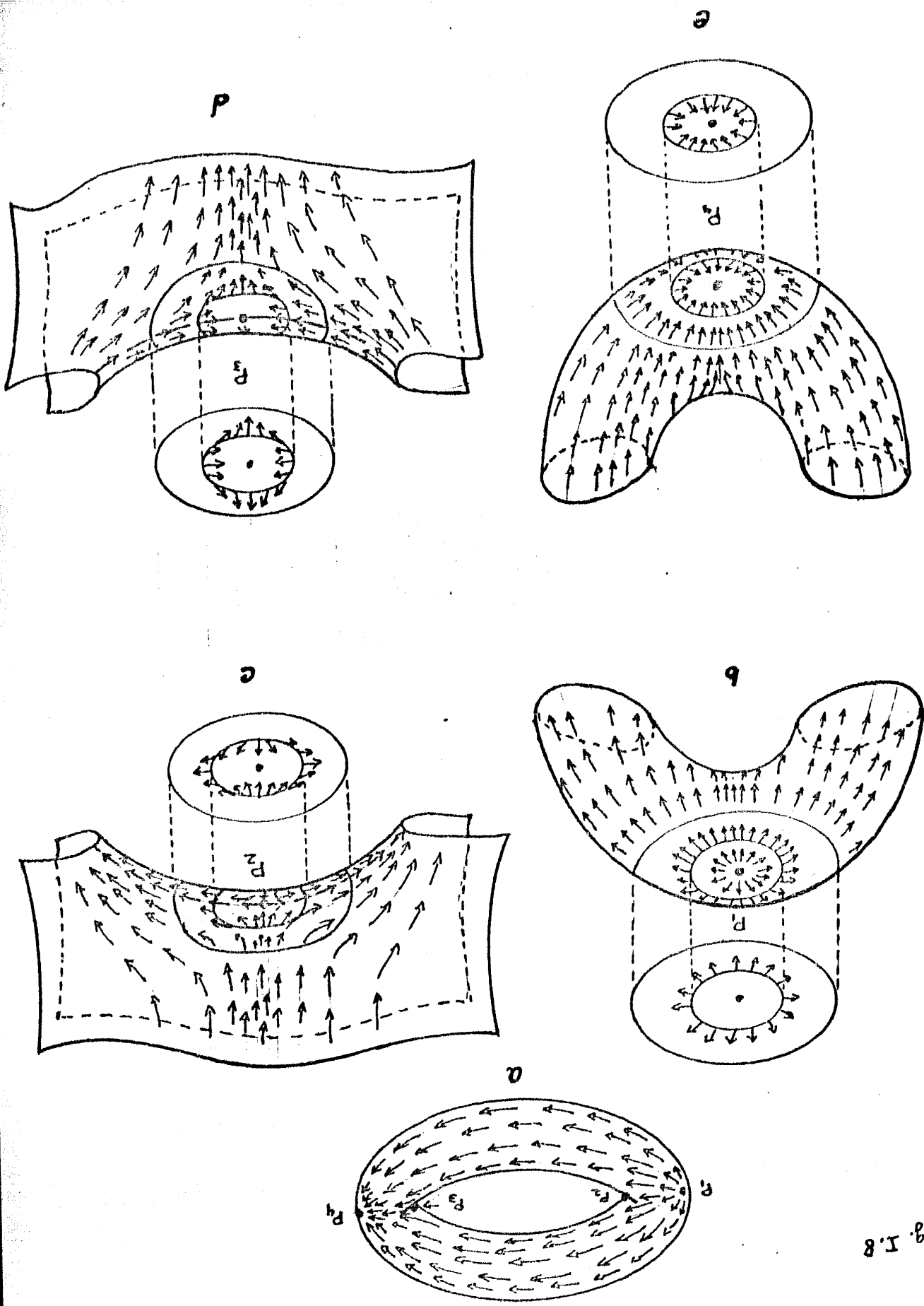


fig. I.7



en la fig. I.8 a) con 4 singularidades P_1, P_2, P_3, P_4 cuyo comportamiento en cada una de ellas se ilustra en 1.8. b, c, d, e.

fig. I.8

procediendo en cada una como antes la aguja de la brújula dará una vuelta en sentido \odot en P_1 , 1 vuelta en sentido \ominus en P_2 y P_3 y una vuelta en sentido \odot en P_4 , en total 2 en sentido \odot y 2 en sentido \ominus , si contamos como -1 vuelta cada vuelta en sentido \ominus obtenemos que la suma total de vueltas es cero igual que en los ejemplos anteriores (fig. I.6, I.7).

Consideremos ahora una superficie de genero g y un campo analogo al de fig. I.8 a) ver fig. I.9 este campo tiene $P_0, P_1^1, P_1^2, P_2^1, P_2^2, \dots, P_g^1, P_g^2, P_{g+1}$ puntos singulares y el comportamiento de cada uno en una vecindad es como sigue P_0 se comporta como en I.8 b) y contribuye en una vuelta en sentido \odot

P_1^1, \dots, P_g^1	" "	" "	I.8 a)	"	"	"	"	"	"	"	\ominus
P_1^2, \dots, P_g^2	" "	" "	I.8 d)	"	"	"	"	"	"	"	\ominus
P_{g+1}	" "	" "	I.8 e)	"	"	"	"	"	"	"	\odot

en total tenemos 2 vueltas en sentido \odot y $2g$ vueltas en sentido \ominus
sumando $2 - 2g$ vueltas.

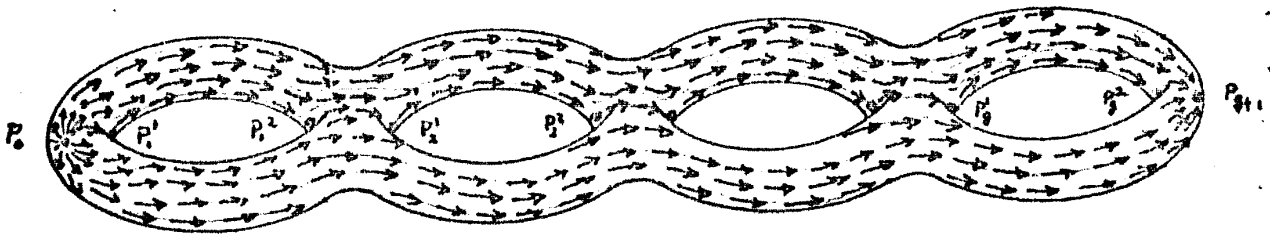


Fig. I.9

Formalizando estas ideas probaremos que: Dado un campo vectorial continuo sobre una superficie compacta con un número finito de singularidades a cada punto singular se le puede asociar un número entero (Indice del campo en el punto) y la suma de estos es la característica de Euler de la Superficie. Luego se generalizará la idea del indice utilizando el concepto de "grado de una aplicación" y se probará el teorema para variedades diferenciables de dimensión finita lo cual se hará en los capítulos III y IV.

CAPITULO I

INDICE EN EL PLANO

En la introducción hablamos de "rodear" un punto singular y medir el incremento del argumento de la dirección del campo cuando nos movemos de un punto a otro sin pasar por la singularidad, entonces si al hacer el recorrido en el intervalo de tiempo $I = [0, 1]$, y $\alpha: I \rightarrow \mathbb{R}^2$ nos da la posición en el tiempo t y $v: \text{dom } \alpha \rightarrow S^1$ nos da la dirección del campo en cada punto de $\text{dom } \alpha$ al final obtendremos una función $\nu_\alpha: I \rightarrow S^1$ a la cual le mediremos el incremento de su argumento.

Usando la proyección cubriente $\pi: \mathbb{R} \rightarrow S^1$ $\pi(\theta) = e^{i\theta}$ y considerando un levantamiento $\nu_\alpha^*: I \rightarrow \mathbb{R}$ el incremento total del argumento estará dado por $\nu_\alpha^*(1) - \nu_\alpha^*(0)$ dividiendo entre 2π obtendremos lo que le llamaremos al índice del campo en el arco α , si la curva es cerrada este será entero se probará que solo depende de la clase de equivalencia modulo homotopía de la curva α . Si P es un punto aislado de singularidades distintas de P se verá que el índice del campo en cualquier arco simple que rodee al punto es el mismo si el arco está en una vecindad pequeña del punto P a lo que le llamaremos el índice del campo en el punto. Probaremos también que dada una curva simple en un abierto simplemente conexo el índice del campo en el arco depende solo de las singularidades que están en su interior.

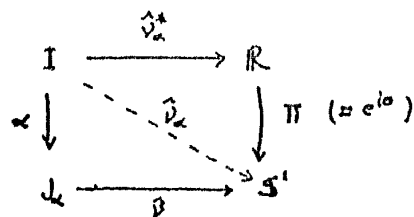
Sea $U \subset \mathbb{R}^2$ un abierto simplemente conexo ($U \cong \mathbb{D}^2 = \{x, y \mid x^2 + y^2 < 1\}$) y $v: U \rightarrow \mathbb{R}^2$ un campo vectorial continuo, sea $\alpha: [0, 1] \rightarrow U$ un arco simple continuo tal que v no se anula en la traza de $\alpha = \text{Im } \alpha = J_\alpha$. Consideremos la función $\hat{\nu}_\alpha: I \rightarrow S^1$ $\hat{\nu}_\alpha(t) = \frac{v(\alpha(t))}{\|v(\alpha(t))\|}$ sea $\theta_0 \in \mathbb{R}$

tal que $\pi(\alpha_0) = \hat{v}_\alpha(0)$ entonces existe un unico levantamiento $\hat{v}_\alpha^* : I \rightarrow \mathbb{R}$

tal que $\hat{v}_\alpha^*(0) = 0$ y $\pi \circ \hat{v}_\alpha^* = \hat{v}_\alpha$

entonces definimos el indice

del arco como sigue:



Definición 1.1 el indice del campo v a lo largo de α "I(v, alpha)" está

dado por
$$I(v, \alpha) = \frac{\hat{v}_\alpha^*(1) - \hat{v}_\alpha^*(0)}{2\pi}$$

Observación: para definir $I(v, \alpha)$ solo necesitamos que v este definido y no se anule en J_α .

Antes de dar propiedades de $I(v, \alpha)$ consideremos las siguientes definiciones.

Definición 1.2 sean $\alpha, \beta : I \rightarrow U$ 2 curvas simples tal que $\beta(0) = \alpha(1)$

y $J_\alpha \cap J_\beta = \beta(0)$, entonces definimos las curvas $-\alpha, \alpha+\beta, \alpha-\beta$

como:

i) $-\alpha : I \rightarrow U$ $(-\alpha)(t) = \alpha(1-t)$

ii) $\alpha+\beta : I \rightarrow U$ $(\alpha+\beta)(t) = \begin{cases} \alpha(2t) & \text{si } t \in [0, 1/2] \\ \alpha(2t-1) & \text{si } t \in [1/2, 1] \end{cases}$

iii) $\alpha-\beta = \alpha + (-\beta)$.

Con las hipótesis anteriores para U, v, α, β se tiene

Proposición 1.1 i) $I(v, \alpha)$ no depende del valor inicial del levantamiento $\hat{v}_\alpha^*(0)$

ii) Si v no se anula en $J_\alpha \cup J_\beta$ entonces

a) $I(v, \alpha+\beta) = I(v, \alpha) + I(v, \beta)$ b) $I(v, -\alpha) = -I(v, \alpha)$

c) $I(v, \alpha) \in \mathbb{Z}$ si $\alpha(0) = \alpha(1)$

Dem. i) sea $\hat{v}_\alpha^* : I \rightarrow \mathbb{R}$ tal $\pi \hat{v}_\alpha^* = \hat{v}_\alpha$ entonces $\pi(\hat{v}_\alpha^* - \hat{v}_\alpha^*) = \pi(\hat{v}_\alpha^*) \cdot \pi(\hat{v}_\alpha^*) =$

$\hat{v}_\alpha \cdot \pi(-\hat{v}_\alpha^*) = \pi(\hat{v}_\alpha^*) \cdot \pi(-\hat{v}_\alpha^*) = \pi(\hat{v}_\alpha^* - \hat{v}_\alpha^*) = \pi(0) = e^{i0} = (1, 0) \Rightarrow$

$\frac{\hat{v}_\alpha^* - \hat{v}_\alpha^*}{2\pi}(t) \in \mathbb{Z}$ y como es continua y I conexo $\Rightarrow \hat{v}_\alpha^* - \hat{v}_\alpha^* = 2\pi k$

con $k \in \mathbb{Z}$ y por tanto $(\hat{v}_\alpha^* - \hat{v}_\alpha^*)(1) - (\hat{v}_\alpha^* - \hat{v}_\alpha^*)(0) = 0$ y

$$0 = \hat{V}_\alpha^*(1) - \hat{V}_\alpha^*(0) = (\hat{V}_\alpha^*(1) - \hat{V}_\alpha^*(0)) \Rightarrow \hat{V}_\alpha^*(1) - \hat{V}_\alpha^*(0) = 2\pi I(\nu, \alpha) \quad \square$$

(ii) sea $\hat{V}_\alpha^* : I \rightarrow \mathbb{R}$ y $\hat{V}_\beta^* : I \rightarrow \mathbb{R}$ los levantamientos de \hat{V}_α y \hat{V}_β respectivamente por i) podemos suponer $\hat{V}_\beta^*(0) = \hat{V}_\alpha^*(1)$ y que $\alpha(1) = \beta(0)$

entonces $\hat{V}_{\alpha+\beta}^* : I \rightarrow \mathbb{R}$ está dada por:

$$\hat{V}_{\alpha+\beta}^*(t) = \begin{cases} \hat{V}_\alpha^*(2t) & \text{si } t \in [0, 1/2] \\ \hat{V}_\beta^*(2t-1) & \text{si } t \in [1/2, 1] \end{cases}$$

$$\begin{aligned} \text{y } \pi \hat{V}_{\alpha+\beta}^* &= \hat{V}_{\alpha+\beta} \text{ y } I(\nu, \alpha+\beta) = \frac{\hat{V}_{\alpha+\beta}^*(1) - \hat{V}_{\alpha+\beta}^*(0)}{2\pi} = \frac{\hat{V}_\alpha^*(1) - \hat{V}_\alpha^*(0)}{2\pi} \\ &= \frac{\hat{V}_\alpha^*(1) - \hat{V}_\beta^*(0) + \hat{V}_\alpha^*(1) - \hat{V}_\alpha^*(0)}{2\pi} = I(\nu, \alpha) + I(\nu, \beta) \quad \square \end{aligned}$$

b) se tiene ya que $\hat{V}_{-\alpha}^* : I \rightarrow \mathbb{R}$ está dada por $\hat{V}_{-\alpha}^*(t) = \hat{V}_\alpha^*(t-1) \quad t \in I$

$$\text{y por tanto } I(\nu, -\alpha) = \frac{\hat{V}_{-\alpha}^*(1) - \hat{V}_{-\alpha}^*(0)}{2\pi} = \frac{\hat{V}_\alpha^*(0) - \hat{V}_\alpha^*(1)}{2\pi} = -I(\nu, \alpha) \quad \square$$

$$\begin{aligned} \text{c) como } \pi(2\pi I(\nu, \alpha)) &= \pi(\hat{V}_\alpha^*(1) - \hat{V}_\alpha^*(0)) = \pi(\hat{V}_\alpha^*(1)) \cdot \pi(-\hat{V}_\alpha^*(0)) \\ &= \hat{V}_\alpha(1) \cdot \pi(-\hat{V}_\alpha^*(0)) = \hat{V}_\alpha(0) \pi(-\hat{V}_\alpha^*(0)) = \pi(\hat{V}_\alpha^*(0)) \pi(-\hat{V}_\alpha^*(0)) \\ &= \pi(0) = (j, 0) \Leftrightarrow I(\nu, \alpha) \in \mathbb{Z}. \quad \square \end{aligned}$$



Una de las propiedades más útiles está dada cuando α es cerrada y es que no depende de la clase de homotopía de la curva α en el siguiente sentido:

Proposición 1.2 Sea $U \subset \mathbb{R}^2$ como antes y $\alpha_0, \alpha_1 : I \rightarrow U$ 2 curvas cerradas homotópicas tal que si $H : I \times I \rightarrow U$ es la homotopía de α_0 a α_1 i.e. $H(t, 0) = \alpha_0(t)$, $H(t, 1) = \alpha_1(t)$, y $\nu : U \rightarrow \mathbb{R}^2$ es un campo vectorial continuo que no se anula en la imagen de H entonces $I(\nu, \alpha_0) = I(\nu, \alpha_1)$.

para la demostración necesitaremos el siguiente lema:

Lema 1.3 sea U, α , como antes y $\nu, \mu : U \rightarrow \mathbb{R}^2$ dos campos vectoriales continuos que no se anulan en U , y que no son opuestos en cada punto $u(t)$ i.e. $\hat{\nu}(u(t)) + \hat{\mu}(u(t)) \neq 0 \quad \forall t \in I$, entonces $I(\nu, \alpha) = I(\mu, \alpha)$

Dem sean $a, b, c, d : I \rightarrow \mathbb{R}$ tales $\hat{\nu}_\alpha = (a+ib)(t)$, $\hat{\mu}_\alpha = (c+id)(t)$
 Supongamos $I(\nu, \alpha) \neq I(\mu, \alpha) \Rightarrow 1 \leq |I(\nu, \alpha) - I(\mu, \alpha)|$ si $\hat{\nu}_\alpha^*, \hat{\mu}_\alpha^*$ son
 los levantamientos de $\hat{\nu}_\alpha, \hat{\mu}_\alpha$ respectivos $\Rightarrow \left| \frac{\hat{\nu}_\alpha^*(1) - \hat{\nu}_\alpha^*(0)}{2\pi} - \frac{\hat{\mu}_\alpha^*(1) - \hat{\mu}_\alpha^*(0)}{2\pi} \right| \geq 1$
 $\Rightarrow |(\hat{\nu}_\alpha^* - \hat{\mu}_\alpha^*)(1) - (\hat{\nu}_\alpha^* - \hat{\mu}_\alpha^*)(0)| \geq 2\pi$ así si $m = \min \{ (\hat{\nu}_\alpha^* - \hat{\mu}_\alpha^*)(1), (\hat{\nu}_\alpha^* - \hat{\mu}_\alpha^*)(0) \}$
 y m el máximo $\Rightarrow m - m \geq 2\pi$ y por tanto $\pi([m, m])$ cubre \mathbb{S}^1
 $\Rightarrow \exists \theta_0 \in [m, m]$ tal que $\pi(\theta_0) = (-1, 0)$, y $\exists t_0 \in [0, 1]$ tal que
 $(\hat{\nu}_\alpha^* - \hat{\mu}_\alpha^*)(t_0) = \theta_0$ por tanto $\pi((\hat{\nu}_\alpha^* - \hat{\mu}_\alpha^*)(t_0)) = (-1, 0) = \pi(\hat{\nu}_\alpha^*(t_0)) - \pi(\hat{\mu}_\alpha^*(t_0))$
 $= [(a+ib)(t_0)] - [(c+id)(t_0)] = ((ac+bd)(t_0) + i((ad-bc)(t_0))) \Rightarrow$
 $* \dots (ac-bd)(t_0) = -1 = (a, b) \cdot (c, d)(t_0) \quad (ad-bc)(t_0) = \det \begin{pmatrix} a & b \\ c & d \end{pmatrix} (t_0) = 0 \dots **$
 $** \Rightarrow$ que $\hat{\nu}_\alpha(t_0), \hat{\mu}_\alpha(t_0)$ están alineados, $*$ \Rightarrow que la proyección de
 $\hat{\nu}_\alpha(t_0)$ sobre $\hat{\mu}_\alpha(t_0)$ es negativa $\Rightarrow \nu$ y μ son opuestos en $\alpha(t_0) \in \mathbb{S}$
 y por tanto $I(\nu, \alpha) = I(\mu, \alpha)$ □

Demostración de 1.2

Como $I \times I$ es compacto la función $G(t, s) = \beta_0(H(t, s)) = \frac{\nu(H(t, s))}{\| \nu(H(t, s)) \|}$ es uniformem-
 ente continua $\Rightarrow \exists \delta > 0$ tal que si $\|(t, s) - (t', s')\| < \delta \Rightarrow \|G(t, s) - G(t', s')\| < 2$
 y por tanto $\forall t \in I$ si $s, s' \in I$ $|s - s'| < \delta \Rightarrow G(t, s) \neq G(t, s') \neq 0$. sea $n \in \mathbb{N}$
 tal $1/n < \delta$ y consideremos la partición de $[0, 1]$ $0, 1/n, 2/n, \dots, \frac{m-1}{n}, 1$
 para cada $m \in \{0, \dots, n\}$ consideremos la curva $\beta_m(t) = H(t, \frac{m}{n})$. ($\beta_0 = \alpha_0, \beta_n = \alpha_1$)
 y definamos para $m \in \{0, \dots, n-1\}$ los campos sobre β_m dada por
 $\nu_m(\beta_m(t)) = \nu(\beta_{m+1}(t))$ y $\nu_m(\beta_m(t)) = \nu(\beta_m(t))$. entonces para cada
 $m = 0, 1, \dots, n$ tenemos 2 campos continuos definidos sobre β_m ν_m y $\nu|_{\beta_m}$
 además para cada $t \in I$ $\|\hat{\nu} \cdot \beta_m(t) - \hat{\nu}_m(\beta_m(t))\| < 2 \quad \forall m = 0, 1, \dots, n$
 $\Rightarrow \nu_m$ y $\nu|_{\beta_m}$ no son opuestos a lo largo de $\beta_m \Rightarrow I(\nu_m, \beta_m) = I(\nu, \beta_m)$
 y $m = 0, 1, \dots, n$ y $I(\nu_m, \beta_m) = I(\nu, \beta_{m+1})$ ya que $\nu_m \circ \beta_m = \nu \circ \beta_{m+1}$
 para $m \in m \Rightarrow I(\nu, \alpha_0) = I(\nu, \beta_0) = I(\nu_0, \beta_0) = I(\nu, \beta_1) = I(\nu_1, \beta_1) = \dots$
 $\dots = I(\nu, \beta_m) = I(\nu_m, \beta_{m+1}) = \dots = I(\nu, \beta_m) =$
 $= I(\nu, \alpha_1) \quad \square$

(10)

Corolario 1.4 Si $V: U \rightarrow \mathbb{R}^2$ $U \subset \mathbb{D}^2$ es un campo continuo que no se anula entonces $I(V, \alpha) = 0 \quad \forall \alpha: I \rightarrow U$

Dem esto se sigue de que toda curva cerrada es homotópica a la constante $\alpha_p = p \in U$ y de 1.2 $I(V, \alpha) = I(V, \alpha_p) = 0 \quad \square$

Corolario 1.5 Sea $\alpha: I \rightarrow U$ una curva simple cerrada sea $\nu, \mu: J_\alpha \rightarrow \mathbb{R}^2$ continuos, que no se anulen en J_α y son homotópicos i.e. $f: J_\alpha \times I \rightarrow \mathbb{R}^2 - 0$ tal que $H(p, 0) = \nu(p)$; $H(p, 1) = \mu(p)$ entonces $I(\nu, \alpha) = I(\mu, \alpha)$

Dem considere el campo sobre \mathbb{D}^2 definido $I(x) = x$ entonces las

curvas $\hat{\nu}_\alpha, \hat{\mu}_\alpha$ son homotópicas considerando la homotopía

$$G(t, s) = \frac{H(\alpha(t), s)}{\|H(\alpha(t), s)\|} \quad \text{y por 1.2} \quad I(1, \hat{\nu}_\alpha) = I(1, \hat{\mu}_\alpha)$$

$$\text{pero } I(1, \hat{\nu}_\alpha) = I(\nu, \alpha) = I(\mu, \alpha) = I(1, \hat{\mu}_\alpha) \quad \square$$

┌───┐

A continuación definiremos el Índice de un campo en un punto p aislado de ceros y probaremos que el índice de una curva depende solo de los puntos singulares que se encuentren en su "interior" pero antes enunciaremos el sig. teorema el cual no demostraremos:

Teorema 1.6 (Jordan - Schoenflies) sea J_α una curva de Jordan parametrizada por $\alpha: I \rightarrow \mathbb{R}^2$ simple, entonces $\mathbb{R}^2 - J_\alpha$ tiene 2 componentes U, V una de ellas U acotada, y $U \cup J_\alpha$ es homeomorfa a \mathbb{D}^2 y J_α es la frontera de ambas componentes.

(ver Introducción to topology, Lefschetz Capít. II teor. 9.4 pg 62)

┌───┐

En lo que sigue la componente U de $\mathbb{R}^2 - J_\alpha$ la denotaremos como \mathcal{L} .

Ahora, sea $V \subset \mathbb{R}^2$ un abierto y $\nu: V \rightarrow \mathbb{R}^2$ un campo vectorial

continuo sea $p \in U$ tal que $\exists \varepsilon > 0$ con $B_\varepsilon(p) = \{y \in \mathbb{R}^2 \mid \|y - p\| \leq \varepsilon\} \subset U$
 y v no se anula en $B_\varepsilon(p) - p$. Para cada $\delta > 0$ definimos las curvas
 $\sigma_\delta: I \rightarrow \mathbb{R}^2 \quad \sigma_\delta(t) = \delta e^{i2\pi t}$ y $p + \sigma_\delta: I \rightarrow \mathbb{R}^2 \quad (p + \sigma_\delta)(t) = p + \sigma_\delta(t)$

Definición 1.7 sea v, U, p, ε como en el párrafo anterior sea
 $\delta \leq \varepsilon$ entonces el índice del campo v en el punto p lo denotamos
 por $I_v(p)$ y está dado por: $I_v(p) = I(v, p + \sigma_\delta)$.

Esta definición no depende de δ ya que si $\delta' \leq \varepsilon$ se tiene la
 siguiente homotopía $H: I \times I \rightarrow B_\varepsilon(p) - p \quad H(t, s) = p + s\sigma_\delta(t) + (1-s)\sigma_{\delta'}(t)$
 y $H(t, 0) = p + \sigma_{\delta'}(t) \quad H(t, 1) = p + \sigma_\delta(t)$

y v no se anula en $\text{Im } H$ por

tanto $I(v, p + \sigma_\delta) = I(v, p + \sigma_{\delta'})$ Fig. 1.1

Además si $\alpha: I \rightarrow U$ es una parame-
 ritación de la curva de Jordan α tal

que $p \in \alpha$ entonces sea δ tal que
 $B_\delta(p) \subset \alpha$ entonces $\alpha \cap B_\delta(p)^c = A$

es homeomorfo a un anillo $S^1 \times I$ y por tanto $\alpha \cap B_\delta(p)$ resulta homotópica
 a $p + \sigma_\delta$ y por tanto si $\alpha \cap B_\delta(p)$ no contiene singularidades de v
 $I(v, \alpha) = I(v, p + \sigma_\delta) = I_v(p)$ y esto nos lleva a la siguiente definición.

Sea $p \in \mathbb{R}^2$ y definimos el campo $\mathbb{1}_p: \mathbb{R}^2 \rightarrow \mathbb{R}^2 \quad \mathbb{1}_p(x) = x - p$ entonces:

Definición 1.8 decimos que $\alpha: I \rightarrow \mathbb{R}^2$ cerrada simple es positivamente
 orientada si $I(\mathbb{1}_p, \alpha) = 1 \quad p \in \alpha$ y denotamos por
 $+O_p = \{ \alpha \in I \rightarrow \mathbb{R}^2 \mid \alpha \text{ es cerrada simple positivamente orientada } \}$.

Se puede probar que esta definición es independiente del punto interior que
 se elija y además que las curvas en $+O_p$ son la clase de homotopía de
 $p + \sigma_\delta \quad \delta > 0$. (ver apéndice I A.1) en $\mathbb{R}^2 - p$.

Ahora probaremos que $I_v(p)$ es invariante bajo difeomorfismos pero antes:

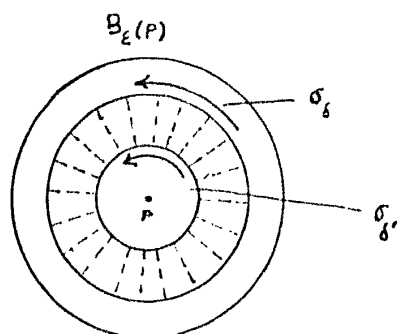


Fig. 1.1

Definición 1.9 sea $f: U \rightarrow f(U)$ un difeomorfismo con $U, f(U) \subset \mathbb{R}^n$ sea $v: U \rightarrow \mathbb{R}^n$ un campo vectorial continuo entonces decimos que $\mu: f(U) \rightarrow \mathbb{R}^n$ es el campo inducido si $\mu(y) = \{D_y f\}^{-1}(v(f^{-1}(y)))$

—

con esto se probaremos que dado $v: U \rightarrow \mathbb{R}^2$ $U \subset \mathbb{R}^2$ abierta entonces $I(v, \alpha)$ es invariante bajo traslaciones y $I_v(p)$ es invariante bajo reflexiones lo cual queda en las siguientes 2 proposiciones.

Proposición 1.10 sea $U \subset \mathbb{R}^2, v: U \rightarrow \mathbb{R}^2, \alpha: I \rightarrow U$ tal que v no se anula en I , sea $T_p: \mathbb{R}^2 \rightarrow \mathbb{R}^2, T_p(x) = x + p, p \in \mathbb{R}^2$, denotemos por $\beta: I \rightarrow T_p(U)$ $\beta(t) = \alpha(t) + p = T_p(\alpha(t))$ y $\mu: T_p(U) \rightarrow \mathbb{R}^2$ el campo inducido por T_p en $T_p(U)$ entonces $I(v, \alpha) = I(\mu, \beta)$.

Dem como $D_y T_p = Id \forall y \in \mathbb{R}^2$

se tiene $\mu(y) = Id(v(y-p))$

y $e \in T_p(U)$ y por tanto en

$$\mu(\beta(t)) = v(\beta(t) - p)$$

$$= v(\alpha(t))$$

$$\Rightarrow \mu_{\beta} = v_{\alpha} \quad \therefore \mu_{\beta}^* \text{ es un levantamiento de } v_{\alpha} \Rightarrow I(v, \alpha) = I(\mu, \beta)$$

—

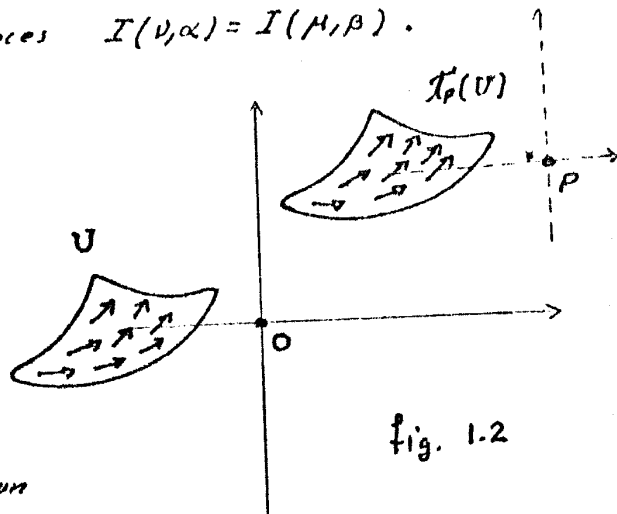


fig. 1.2

Proposición 1.11 sea $\rho_2: \mathbb{R}^2 \rightarrow \mathbb{R}^2$ la reflexión $\rho_2 = \begin{pmatrix} 1 & 0 \\ 0 & -1 \end{pmatrix}$, U, v como en 1.10 y $p \in U$ tal que $\exists \epsilon > 0$ con $B_{\epsilon}(p) \subset U$ y v no se anula en $B_{\epsilon}(p) - p$, sea $\mu: \rho_2(U) \rightarrow \mathbb{R}^2$ el campo inducido en $\rho_2(U)$ entonces $I_v(p) = I_{\mu}(\rho_2(p))$

Dem por definición $I_v(p) = I(v, p + \sigma_{\delta})$ $\delta < \epsilon$ sea $v': \rho_2(U) \rightarrow \mathbb{R}^2$

el campo inducido por la traslación T_p entonces v' es el campo inducido

en $\rho_2(U)$ por v' via T_p y por 1.10 $I(v', \sigma_{\delta}) = I(v', 0) = I(v', p + \sigma_{\delta}) = I_v(p)$

analogamente si $\mu' : \mathcal{X}'_{-e(p)}(P_2(U)) \rightarrow \mathbb{R}^2$ es el campo inducido por μ en $\mathcal{X}'_{-e(p)}(P_2(U))$ via $\mathcal{I}'_{-e(p)}$ entonces por 1.10 $\mathcal{I}'_{\mu}(P_2(P)) = \mathcal{I}'_{\mu'}(0)$. y μ' es el campo inducido por $\mathcal{I}'_{-e(p)} \circ \mathcal{I}'_{\mu} : \mathcal{X}'_{-p}(U) \rightarrow \mathcal{X}'_{-e(p)}(P_2(U))$

ademas si $(x,y) \in \mathcal{X}'_{-p}(U)$ $\mathcal{I}'_{-e(p)} \circ \mathcal{I}'_{\mu}(x,y) = -e(p) + P_2(x,y) + (P_1, P_2)$
 $= -(P_1, -P_2) + (x+P_1, -(y+P_2)) = (x, -y) = P_2(x,y)$. y $\therefore \mu'$ es el campo inducido por e_2 en $\mathcal{X}'_{-e(p)}(P_2(U))$ via e_2 . con esto podemos suponer que $p=0$, y pd. si ν, μ son como en las hipotesis con $p=0$ entonces $\mathcal{I}'_{\nu}(0) = \mathcal{I}'_{\mu}(0)$. como μ está definido en $B_{\epsilon}(0)$ sea $\delta < \epsilon$

y sea entonces $\sigma_{\delta} = \delta e^{i2\pi t}$ entonces $\mathcal{I}'_{\mu}(0) = \mathcal{I}'(\mu, \sigma_{\delta})$

ent. si $\nu = (\nu_1, \nu_2)$ entonces $\mu(x,y) = (\nu_1, -\nu_2)(x, -y)$ y \therefore
 $\mu \circ \sigma_{\delta} = (\nu_1, -\nu_2)(\delta(\cos 2\pi t, -\sin 2\pi t)) = (\nu_1, -\nu_2)(\delta(\cos(2\pi t - 2\pi t), \sin(2\pi t - \pi t)))$
 $= (\nu_1, -\nu_2)(-\sigma_{\delta})$ por tanto $\mathcal{I}'(\mu, \sigma_{\delta}) = -\mathcal{I}'((\nu_1, -\nu_2), \sigma_{\delta})$

ahora sea $\hat{\nu}_{\delta}^*$ un levantamiento de $\hat{\nu}_{\sigma_{\delta}}$ entonces se tiene $\Pi(-\hat{\nu}_{\delta}^*(t)) =$
 $(\hat{\nu}_{\sigma_{\delta}}^*(t))^{-1} = \frac{(\nu_1, -\nu_2)}{\|(\nu_1, \nu_2)\|} \circ \sigma_{\delta}(t) \Rightarrow \mathcal{I}'((\nu_1, -\nu_2), \sigma_{\delta}) = \frac{-\hat{\nu}_{\delta}^*(1) - (-\hat{\nu}_{\delta}^*(0))}{2\pi}$
 $= -\mathcal{I}'(\nu, \sigma_{\delta})$ y por tanto $\mathcal{I}'(\mu, \sigma_{\delta}) = \mathcal{I}'(\nu, \sigma_{\delta})$

$\Rightarrow \mathcal{I}'_{\nu}(0) = \mathcal{I}'_{\mu}(0)$ □

Proposición 1.13. sea $f: U \rightarrow \mathbb{R}^m$ ($U \subset \mathbb{R}^n$ abierto convexo) tal que $f(0) = 0$ y f es un encaje diferenciable (i.e. $f: U \rightarrow f(U)$ es un difeomorfismo) entonces f es suavemente isotópico a Id_U o a $P_m = \begin{pmatrix} 1 & 0 & \dots & 0 & 0 \\ 0 & 1 & & & \vdots \\ \vdots & & \ddots & & \\ \vdots & & & 1 & 0 \\ 0 & \dots & 0 & 0 & -1 \end{pmatrix}$ si $\det D_0 f$ es positivo o negativo respectivamente.

Para la demostración necesitamos el siguiente lema:

Lema 1.14 con las hipotesis de 1.13 f se puede expresar como sigue
 $f(x_1, \dots, x_n) = \sum_{j=1}^m g_j(x_1, \dots, x_n)$ donde $g_j: U \rightarrow \mathbb{R}^m$ es diferenciable
 y $g_j(0) = \frac{\partial f}{\partial x_j}(0)$.

Dem para cada $x \in U$ considerese la función $F: (a,b) \rightarrow \mathbb{R}^m$ $[0,1] \subset (a,b)$

$F(t) = f(tx)$ entonces F es diferenciable y si $f = (f_1, \dots, f_m)$ se tiene:

$$\begin{aligned} F(1) - F(0) &= \int_0^1 \frac{\partial F}{\partial t} dt = \int_0^1 (D_x f)(tx) dt \\ &= \int_0^1 \sum_{i=1}^m \left[\sum_{j=1}^m (f_{x_j}^i(tx) x_j) \right] e_i dt \\ &= \sum_{j=1}^m x_j \left[\sum_{i=1}^m \left(\int_0^1 f_{x_j}^i(tx) dt \right) e_i \right] \\ &= \sum_{j=1}^m x_j \int_0^1 \frac{\partial f}{\partial x_j}(tx) dt \end{aligned}$$

sea $g_j(x) = \int_0^1 \frac{\partial f}{\partial x_j}(tx) dt$ tenemos $g_j(0) = \frac{\partial f}{\partial x_j}(0)$ y como $F(1) = f(x)$

y $F(0) = f(0) = 0 \Rightarrow f(x) = \sum_{j=1}^m x_j g_j(x)$ como se quería \square

—

Demostración de 1.13: Considere la siguiente isotopía $H: U \times I \rightarrow \mathbb{R}^m$

$$H(x,t) = \frac{f(tx)}{t} = \sum_{j=1}^m \frac{x_j g_j(tx)}{t} = \sum_{j=1}^m x_j g_j(tx)$$

entonces para cada t sea $T_t: \mathbb{R}^n \rightarrow \mathbb{R}^n$ $T_t(x) = tx$, $\Rightarrow \forall t \in (0,1]$

$H(-,t) = T_t \circ f \circ T_t^{-1}$ por tanto $H_t(x) = H(x,t)$ es un difeomorfismo

sobre su imagen y $H_0(x) = H(x,0) = \sum_{j=1}^m x_j g_j(0) = \sum_{j=1}^m x_j \frac{\partial f}{\partial x_j}(0) = (D_0 f)(x)$

$\therefore \forall t \in I$ $H_t: U \rightarrow H_t(U)$ es un difeomorfismo

y $D_0 f$ es isotópico a $\text{Id}_{\mathbb{R}^n}$ o P_m según si $\det D_0 f$ es > 0 o < 0

lo cual se sigue de que $GL(n, \mathbb{R})$ tiene 2 componentes (ver Apendice I

A.13)

—

\square

Proposición 1.15 Sea $U \subset \mathbb{R}^n$ y $f: U \rightarrow \mathbb{R}^m$ un encaje diferenciable tal que $f(0) = 0$

sea $v: U \rightarrow \mathbb{R}^m$ un campo continuo y $\epsilon > 0$ tal que $B_\epsilon(0) \subset U$ y v no se

anula en $B_\epsilon(0) - 0$, sea v' el campo inducido por v via f entonces

$\exists \delta < \epsilon$ tal que v' no se anula en $B_\delta(0) - 0 \subset f(U)$, y una homotopía

$F: \partial B_\delta(0) \times I \rightarrow \mathbb{R}^m - 0$ tal que $F(x,0) = v(x)$, $F(x,1) = v'(x)$ o

$F(x,1) = P_m v'(P_m^{-1}x)$ si $\det(D_0 f)$ es > 0 o < 0 respectivamente.

Dem por 1.13 tenemos una isotopía suave $H: U \times I \rightarrow \mathbb{R}^m$ tal que $H_0 = f$ y $H_1 = \text{Id}_U$ o e_m según si $\det D_x f$ es > 0 o < 0 y $\forall t \in I$ $H(0, t) = 0$ y $H_t: U \rightarrow \mathbb{R}^m$ es un encaje diferenciable. sea $\epsilon > 0$ tal que $B_\epsilon(0) = \{x \mid \|x\| < \epsilon\} \subset V$. Consideremos ahora la siguiente función $G: B_\epsilon(0) \times I \rightarrow H(U \times I) \times I$ definida por $G(x, t) = (H_t(x), t)$ entonces G es una biyección sobre su imagen $G(B_\epsilon(0) \times I) = \bigcup_{t \in I} (H_t(B_\epsilon(0)), t) \subset \mathbb{R}^{m+1} \Rightarrow G$ es un homeomorfismo sobre su imagen y además $V = G(B_\epsilon^0(0) \times I)$ es abierto en $G(B_\epsilon \times I)$ que contiene a $0 \times I \Rightarrow$ por el lema del tubo (ver topology a 1st course

Munkres pg 169) $\exists \delta > 0$ tal que $B_\delta(0) \times I \subset V$ y por tanto $B_\delta(0) \subset H_t(B_\epsilon(0)) \forall t \in I$, consideremos ahora $F: B_\delta(0) \times I \rightarrow \mathbb{R}^m$ definida por $F(x, t) = (D_{H_t(x)} H_t)(v \circ H_t^{-1}(x))$ entonces como v no se anula en $B_\epsilon(0) - 0$ y $H_t^{-1}(B_\delta(0) - 0) \subset B_\epsilon - 0 \Rightarrow F_t(x) \neq 0$

$\forall t \in I$ y $x \in \partial B_\delta(0)$ y además

$$F_0(x) = (D_{H_0^{-1}(x)} H_0)(v \circ H_0^{-1}(x)) = (D_{f^{-1}(x)} f)(v(f^{-1}(x))) = v'(x)$$

$$F_1(x) = (D_{H_1^{-1}(x)} H_1)(v \circ H_1^{-1}(x)) = \begin{cases} D_x \text{Id} \circ v \circ \text{Id}(x) = v(x) \wedge |D_x f| > 0 \\ D_{e_m} e_m \circ v \circ e_m^{-1}(x) = e_m v e_m^{-1}(x) \wedge |D_x f| < 0 \end{cases}$$



Proposición 1.16 Sea $v: U \rightarrow \mathbb{R}^2$ es un campo continuo que no se anula en una vecindad agujerada de p , $B_\epsilon(p) - p \subset U$, sea $f: U \rightarrow \mathbb{R}^2$ un encaje diferenciable y $v': f(U) \rightarrow \mathbb{R}^2$ el campo inducido por v via f entonces $I_v(p) = I_{v'}(f(p))$.

Dem. por 1.10 podemos suponer $0 \in U$ y $f(0) = 0$ y $p = 0$ por 1.15 $\exists \delta < \epsilon$ tal que $v|_{\partial B_\delta(0)}$ es homotópico a $v'|_{\partial B_\delta(0)}$ en $\mathbb{R}^2 - 0$ y $\therefore I_v(0) = I(v, \sigma_\delta) = I(v', \sigma_\delta) = I_{v'}(0)$.



Proposición 1.17 sea $V: U \rightarrow \mathbb{R}^2$, $U \subset \mathbb{R}^2$ abierto convexo un campo vectorial continuo

y $J_\alpha \subset U$ una curva de Jordan parametrizada por α donde $\alpha \in \mathbb{R}^2$
 $p \in \mathbb{R}$ y $\mathbb{R} \subset U$, si V no se anula en J_α y V tiene un
numero finito de singularidades $S = \{P_1, \dots, P_m\} \subset \mathbb{R}$ entonces

$$I(V, \alpha) = \sum_{i=1}^m I_V(P_i)$$

la demostración resulta demasiado tecnica por lo que solo la platiaremos.

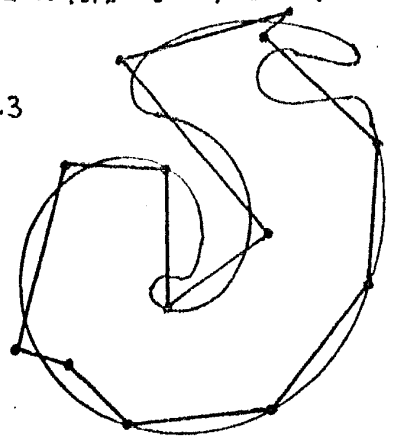
para lo cual se usará el siguiente lema sin demostrar:

Lema 1.18 Sea $\alpha: I \rightarrow \mathbb{R}^2$ una parametrización simple de una curva de Jordan

J_α entonces $\forall \epsilon > 0$ \exists una curva poligonal $\alpha^*: I \rightarrow \mathbb{R}^2$ tal que

$$\|\alpha(t) - \alpha^*(t)\| < \epsilon \quad \forall t$$

fig. 1.3



para la demostración ver en el Boletín
de la Sociedad Matemática Mexicana
1946 "Un teorema sobre transformaciones
de curvas cerradas sobre si mismas"
pg 21 Lema 1 por Jaime Lifshitz.

□

i) tomando $\epsilon < \min \{ d(J_\alpha, S), d(J_\alpha, \mathbb{R}^2 - U) \}$ se tiene que
 $S \subset \mathbb{R}^*$ y α es homotópica a α^* en $U - S$ \therefore si $\alpha \in \mathbb{R}^+ \Rightarrow \alpha^* \in \mathbb{R}^+$

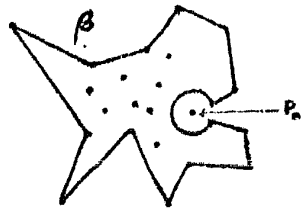
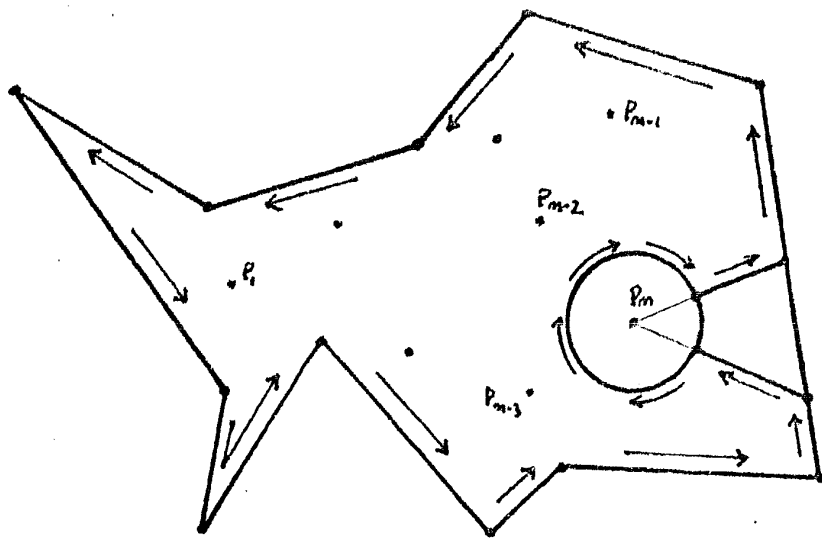
ii) procediendo por inducción sobre n considerando α un polígono $\neq \emptyset$
para $n=1$ se tiene porque $\alpha \in \mathbb{R}^+$ y $\therefore \alpha$ es homotópica a \mathbb{R}^+
(ver Apéndice A.1)

supongamos válido para $n-1$

iii) si $S = \{P_1, \dots, P_m\}$ sea $\epsilon_m > 0$ tal $B_{\epsilon_m}(P_m) \subset \mathbb{R}^+ - S$ entonces
se puede construir una curva $\beta \neq \emptyset$ con las siguientes propiedades

- a) $\beta \subset \mathbb{R}^*$
- b) $S - P_m \subset \beta$
- c) $I(V, \beta) + I_V(P_m) = I(\alpha)$

como muestra la fig. 1.4 (para mas detalles ver Apéndice I A.2)



y por hipot.
$$I(V, \beta) = \sum_{i=1}^m I_v(P_i) \quad \therefore \quad I(V, \infty) = \sum_{i=1}^m I_v(P_i)$$

⊢

□

APENDICE I

Proposición A.1.1 $\alpha \in +\theta_p$ $p \in \mathbb{R}^2$ entonces

- i) $\alpha \in +\theta_q$ $\forall q \in \mathbb{R}^2$
- ii) α es homotópica a $p + \theta_q$ en $\mathbb{R}^2 - P$

Dem. para probar i) considerese $\gamma: I \rightarrow \mathbb{R}^2$ tal que $\gamma(0) = p$ $\gamma(1) = q$

entonces se tiene $H: \mathbb{R}^2 \times I \rightarrow \mathbb{R}^2$ $H(x,t) = x - \gamma(t)$

entonces $H(x,0) = 1_p(x)$ $H(x,1) = 1_q(x)$ además restringido

a J_α H no se anula y por tanto $1_p|_{J_\alpha}$ es homotópico

$\circ 1_q|_{J_\alpha} \Rightarrow I(1_p, \alpha) = I(1_q, \alpha) = 1$

ii) sea $\epsilon > 0$ sea la homotopía $H_1: I \times I \rightarrow \mathbb{R}^2 - P$

$H_1(t,s) = s \left(\frac{\alpha(t) - p}{\|\alpha(t) - p\|} + p \right) + (1-s)\alpha(t)$ entonces si $\beta(t) = p + \frac{\alpha(t) - p}{\|\alpha(t) - p\|}$

$I(1_p, \alpha) = I(1_p, \beta) = 1$, sea $\hat{\beta}(t) = 1_p \circ \beta(t) = \frac{\alpha(t) - p}{\|\alpha(t) - p\|}$

y $\hat{\beta}(t) = 1_p \circ \hat{\sigma}_s(t) = e^{i2\pi t}$ sea $\rho^*: I \rightarrow \mathbb{R}$ un levantamiento

mienta de $\hat{\beta}$ tal $\pi \rho^*(t) = \hat{\beta}(t)$, sea $\theta_0 = \beta^*(0)$

sea $H_2: I \times I \rightarrow \mathbb{R}$

$H_2(t,s) = \beta^*(t) - s\theta_0$

entonces $H_2(t,0) = \beta^*(t)$ y $H_2(t,1) = \beta^*(t) - \theta_0 = f(t)$

y sea $H_2(t,s) = 2\pi s t + (1-s)f(t)$

entonces $H_3(t,0) = f(t)$ y $H_3(t,1) = 2\pi t$ y

$H_3(0,s) = 0$ y $H_3(1,s) = 2\pi s + (1-s)f(1) =$

pero $f(1) = \beta^*(1) - \theta_0 = \beta^*(1) - \beta^*(0) = 2\pi I(1_p, \beta) = 2\pi$

$\Rightarrow H_3(1,s) = 2\pi \forall s$.

y por tanto $\pi \circ H_2$ es una homotopía de $\hat{\beta}$ a $\pi \hat{f}$

y $\pi \circ H_3$ es una homotopía de $\pi \circ f$ a $\pi \circ 2\pi t = e^{i2\pi t}$

$= \hat{\sigma}(t)$ trasladando las homotopías con centro en P

obtenemos el resultado.

A12. En esta parte detallaremos un poco mas en lo que se refiere la parte iii de la prop. 1.17

podemos pensar que $P_n = 0$ aplicando una traslacion ya que todas nuestras hip. son invariantes bajo traslaciones.

entonces tenemos:

$V: U \rightarrow \mathbb{R}^2$ U abierto convexo un campo vectorial continuo

con ceros en $S = \{P_1, \dots, P_{n-1}, P_n = 0\}$ y $\alpha: I \rightarrow U$ una parametrizaci3n

simple cerrada poligonal tal que $S \subset \alpha$ entonces

sea $\epsilon_0 > 0$ tal que $B_{\epsilon_0}(0) \subset \mathbb{R}^2 - S$

sea $I_0 = \{t \in i\mathbb{R} \mid t \in \mathbb{R}\}$, $I_0^+ = \{v \in I_0 \mid t > 0\}$ $\theta \in [0, 1]$

sea θ_0 tal I_0 no intersecciona S ni pasa por algun vertice de α

sea $q_0 = \epsilon e^{i2\pi\theta_0}$

sea $q_1 \in I_0^+ \cap \alpha$ tal que $\|q_1\|$ es minima; sea A_1 y B los

vertices del lado en que se encuentra q_1 , ordenados por el parametro de α .

sea $\eta > 0$ tal que $\forall \theta \in [\theta_0, \theta_0 + \delta]$ I_0 no intersecciona ningun

vertice de α ni a S

sea $q_2 = I_0^+ \cap \alpha$ y

$q_3 = \epsilon e^{i2\pi(\theta_0 + \delta)}$, entonces

$q_2 \in \overline{A_1 B}$ y adem3s eligi3n-

do δ pequeno el interior

del cuadrilatero $q_1 q_2 q_3 q_0$

se puede contener linealmente

a q_2 (ver fig. A.11)

podemos suponer que $\alpha(0) = q_1$ reparametrizando I y sin alterar $I(V, \alpha)$

sea $\alpha(s) = q_2$ entonces se tiene:

$$\alpha([0, s]) = \overline{q_1 q_2}$$

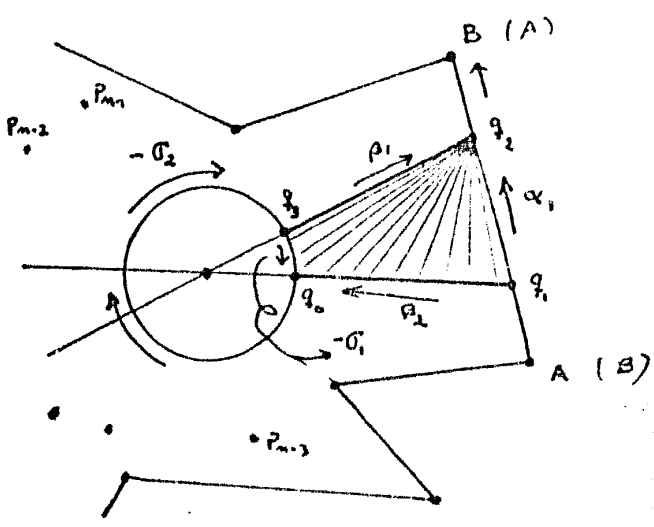


fig. A.11

asi tomando $\alpha_1 = \alpha|_{[0, \delta]}$ y $\alpha_2 = \alpha|_{[\delta, 1]}$ $\alpha = \alpha_1 + \alpha_2$ y $I(\nu, \alpha) = I(\nu, \alpha_1) + I(\nu, \alpha_2)$ haciendo algo analogo con σ_ε se obtienen 2 arcos

σ_1, σ_2 tales que $\sigma_1 + \sigma_2 = \sigma_\varepsilon$ $\sigma_1|_{[0, \delta]} = \sigma_\varepsilon|_{[0, \delta]}$ (ver fig. A.1.1)

y $\sigma_2(\delta, 1) = \sigma_\varepsilon(\sigma_0, \sigma_0 + \delta) \cap \frac{d}{d\sigma_\varepsilon}$, sea β_1 una param. de $\vec{q}_3 \vec{q}_2$ y β_2 de $q_1 q_0$ entonces $\sigma_1 + \beta_1, -\alpha_1 + \beta_2$ es una parametrización del cuadrilatero

$q_0 q_3 q_2 q_1$, el cual es contractible en $\omega \cup \omega - S \therefore I(\nu, \sigma_1 + \beta_1, -\alpha_1 + \beta_2) = 0$

$\therefore I(\nu, \alpha_1) + I(\nu, \sigma_1) = I(\nu, \beta_1) + I(\nu, \beta_2)$

$\Rightarrow I(\nu, \beta_1) + I(\nu, \beta_2) = I(\nu, -\sigma_1) + I(\nu, \alpha_1)$

sea entonces $\beta = -\sigma_2 + \beta_1 + \alpha_2 + \beta_2$ entonces se tiene

$I(\nu, \beta) = I(\nu, -\sigma_2) + I(\nu, \beta_1) + I(\nu, \alpha_2) + I(\nu, \beta_2) = I(\nu, -\sigma_2) + I(\nu, \alpha_2) + I(\nu, -\sigma_1) + I(\nu, \alpha_1)$

$= -I(\nu, \sigma_1 + \sigma_2) + I(\nu, \alpha_1 + \alpha_2) \Rightarrow I(\nu, \beta) + I(\nu, \sigma_\varepsilon) = I(\nu, \alpha)$

$\therefore I(\nu, \beta) + I(\nu, \sigma_\varepsilon) = I(\nu, \alpha)$



Proposición A.1.3 $GL(n, \mathbb{R})$ Tiene 2 componentes

arcoconexas una $U = \{A \in GL(n, \mathbb{R}) \mid \det A > 0\}$

y la otra $P \cup U = \{PA \mid A \in U\}$ $P = \begin{pmatrix} 1 & 0 & \dots & 0 \\ 0 & 1 & & \\ \vdots & & \ddots & \\ 0 & & & -1 \end{pmatrix}$ es

la reflexión en el último eje.

Dem demostraremos que si $A \in U$ entonces $\alpha: [0, 1] \rightarrow U$

continua $\cdot j \cdot \alpha(0) = A$ y $\alpha(1) = Id$

sea $A = \begin{pmatrix} a_1 \\ a_2 \\ \vdots \\ a_n \end{pmatrix}$ donde $a_i \in \mathbb{R}^n$ es el renglón i -ésimo de A

daremos 1º un arco que empieza en A y termina en una matriz $\hat{A} \in O(n)$ y posteriormente daremos el camino final que une \hat{A} con id .

1º para la primera parte por medio del proceso de Gram-Schmidt tenemos asociada a la base a_1, \dots, a_n la base ortogonal siguiente:

$$\begin{aligned} \hat{a}_1 &= a_1 \\ \hat{a}_2 &= a_2 - \langle a_2, \hat{a}_1 \rangle \frac{\hat{a}_1}{\|\hat{a}_1\|} \\ \hat{a}_3 &= a_3 - \langle a_3, \hat{a}_1 \rangle \frac{\hat{a}_1}{\|\hat{a}_1\|} - \langle a_3, \hat{a}_2 \rangle \frac{\hat{a}_2}{\|\hat{a}_2\|} \\ &\vdots \\ \hat{a}_m &= a_m - \sum_{i=1}^{m-1} \langle a_m, \hat{a}_i \rangle \frac{\hat{a}_i}{\|\hat{a}_i\|} \end{aligned}$$

sea $c_i(t) = t\hat{a}_i + (1-t)a_i$ entonces para cada i

se tiene lo siguiente:

- i) $c_i(t) \neq 0 \quad \forall t \in [0, 1]$
- ii) $\{\hat{a}_1, \dots, \hat{a}_{i-1}, c_i(t)\}$ con l.i.

para probar i se sigue de $c_i(t) = 0 \Rightarrow t\hat{a}_i + (1-t)a_i = 0$

$$\Rightarrow t \neq 0, 1 \text{ y } t(a_i - \sum_{j=1}^{i-1} \langle \hat{a}_j, a_i \rangle \frac{\hat{a}_j}{\|\hat{a}_j\|}) + (1-t)a_i = 0$$

$$\Rightarrow a_i = t \sum_{j=1}^{i-1} \langle a_i, \hat{a}_j \rangle \frac{\hat{a}_j}{\|\hat{a}_j\|} \text{ pero } \hat{a}_j \in \langle \{a_1, \dots, a_i\} \rangle \text{ para cada } j$$

$j \leq i-1 \implies a_i \in \langle \{a_1, \dots, a_{i-1}\} \rangle \forall$ ya que $\{a_i\}_{i=1, \dots, n}$ son L.I. esto prueba i

para ii) sup. $\exists \alpha_1, \dots, \alpha_i$ no todos cero tal que

$$\sum_{j=1}^{i-1} \alpha_j \hat{a}_j + \alpha_i c_i(t) = 0 \text{ entonces } \alpha_i = 0 \implies \{\hat{a}_1, \dots, \hat{a}_{i-1}\} \text{ son L.I. } \&$$

$$\therefore \alpha_i \neq 0 \text{ y } \therefore c_i(t) = - \sum_{j=1}^{i-1} \frac{\alpha_j}{\alpha_i} \hat{a}_j \text{ i.e.}$$

$$t \left(a_i - \sum_{j=1}^{i-1} \langle a_i, \hat{a}_j \rangle \frac{\hat{a}_j}{\|\hat{a}_j\|} \right) + (1-t) a_i = - \sum_{j=1}^{i-1} \beta_j \hat{a}_j$$

$$\implies a_i = t \sum_{j=1}^{i-1} \langle a_i, \hat{a}_j \rangle \frac{\hat{a}_j}{\|\hat{a}_j\|} - \sum_{j=1}^{i-1} \beta_j \hat{a}_j \implies a_i \in \langle \{\hat{a}_1, \dots, \hat{a}_{i-1}\} \rangle \&$$

$\therefore \{\hat{a}_1, \dots, \hat{a}_{i-1}, c_i(t)\}$ son L.I. $\forall t \in [0, 1]$.

con esto podemos probar tambien la siguiente

iii) $\{c_1(t), c_2(t), \dots, c_i(t)\}$ son L.I. $\forall i=1, \dots, n \quad t \in [0, 1]$

por inducción se tiene para $i=1$ $\{c_1(t)\}$ es L.I. $\forall t$

sup. valido $\{c_1(t), \dots, c_{i-1}(t)\}$ es L.I. $\forall t \in [0, 1]$

entonces si $\alpha_1, \dots, \alpha_i \in \mathbb{R}$ no todos cero tal que

$$\sum_{j=1}^i \alpha_j c_j(t) = 0 \text{ entonces } \alpha_i = 0 \implies \{c_1(t), \dots, c_{i-1}(t)\} \text{ es L.I. } \&$$

$$\therefore \alpha_i \neq 0 \text{ y } \therefore c_i(t) = - \sum_{j=1}^{i-1} \frac{\alpha_j}{\alpha_i} c_j(t) \in \langle \{\hat{a}_1, \dots, \hat{a}_{i-1}\} \rangle \&$$

\therefore ya que por ii) son L.I.

Por tanto se tiene que la matriz $C(t)$ cuyos renglones son $\{c_i(t)\}$

es tal $\det C(t) \neq 0 \forall t \in [0, 1]$ y $\det C(0) = \det A > 0$

$\therefore C(t) \in V \forall t \in [0, 1]$ y $C(1) = \begin{pmatrix} \hat{a}_1 \\ \vdots \\ \hat{a}_m \end{pmatrix}$ tiene renglones ortogonales.

$$\text{Consideremos ahora el arco } C'(t) = \begin{pmatrix} t \left(\frac{\hat{a}_1}{\|\hat{a}_1\|} \right) + (1-t) \hat{a}_1 \\ \vdots \\ t \frac{\hat{a}_m}{\|\hat{a}_m\|} + (1-t) \hat{a}_m \end{pmatrix} \quad t \in [0, 1]$$

entonces $C'(t) \in V \forall t$ y $C'(0) = C(1) \quad C'(1) \in O(m, \mathbb{R})$

$\therefore A$ es conectable por una trayectoria con una matriz

$$\hat{A} = C'(1) \in O(n).$$

Definimos r a la función $r: GL(n, \mathbb{R}) \rightarrow O(n)$

$$A \longrightarrow \begin{pmatrix} \hat{a}_1 / \|\hat{a}_1\| \\ \vdots \\ \hat{a}_m / \|\hat{a}_m\| \end{pmatrix}$$

ésto es una retracción ya que $r|_{O(n)} = \text{id}_{O(n)}$

además si $A \in GL(n, \mathbb{R})$ y a_1 su primer renglón entonces el 1^{er} renglón de $r(A)$ es l.d. con a_1 y si a_1 es unitario coinciden.

lo que sigue será probar que toda matriz $A \in O(n)$ puedo conectarla con Id si $\det A > 0$ esto lo haremos en varios pasos

i) A es arcoconectable con una matriz A' de la forma

$$\begin{pmatrix} 1 & 0 & \dots & 0 \\ \vdots & & & \\ \vdots & & B & \\ \vdots & & & \end{pmatrix} \quad B \in O(n-1)$$

ii) por inducción se probará el resultado final.

para probar i se tiene

aff: A es arcoconectable con una matriz A' donde

$\langle a'_1, e_1 \rangle > 0$ donde a'_1 es el 1^{er} renglón de A' y $e_1 = (1, 0, \dots, 0)$

para ésto se tienen varios casos: sea a_1 el 1^{er} renglón de A

a) $\langle a_1, e_1 \rangle > 0$

b) $\langle a_1, e_1 \rangle = 0$

c) $\langle a_1, e_1 \rangle < 0$

en el caso a) no hay nada que hacer.

para b) sea $c(t) = \begin{pmatrix} a_1 + t e_1 \\ a_2 \\ \vdots \\ a_n \end{pmatrix}$ entonces

$\det(c(t))$ es continua y $\det(c(0)) = \det(A) > 0 \therefore \exists$

$\delta > 0 \text{ tal que } \det(c(t)) > 0 \quad t \in [0, \delta]$ así, la matriz

$c(\delta)$ es tal que $\langle a_1 + \delta e_1, e_1 \rangle = \delta > 0$.

para c) sea $c(t) = \begin{pmatrix} (\cos t\pi) a_1 - \sin t\pi a_2 \\ \sin t\pi a_1 + \cos t\pi a_2 \\ a_3 \\ \vdots \\ a_n \end{pmatrix}$

entonces $C(t) \in O(n) \quad \forall t \in [0,1]$ y

$$C(0) = A \quad C(1) = \begin{pmatrix} -a_1 \\ -a_2 \\ a_3 \\ \vdots \\ a_m \end{pmatrix} \quad \text{y } \therefore \text{tomando } A' = C(1)$$

se tiene $\langle u_1, e_1 \rangle = \langle -a_1, e_1 \rangle = -\langle a_1, e_1 \rangle > 0$

\therefore se tiene la afirmación 1

finalmente podemos entonces suponer que $A = \begin{pmatrix} a_1 \\ \vdots \\ a_m \end{pmatrix}$ y

$$\langle e_1, a_1 \rangle > 0 \quad \text{sea} \quad C(t) = \begin{pmatrix} te_1 + (1-t)a_1 \\ a_2 \\ \vdots \\ a_m \end{pmatrix}$$

entonces $\forall t \in [0,1] \quad \langle te_1 + (1-t)a_1, a_1 \rangle = t\langle e_1, a_1 \rangle + (1-t)\langle a_1, a_1 \rangle$

es positivo ya que $t, \langle e_1, a_1 \rangle, (1-t)$ y $\langle a_1, a_1 \rangle$ lo son

$\therefore te_1 + (1-t)a_1 \notin \langle \{a_2, \dots, a_m\} \rangle \quad \forall t \in [0,1]$ y \therefore

$C(t) \in U$ ahora consideremos la trayectoria en $O(n)$ $r \circ C(t)$

$$\text{entonces } r \circ C(0) = r(A) = A \quad \text{y } r \circ C(1) = r \begin{pmatrix} e_1 \\ a_2 \\ \vdots \\ a_m \end{pmatrix}$$

y como e_1 es unitario $r \circ C(1)$ es de la

$$\text{forma } \begin{pmatrix} 1 & 0 & \dots & 0 \\ 0 & & & \\ \vdots & & B & \\ 0 & & & \end{pmatrix} \quad \text{donde } B \in O(n-1).$$

para ii) habiendo inducción sobre n

para $n=1 \Rightarrow A = (1) \quad \checkmark$

sup. para $n-1$ se tiene $A \in O(n-1)$ y $\det A > 0$ \exists

$C: I \rightarrow O(n-1)$ una trayectoria $\exists C(0) = A$ y $C(1) = \text{id}$

para n tenemos ($\hat{=}$ $A \in O(n)$) y $\det A > 0$ entonces

A se puede conectar con una matriz A' de la forma $\begin{pmatrix} 1 & 0 & \dots & 0 \\ 0 & & & \\ \vdots & & B & \\ 0 & & & \end{pmatrix}$

y $B \in O(n-1)$ entonces A' se puede conectar

con Id ya que $\det A' = \det B > 0 \quad \therefore A$ se puede

conectar con Id . □

Así, dado $A \in GL(n, \mathbb{R})$ damos un n.º finito de trayectorias
 diferenciables que conectan A con id esto es A es
 isotópico a Id y de la transitividad de la relación de
 isotopía (ver topology from the differentiable viewpoint by
 John Milnor pg. 21) A es suavemente isotópico a la Id

CAPITULO II

EL TEOREMA DEL INDICE DE POINCARÉ

Parte 1.

Con lo anterior tenemos ya la herramienta suficiente para convencer al lector del esperado teorema del Índice de Poincaré-Hopf para superficies compactas, pero antes de enunciarlo daremos algunos resultados que se usarán más adelante:

Teorema 2.1 de clasificación de Superficies compactas:

Cualquier Superficie compacta es homeomorfa a una esfera, a una suma conexa de toros o a una suma conexa de planos proyectivos, y tienen las siguientes características de Euler:

$$\left. \begin{array}{l} S^2 \dots\dots\dots \chi(S^2) = 2 \\ \coprod_{i=1}^m T_2^1 \dots\dots\dots \chi\left(\coprod_{i=1}^m T_2\right) = 2 - 2m \end{array} \right\} \text{orientable}$$

$$\coprod_{i=1}^m P_2 \dots\dots\dots \chi\left(\coprod_{i=1}^m P_2\right) = 2 - m \quad \left. \vphantom{\coprod_{i=1}^m P_2} \right\} \text{no orientable}$$

(para más detalles ver Algebraic topology an Introduction by W.S. Massey teorema 5.1).

Sea S una superficie compacta,

Sea $\nu: S \rightarrow TS$ un campo vectorial continuo entonces para

cada $P \in S$ por medio de la carta (U_P, α_P) $\alpha_P: U_P \rightarrow \mathbb{R}^2$ se tiene

la expresión del campo en el sistema de coordenadas $\tilde{\nu}: \mathbb{R}^2 \rightarrow \mathbb{R}^2$

$\tilde{\nu}(x) = d(\alpha_P \circ \nu \circ \alpha_P^{-1})(x)$ que se anula en aquellos puntos q donde

$\nu \circ \alpha_P^{-1}(q) = 0$ así, si las singularidades de ν son aisladas entonces

son un número finito así definimos el índice del campo ν

en P como el índice de su expresión coordenada $\tilde{\nu}$ en el

punto $\alpha_P(P)$ es como fue definido en el capítulo I, por la prop. 1.4

este es invariante bajo traslaciones y \therefore podemos suponer $\alpha_P(P) = 0$

y de la prop. 1.6.1) éste es invariante bajo difeomorfismos \therefore no depende de la carta y está bien definido. este índice lo denotaremos $I_v(P)$. Si $\{P_1, \dots, P_m\}$ son las singularidades de v entonces denotaremos $I_v(S) = \sum_{i=1}^m I_v(P_i)$ lo llamaremos el índice del campo en la Superficie S

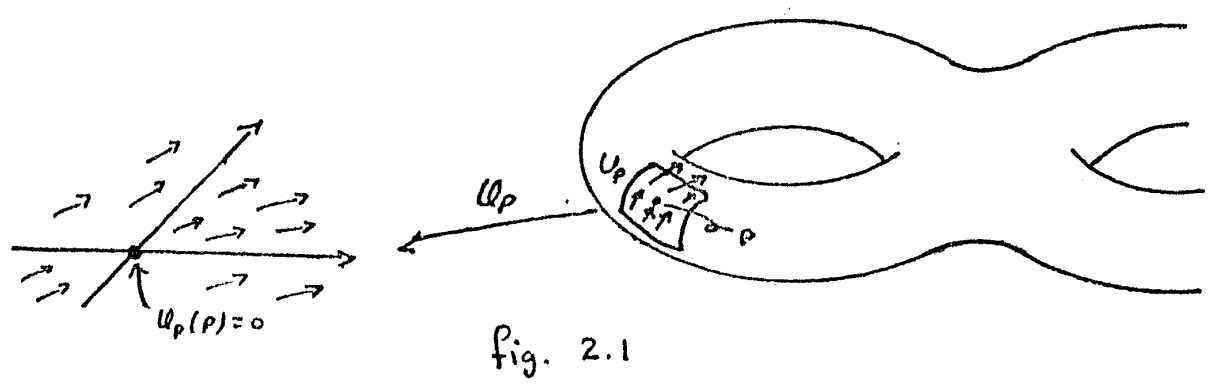
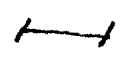


Fig. 2.1

con esto, el objetivo de este capítulo es probar el siguiente teorema:

Teorema del Índice de Poincaré

El índice de una superficie compacta relativa a cualquier campo con un número finito de singularidades es independiente del campo e igual a la característica de Euler de la superficie.



Empezaremos con el caso de la esfera $S^2 = \{x \in \mathbb{R}^3 \mid \|x\| = 1\}$

Proposición 22. El índice de un campo vectorial v sobre la esfera con un número finito de singularidades es $2 = \chi(S^2)$

demonstración consideremos el atlas en S^2 que consiste de las proyecciones estereográficas desde $N = (0, 0, 1)$ y $S = (0, 0, -1)$ dados

$$\text{por: } \pi_N: S^2 - S \rightarrow \mathbb{R}^2, \pi_N(x, y, z) = \left(\frac{x}{1+z}, \frac{y}{1+z} \right)$$

$$\pi_S: S^2 - N \rightarrow \mathbb{R}^2, \pi_S(x, y, z) = \left(\frac{x}{1-z}, \frac{y}{1-z} \right)$$

entonces los inversos están dados por:

$$\pi_S^{-1}(u, v) = \left(\frac{2u}{u^2+v^2+1}, \frac{2v}{u^2+v^2+1}, \frac{u^2+v^2-1}{u^2+v^2+1} \right)$$

$$\pi_N^{-1}(u, v) = \left(\frac{2u}{u^2+v^2+1}, \frac{2v}{u^2+v^2+1}, \frac{1-u^2-v^2}{u^2+v^2+1} \right)$$

los cambios de coordenadas son:

$$\pi_N \pi_S^{-1}: \mathbb{R}^2 - 0 \rightarrow \mathbb{R}^2 - 0 \quad \pi_N \pi_S^{-1}(u, v) = \left(\frac{u}{u^2+v^2}, \frac{v}{u^2+v^2} \right)$$

$$\pi_S \pi_N^{-1}: \mathbb{R}^2 - 0 \rightarrow \mathbb{R}^2 - 0 \quad \pi_S \pi_N^{-1}(u, v) = \left(\frac{u}{u^2+v^2}, \frac{v}{u^2+v^2} \right)$$

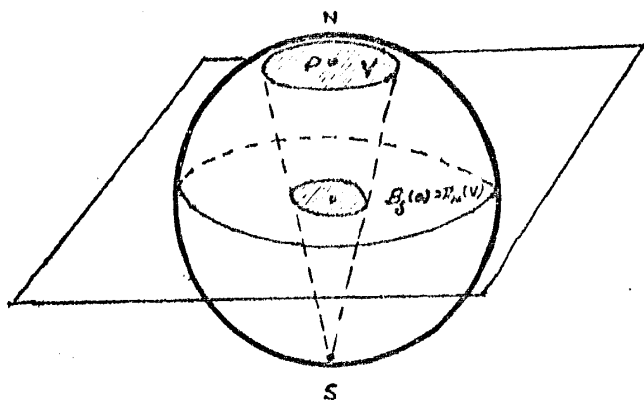


Fig. 2.2

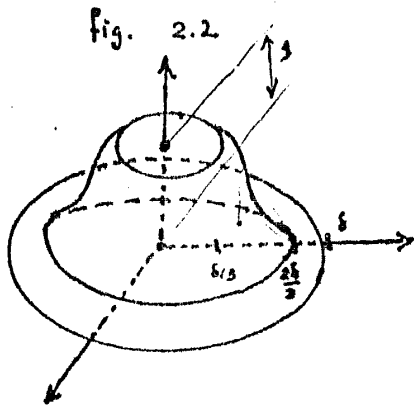


Fig. 2.3

sea $v: S^2 \rightarrow \mathbb{R}^3$ un campo vectorial de S^2 sea $p \in S^2$ un punto tal que $v(p) \neq 0$ podemos suponer $p \neq N$ y sea V una vecindad de p tal que v no se anula en \bar{V} podemos suponer que $\pi_N(\bar{V}) = \bar{B}_\delta(0)$ $\delta > 0$ así $d\pi_N$ induce un campo $v_N: \bar{B}_\delta(0) \rightarrow \mathbb{R}^2$

podemos tomar δ suficientemente chico para que $\|v'_N(p) - v'_N(q)\| < 1/2$ si $q, q' \in B_\delta(0)$ consideremos la función $g(x) = \beta \left(\frac{\|x\|^2 - \delta^2/9}{\delta^2 \cdot 3/9} \right)$

donde $\beta(t) = \frac{\alpha(1-t)}{\alpha(1-t) + \alpha(t)}$ y $\alpha(s) = \begin{cases} e^{-1/s^2} & \text{si } s > 0 \\ 0 & \text{si } s \leq 0 \end{cases}$

la gráfica de g se ilustra en 2.3, g se anula en $B_{\delta/3}(0)$, y es 1 en $B_{2\delta/3}(0)$, sea v_0 \cdot $\|v_0\| = \min \{ \|v_N(q)\| \mid q \in \bar{B}_\delta(0) \}$ $v_0 = v_N(q_0)$ $q_0 \in \bar{B}_\delta(0)$ consideremos ahora el campo $v'_N: \bar{B}_\delta(0) \rightarrow \mathbb{R}^2$ definido como sigue: $v'_N(q) = (1-g(q))v_N(q) + g(q)v_0$ se tiene entonces que v'_N coincide con v_N en $\bar{B}_\delta(0) - B_{\delta/3}(0)$ y es constante igual a v_0 en $B_{\delta/3}(0)$ además $v'_N(q) = 0 \Rightarrow v_0$ y $v_N(q)$ son l.D. y apuntan en

direcciones opuestas pero esto implicaría $\|\hat{v}_N(t)\| = \delta_0 \ll \frac{1}{2} \delta \therefore$

v'_N no se anula en $\bar{B}_\delta(\alpha)$ este nuevo campo me induce un campo en \bar{V} por medio de $d\pi_N^{-1}(v'_N \circ \pi_N) = v'$ el cual coincide con v en $\partial V \therefore v|_{\bar{V}^c}$ se puede extender continuamente a \bar{V} por medio de v' sin alterar las singularidades de v así,

llamemos μ a este nuevo campo, sea v_s el campo inducido por μ en \mathbb{R}^2 por $d\pi_s$ i.e. $v_s(q) = d\pi_s^{-1}(\mu \circ \pi_s^{-1}(q))$ entonces v_s se anula solo en los puntos $\pi_s(p_i)$ donde $\{p_1, \dots, p_m\}$ son las singularidades de v y $\{\pi_s(p_i)\} \subset \pi_s(V^c)$

así tenemos

$$I_v(S^2) = \sum_{i=1}^m I_v(p_i) = \sum_{i=1}^m I_{v_s}(p_i)$$

pero $\pi_s(V^c) = \bar{B}_{\delta/8}(\alpha) \therefore$ de la prop. 1.8

$$\sum_{i=1}^m I_{v_s}(\pi_s(p_i)) = I(v_s, \sigma_{\delta/8}) = I(v_s, \sigma_{3\delta/8})$$

$$\begin{aligned} \text{pero } v_s \circ \sigma_{3\delta/8}(t) &= v_s\left(\frac{\delta}{3} e^{i2\pi t}\right) \\ &= d\pi_s \pi_N^{-1} \circ v'_N(\pi_N \pi_s^{-1}\left(\frac{\delta}{3} e^{i2\pi t}\right)) \\ &= D\left(\frac{u}{u^2+v^2}, \frac{v}{u^2+v^2}\right)_{\frac{\delta}{3} e^{i2\pi t}} \left(v_0\left(\frac{\delta}{3} e^{i2\pi t}\right)\right) \\ &= \begin{pmatrix} \frac{u^2-v^2}{(u^2+v^2)^2} & \frac{2uv}{(u^2+v^2)^2} \\ \frac{2uv}{(u^2+v^2)^2} & \frac{-u^2-v^2}{(u^2+v^2)^2} \end{pmatrix} \left(v_0\right)_{\frac{\delta}{3} e^{i2\pi t}} \end{aligned}$$

si v_0 tiene coordenadas (v_1, v_2)

$$\begin{aligned} &= \begin{pmatrix} \frac{3^2}{\delta^2} \frac{\cos^2 2\pi t - \sin^2 2\pi t}{3^2/\delta^4} & \frac{3^2}{\delta^2} \frac{2 \cos 2\pi t \sin 2\pi t}{3^2/\delta^4} \\ \frac{3^2}{\delta^2} \frac{\cos 2\pi t \sin 2\pi t}{3^2/\delta^4} & -\frac{3^2}{\delta^2} \frac{\cos 4\pi t}{3^2/\delta^4} \end{pmatrix} \begin{pmatrix} v_1 \\ v_2 \end{pmatrix} \\ &= \begin{pmatrix} \frac{\delta^2}{3^2} (\cos 4\pi t) v_1 + \frac{\delta^2}{3^2} (\sin 4\pi t) v_2 \\ \frac{\delta^2}{3^2} (\sin 4\pi t) v_1 - \frac{\delta^2}{3^2} (\cos 4\pi t) v_2 \end{pmatrix} \end{aligned}$$

$$= \frac{\delta^2}{3^2} e^{4\pi i t} \cdot (v_1, -v_2)$$

$$\Rightarrow v_3(e^{i2\pi t}) = \frac{\delta^2}{3^2} e^{4\pi i t} \cdot (v_1, -v_2)$$

y si $\theta_0 \in \mathbb{R}$ es tal $e^{i\theta_0} = \frac{(v_1, -v_2)}{\|v_1, -v_2\|} = \hat{v}_3(\theta_0)$

entonces la función v_3^* está dada por

$$v^*(t) = 4\pi t + \theta_0 \quad \text{ya que} \quad \pi v^* = e^{4\pi i t} e^{i\theta_0} = \hat{v}_3^*(e^{i2\pi t})$$

$$\Rightarrow \int (v_3, \sigma_{3/8}) = \frac{v^*(1) - v^*(0)}{2\pi} = \frac{4\pi}{2\pi} = 2 = \psi(S^2)$$

Para el resto de las superficies orientables procederemos como sigue:

2.3 Para el caso del toro si v es un campo en T^2 con

singularidades $\{p_1, \dots, p_m\}$ tomemos

una vecindad $V \subset T^2$ difeomorfa a

un anillo $S^1 \times [-5, 5]$ que

no contenga singularidades de v

si $\psi: V \rightarrow S^1 \times [-5, 5]$ es el

difeomorfismo este induce un

campo en $S^1 \times [-5, 5]$ que

no se anula. sea $\alpha_1 = \psi^{-1}(S^1 \times 1)$

$\alpha_2 = \psi^{-1}(S^1 \times -1)$ sea $U_1 = \psi^{-1}(S^1 \times [1, 1])$

y $U_2 = \psi^{-1}(S^1 \times [-1, -1])$ es también \cong a un

anillo. entonces identificando en

U_1 α_1 a un punto y α_2 a otro

y lo mismo con U_2 se obtienen

2 espacios homeomorfos a una esfera U_1/ω y U_2/ω

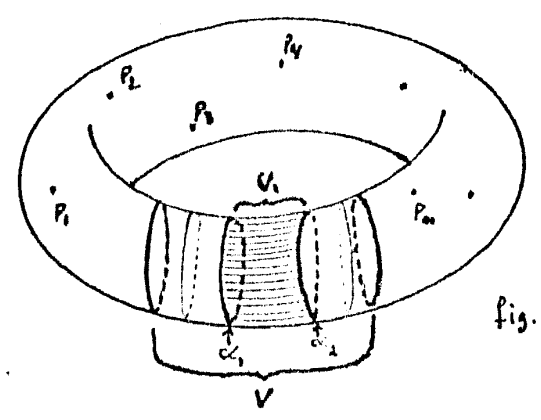


Fig. 2.4

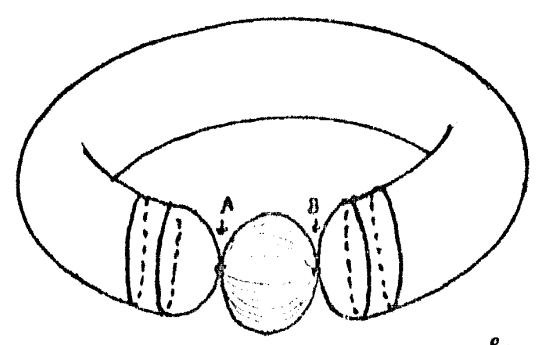


Fig. 2.5

la identificación se puede hacer de manera que pueda inducir un campo en $V_{2/n}$ v_2 que coincide con v en V^c y con singularidades en p_1, \dots, p_m, A, B donde $A = [\alpha_1]$ $B = [\alpha_2]$ y también inducir un campo v_2 en $V_{1/n}$ que se anula solo en A y B , y es de tal forma que $I_{V_1}(A) = I_{V_2}(B)$ y $I_{V_1}(B) = I_{V_2}(A)$ (ver apéndice II) de la prop. 2.1

$$\sum_{i=1}^m I_{V_2}(p_i) + I_{V_2}(A) + I_{V_2}(B) = 2 \quad \text{y} \quad I_{V_1}(A) + I_{V_1}(B) = 2$$

$$\Rightarrow \sum_{i=1}^m I_{V_2}(p_i) = 0 = \chi(T_2) \quad \text{además como } v_2 \text{ coincide con } v \text{ en una vecindad de } v \quad I_v(p_i) = I_{V_2}(p_i) \text{ y } \therefore$$

$$\sum_{i=1}^m I_v(p_i) = 0$$

2.4 Para una superficie de genero g, T^g tomando g vecindades anulares, una por cada agujero, ajenas entre si $\{V_1, \dots, V_g\}$ y de tal manera que si v es un campo con un numero finito de singularidades $\{p_1, \dots, p_m\}$ procediendo como antes obtenemos vecindades difeomorfas a $S^1 \times]-1, 1[$ U_1, \dots, U_g $U_i \subset V_i$ con frontera α_i, β_i cada una $\alpha_i = \psi_i^{-1}(S^1 \times -1)$ $\beta_i = \psi_i^{-1}(S^1 \times 1)$

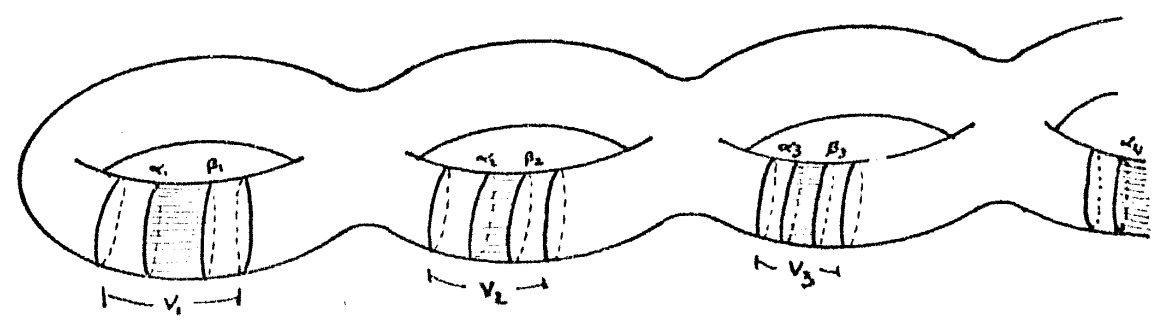
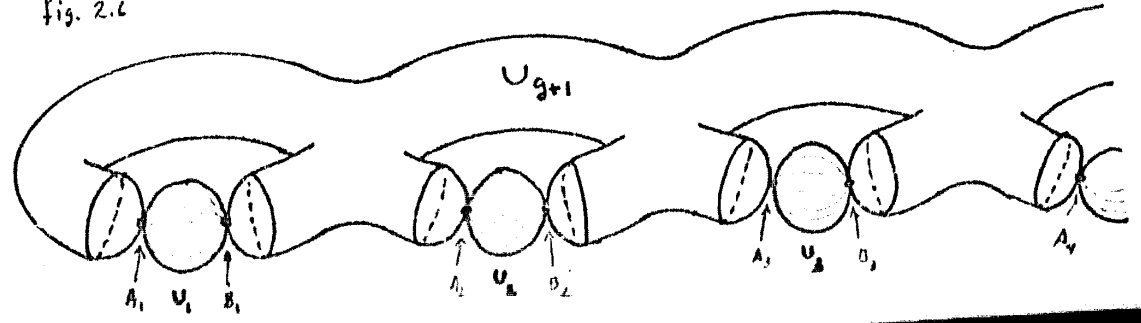


fig. 2.4



sea $U_{g+1} = (\bigcup_{i=1}^g U_i)^c$ identificando cada α_i en un punto A_i y cada β_i en B_i se obtienen $g+1$ esferas $\{U_i/n\}_{i=1, \dots, g+1}$ y además se puede inducir un campo en cada U_i/n v_i de tal forma que para $i=1, \dots, g$ v_i se anula solo en los puntos A_i, B_i y v_{g+1} coincide con v en $(\bigcup_{i=1}^g U_i)^c$ y sus puntos críticos son $\{P_1, \dots, P_m\} \cup \{A_i, B_i\}_{i=1}^g$.

y de manera análoga al toro $I_{v_i}(A_i) = I_{v_{g+1}}(B_i)$, $I_{v_i}(B_i) = I_{v_{g+1}}(A_i)$

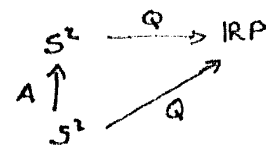
$\therefore I_{v_{g+1}}(A_i) + I_{v_{g+1}}(B_i) = I_{v_i}(A_i) + I_{v_i}(B_i) = 2$ y

en U_{g+1}/n $\sum_{i=1}^m I_{v_{g+1}}(P_i) + \sum_{i=1}^g I_{v_{g+1}}(A_i) + I_{v_{g+1}}(B_i) = 2$

$\Rightarrow \sum_{i=1}^m I_{v_{g+1}}(P_i) = 2 - \sum_{i=1}^g I_{v_{g+1}}(A_i) + I_{v_{g+1}}(B_i) = 2 - 2g = \chi(\mathbb{R}P^2)$



2.5 Para el plano proyectivo $\mathbb{R}P^2$ el cual resulta de identificar en S^2 puntos Antipodales, así si Q es la identificación $Q: S^2 \rightarrow \mathbb{R}P^2$ es un difeomorfismo local. si v es un campo en S^2 continuo este me induce un campo continuo μ en $\mathbb{R}P^2$ con $\mu(Q(x)) = \frac{dQ^{-1}(v(Q(x)))}{dQ(x)}$ que se anula en aquellos puntos $\{x_i, -x_i\}$ tales que v se anula en $Q(x_i) = Q(-x_i)$, entonces si P_1, \dots, P_m son las singularidades de v y $\{x_i, -x_i\} = Q^{-1}(P_i)$ entonces $\{x_i, -x_i\}_{i=1, \dots, m}$ son los ceros de μ , como la proyección Q es compatible con el mapeo antipodal $A: S^2 \rightarrow S^2$ $A(x) = -x$ se tiene



$\Rightarrow d_x Q = \frac{dQ}{dA} dA$ y si v_q es una vecindad de q donde $Q|_{v_q}$ es difeomorfismo, en su imagen

se tiene $Q^{-1}: Q(v_q) \rightarrow v_q$ hace conmutar el siguiente diagrama

$$\begin{aligned} \text{y por tanto } d_{Q(z)} Q^{-1} &= d_{A(z)} A \circ d_{Q(z)} Q^{-1} \\ \Rightarrow M(z) &= d_{Q(z)} Q^{-1} (v(Q(z))) = d_{A(z)} A \circ d_{Q(z)} Q^{-1} (v(Q(z))) \\ &= d_{A(z)} A \circ M(-z) = -M(-z) \end{aligned}$$

$$\text{y } \therefore M(-z) = -M(z) = d_z A (M(z))$$

por tanto si z_i es un cero de M y V_{z_i} una vecindad coordenada de z_i aislada de ceros distintos de z_i con carta $\alpha_i: V_{z_i} \rightarrow \mathbb{R}^2$ entonces $-V_{z_i}$ es una vecindad coordenada de $-z_i$ aislada de ceros distintos de $-z_i$ y $\alpha_i \circ A|_{-V_{z_i}}$ es una carta coordenada. así para calcular el índice de z_i y $-z_i$ vemos cuales son los campos inducidos por las cartas en \mathbb{R}^2

$$v_1(x) = \left(d_{\alpha_i^{-1}(x)} \alpha_{z_i} \right) (M|_{V_{z_i}}) \text{ es el inducido por } M|_{V_{z_i}}$$

$$\begin{aligned} v_2(x) &= \left(d_{A \alpha_i^{-1}(x)} \alpha_{z_i} A \right) (M|_{A V_{z_i}}) \\ &= \left(d_{-\alpha_i^{-1}(x)} \alpha_{-z_i} A \right) (M|_{-V_{z_i}}) \\ &= \left(d_{\alpha_i^{-1}(x)} \alpha_{z_i} \circ dA \right) (M|_{-V_{z_i}}) \\ &= \left(d_{\alpha_i^{-1}(x)} \alpha_{z_i} \right) (-M|_{-V_{z_i}}) = \left(d_{\alpha_i^{-1}(x)} \alpha_{z_i} \right) (M|_{V_{z_i}}) \\ &= v_1(x) \end{aligned}$$

$$\Rightarrow I_M(z_i) = I_M(-z_i) = I_\nu(P_i)$$

$$\text{como } 2 = I_M(S^2) = \sum_{i=1}^m I_M(z_i) + I_M(-z_i) = 2 \sum_{i=1}^m I_\nu(P_i)$$

$$\Rightarrow I_\nu(\mathbb{R}P) = \sum_{i=1}^m I_\nu(P_i) = 1 = \chi(\mathbb{R}P) \quad \square$$

2.6 Para el caso de la suma conexa de g planos proyectivos el cual resulta de identificar $S^2 = \bigcup U_i$ ($U_i \cong D^2$) $U_i \cap U_j = \phi$ $i \neq j$ con g -bandas de Moebius M_1, \dots, M_g por la frontera de cada U_i con ∂U_i en donde el campo ν no se anula en $\bigcup U_i$

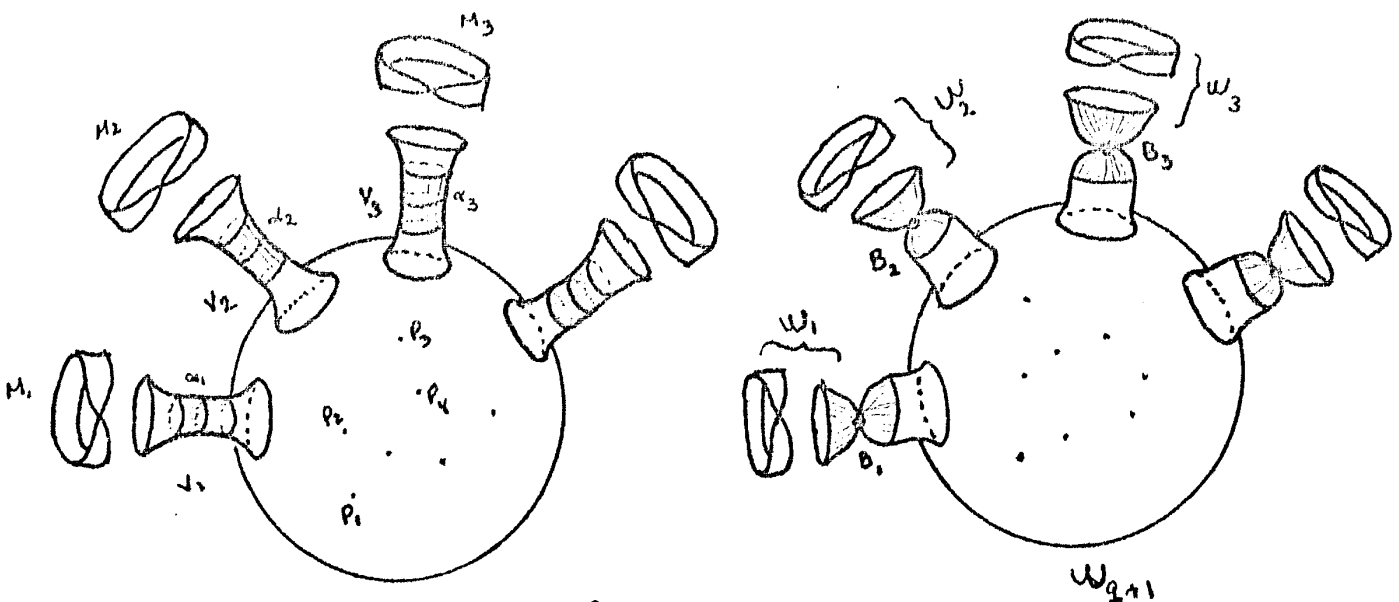


fig. 2.7

Como en el caso del toro tomemos vecindades $\mathbb{R}^1 \times S^1 \times [-1,1]$ en $S^2 = \bigcup_{i=1}^g U_i$ de cada U_i , V_1, \dots, V_g identificando $V_i^{-1}(S^1 \times 0) = \alpha_i$ W_1, \dots, W_{g+1} regiones donde $W_i \cong \mathbb{R}P^2$ ($i=1, \dots, g$) y $W_{g+1} \cong S^2$ en cada una de estas se puedan inducir campos v_i de tal forma que v_i se anula en $B_i = [\alpha_i]$ ($i=1, \dots, g$) y v_{g+1} se anula en los puntos donde v se anulaba $S = \{p_1, \dots, p_m\}$ y además en los puntos B_1, \dots, B_g y estos son de tal forma que $I_{v_i}(B_i) + I_{v_{g+1}}(B_i) = 2$ (ver Apéndice II) y el campo v_{g+1} coincide con v en una vecindad de S además como $I_{v_i}(B_i) = I_{v_i}(\mathbb{R}P^2) = 1 \Rightarrow I_{v_{g+1}}(B_i) = 1$ ($i=1, \dots, g$) y por 2.1 $I_{v_{g+1}}(S^2) = 2 = \sum_{i=1}^m I_{v_{g+1}}(p_i) + \sum_{i=1}^g I_{v_{g+1}}(B_i) = \sum_{i=1}^m I_{v_{g+1}}(p_i) + g$

$$\Rightarrow \sum_{i=1}^m I_{v_{g+1}}(p_i) = 2 - g = \chi(\mathbb{R}P^2)$$

Parte 2

Para el caso en que tenemos campos diferenciables sobre la superficie se cuenta con herramientas más elaboradas como lo es el teorema de Gauss-Bonnet, además de métodos más directos para calcular el índice de una singularidad del campo y probar sus propiedades.

Esta parte viene como complemento y se trata de dar un enfoque un poco diferente para llegar a la demostración del teorema de Poincaré que es lo que haremos a continuación:

Para empezar consideremos un campo v definido en una región $U \subset \mathbb{R}^2$ diferenciable, y sea $\alpha: I \rightarrow U$ una curva simple regular por pedazos (r.s.e.r.p) cerrada, i.e. $]$ una partición $0=t_0 < t_1 < \dots < t_n$ tal que $\alpha|_{[t_i, t_{i+1}]}$ es la restricción de una curva diferenciable definida en una vecindad de $[t_i, t_{i+1}]$

supongamos que v no se anula

en $J_\alpha (= L_\alpha)$ entonces el

mapeo $\hat{v}_\alpha = \frac{v(\alpha(t))}{\|v(\alpha(t))\|}$ es diferenciable

sea $(a, b): I \rightarrow \mathbb{R}^2$ y $\hat{v}_\alpha = (a, b)(t)$

entonces tenemos una manera de construir el levantamiento v_α de \hat{v}_α como es dado en el siguiente lema:

Lema 2.7 sea $w = (a, b): I \rightarrow S^1$ continua y $0=t_0 < t_1 < \dots < t_n=1$ una partición de I tal que $w|_{[t_i, t_{i+1}]}$ es la restricción de una función diferenciable en una vecindad de $[t_i, t_{i+1}]$, sea $s_0 \in I$ $s_0 \in [t_n, t_{n+1}]$ entonces si $\theta_0 \in \mathbb{R}$ y $e^{i\theta_0} = w(s_0)$ la función diferenciable

$u: I \rightarrow \mathbb{R}$ definida por

$$u(t) = \theta_0 + \int_{s_0}^{t_{i+1}} (a, b) \cdot (b', -a') dz + \sum_{i=h+1}^n \int_{t_i}^{t_{i+1}} (a, b) \cdot (b', -a') dz + \int_{t_n}^t (a, b) \cdot (b', -a') dz$$

si $t \in [t_n, t_{n+1}]$, es tal que $w(t) = e^{i\theta(t)}$ $\forall t \in [0, 1]$ y $u(0) = \theta_0$

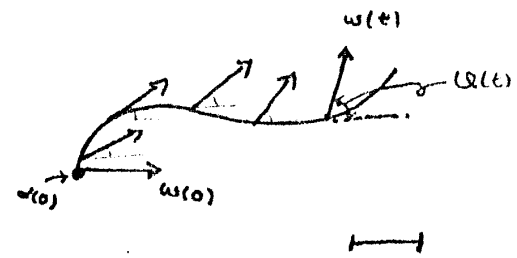
dem. basta probar que la función $\|w - e^{it}\|^2 = 0 = \|w\|^2 - 2\langle w, e^{it} \rangle + \|e^{it}\|^2$
 $= 2 - 2\langle w, e^{it} \rangle \Leftrightarrow \langle w, e^{it} \rangle = 1 \quad \forall t \in \mathbb{I}$. pero

$$\begin{aligned} \frac{d}{dt} \langle w, e^{it} \rangle &= \langle w', e^{it} \rangle + \langle w, \frac{d}{dt} (\cos t + i \sin t) \rangle \\ &= a' \cos t + b' \sin t - a \sin t + b \cos t \\ &= a' \cos t + b' \sin t - a \sin t (ab' - ba') + b \cos t (ab' - ba') \\ &= a' \cos t + b' \sin t - a \sin t (ab' - ba') + b \cos t (ab' - ba') \\ &= a' \cos t + b' \sin t - a^2 b' \sin t - b a a' \sin t + a b b' \cos t - b^2 a' \cos t \end{aligned}$$

Como $\|w\|^2 = 1 \Rightarrow 2w \cdot w' = 0 \Rightarrow a a' = -b b'$ y por tanto

$$\begin{aligned} &= a' \cos t + b' \sin t - a^2 b' \sin t - b^2 b' \sin t - a^2 a' \cos t - b' a' \cos t \\ &= a' \cos t + b' \sin t - (a^2 + b^2) b' \sin t - (a^2 + b^2) a' \cos t = 0 \end{aligned}$$

ademas $\langle w(0), e^{i \cdot 0} \rangle = \langle w(0), w(0) \rangle = 1 \therefore \langle w, e^{it} \rangle = 1 \quad \forall t \in \mathbb{I}$ □



asi α es un levantamiento de \hat{v}_a

Sea $S \subset \mathbb{R}^3$ una superficie compacta orientable y $v: S \rightarrow \mathbb{R}^3$ un campo vectorial diferenciable sea $p \in R \subset S$ es una region simple

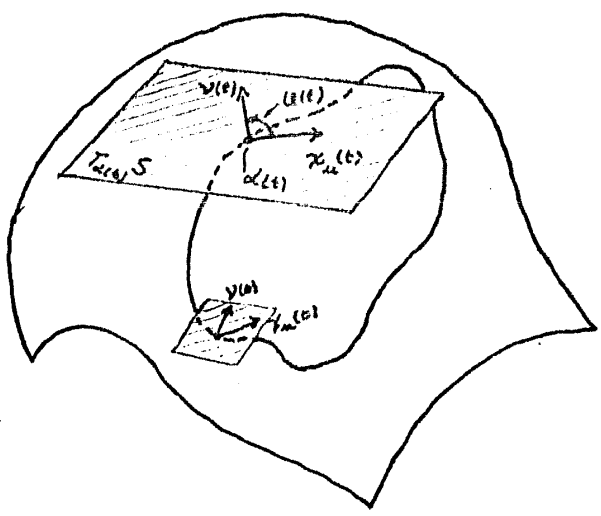
cuya frontera esta parametrizada por $\alpha: [0, 2\pi] \rightarrow \bar{R}$ α no pasa por p si $\chi: U \rightarrow \mathbb{R}^2$ es una parametrizacion de una vecindad de $\bar{R} \subset U$ y p es el unico punto singular de v en U

entonces tenemos $\hat{v}(t) = \frac{v(\chi(t))}{\|v(\chi(t))\|} = a(t) \hat{x}_u(t) + b(t) \hat{x}_v(t)$ con $(a, b): [0, 2\pi] \rightarrow \mathbb{R}^2$ diferenciables y $\|a, b\| = 1$ sea $u: [0, 2\pi] \rightarrow \mathbb{R}$

el levantamiento de (a, b) determinado por el Lema 2.7 (lo llamaremos una determinacion diferenciable de χ_u a v) entonces si $\chi(\alpha(t))$ es +0 $\alpha(2\pi) - \alpha(0) = 2\pi I_v(p)$ pero $\alpha(2\pi) - \alpha(0) = \int_0^{2\pi} \frac{d\alpha}{dt} dt$ y:

$$I_p(p) = \frac{1}{2\pi} \int_0^{2\pi} \frac{d\alpha}{dt} dt$$

y por lo visto en el capítulo 12 $I_\nu(P)$ no depende de α ni de la carta \mathcal{K}



consideremos ahora $\{(X_\alpha, Y_\alpha)\}_{\alpha \in \Lambda}$ un atlas de parametrizaciones ortogonales (ie $X_{\alpha u} \perp X_{\alpha v}$) sea $S = \{p \in S \mid \nu(p) = 0\} = \{p_1, \dots, p_k\}$

y sea τ una triangulación de S con las siguientes propiedades:

- i) $\forall T \in \tau \quad T \subset U_\alpha$ p.a. $\alpha \in \Lambda$
- ii) $\forall T \in \tau \quad T$ contiene a lo mas un punto singular
- iii) $\forall T \in \tau \quad \partial T$ esta $\neq \emptyset$ y no contiene puntos singulares

entonces para cada T si α es una param. de ∂T sea $w_0 \in T_{w_0} S$ y $w(t)$ el transporte paralelo de w_0 a lo largo de α , y sea $\psi_T(t)$ una determinación diferenciable del angulo de X_α a w entonces

se tiene
$$\Delta \psi_T = \psi_T(1) - \psi_T(0) = \iint_T K d\sigma \quad K \text{ es la curvatura de } S$$

entonces si φ_T es una det. dif. de X_α a v $\psi - \varphi$ es una det. dif.

de v a w y $\therefore \Delta(\psi_T - \varphi_T) = \iint_T K d\sigma - 2\pi I(\nu, \partial T)$

como cada lado de T aparece en τ 2 veces con orientaciones opuestas

y $I(\nu, \partial T) \neq 0$ solo para aquellos triangulos $\{T_1, \dots, T_m\}$ que contienen puntos singulares en su interior sumando sobre todas las $T \in \tau$

obtenemos
$$0 = \iint_S K - \sum_{i=1}^m 2\pi I(\nu, \partial T_i)$$

$$\therefore I(\nu, \partial \tau) = \frac{1}{2\pi} \iint_S K = \chi(S)$$

esta última igualdad se sigue del teorema de Gauss

Bonnet. (ver Differential Geometry of curves and Surfaces
by Manfredo P. Do Carmo corolario 2 pg 276)

APENDICE II

Ahora probaremos la validez del argumento usado en 2.3, 2.4, 2.5 y 2.6, esto lo haremos como sigue:

Dado el cilindro $E = S^1 \times [-B, B]$ y un campo vectorial tangente a E $v: E \rightarrow \mathbb{R}^3$, deformaremos primero el campo a un campo v_1 de manera que al hacer una identificación en E de tal forma que E/\sim resulte homeomorfo a 2 semiesferas y una esfera identificadas en A, B . (ver fig. A.2.1) se pueda inducir un campo en cada semiesfera y en la esfera los cuales se anulan en A, B . si llamamos w_1, w_2 a las semiesferas como muestra

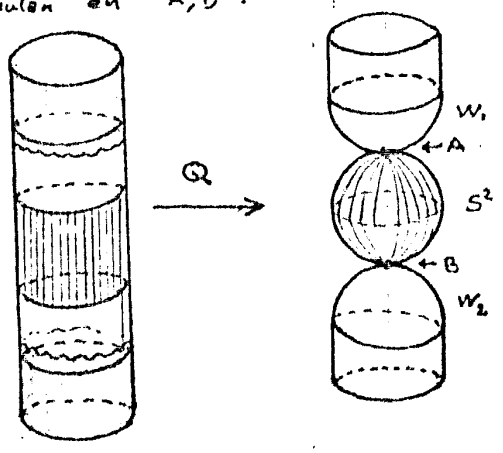


fig. A.2.1

fig. A.2.1 y v_1, v_2 son los campos inducidos en w_1, w_2 respect. y v_0 en S^2 se probará que $I(v_1, A) = I(v_0, B)$, $I(v_2, B) = I(v_0, A)$ y por tanto $I(v_1, A) + I(v_2, B) = 2$ y $I(v_1, A) + I(v_2, B) = 2 = I(v_0, A) + I(v_0, B) = 2$.

la construcción la haremos en varios pasos:

- i) deformaremos el campo en el cilindro E de manera que obtengamos un nuevo campo μ con las siguientes características
 - a) μ coincide con v en una vecindad de $S^1 \times [-3, 3] \cup S^1 \times \{ \pm 3 \}$
 - b) $\mu(x, t)$ es constante $\forall t \in [-2, 2]$ x fija $\in S^1$
- ii) mediante una identificación Q , induciremos un campo en $w_1 = A, S^2, A = B; w_2 = B, S^2, B = A$ respectivamente
- iii) multiplicando por una función campana produciremos un nuevo campo que coincide con el del paso ii) en una vecindad

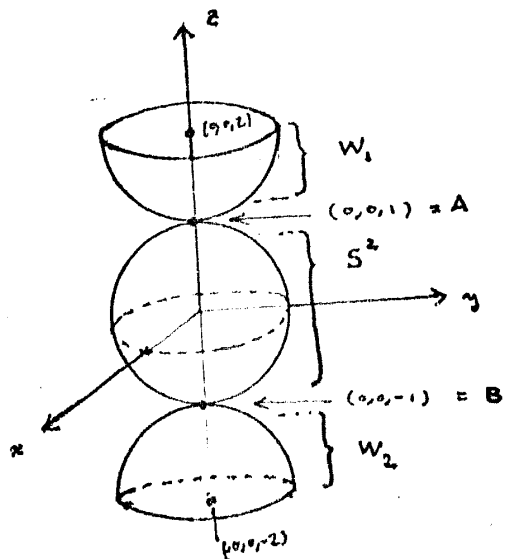
de ∂W_1 y ∂W_2 y que no se anula en $W_1 = A$, $S^2 = A \cup B$, $W_2 = B$ y que se puede extender continuamente definiéndolo como 0 en W_1 y W_2 .

Empecemos por determinar nuestros conjuntos:

Sea $S^2 = \{x \in \mathbb{R}^3 \mid \|x\| = 1\}$, $G = S^1 \times [-3, 3]$

$S^2_+ = \{x \in S^2 \cap \mathbb{R}^3_+\}$ $S^2_- = \{x \in S^2 \cap \mathbb{R}^3_-\}$ $\mathbb{R}^3_+ = \{(x_1, x_2, x_3) \mid x_3 \geq 0\}$

Sea $W_1 = S^2_+ + (0, 0, 2)$ $W_2 = S^2_- + (0, 0, -2)$

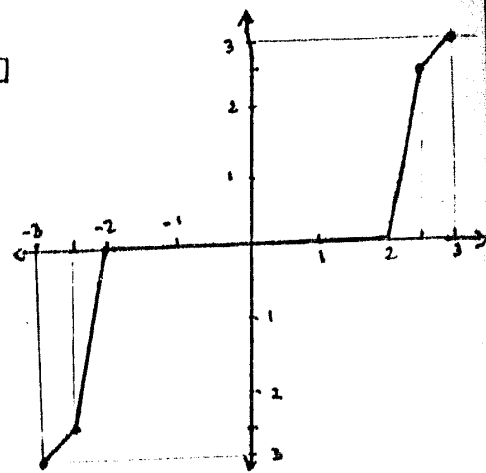


Sea $v: G \rightarrow \mathbb{R}^3 - 0$ un campo vectorial continuo tangente a G

$v = (v_1, v_2, v_3) =$

i) consideremos la siguiente función $f: [-3, 3] \rightarrow [-3, 3]$

$$f(t) = \begin{cases} t & \text{si } t \in [-3, -2\frac{1}{2}] \cup [2\frac{1}{2}, 3] \\ 5t + 10 & \text{si } t \in [-2\frac{1}{2}, -2] \\ 0 & \text{si } t \in [-2, 2] \\ 5t - 10 & \text{si } t \in [2, 2\frac{1}{2}] \end{cases}$$

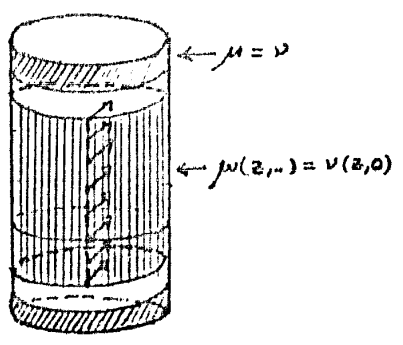


definimos $\mu: G \rightarrow \mathbb{R}^3$ como sigue

$\mu(z, t) = v(z, f(t))$ entonces

a) $\mu(z, t) = v(z, 0) \quad \forall t \in [-2, 2] \quad z \in S^1$

b) $\mu(z, t) = v(z, t) \quad \forall t \in [-3, -2\frac{1}{2}] \cup [2\frac{1}{2}, 3]$



y además μ es tangente
 a G ya que el vector normal
 a G es constante con z fijo
 y μ no se anula en G

(i)

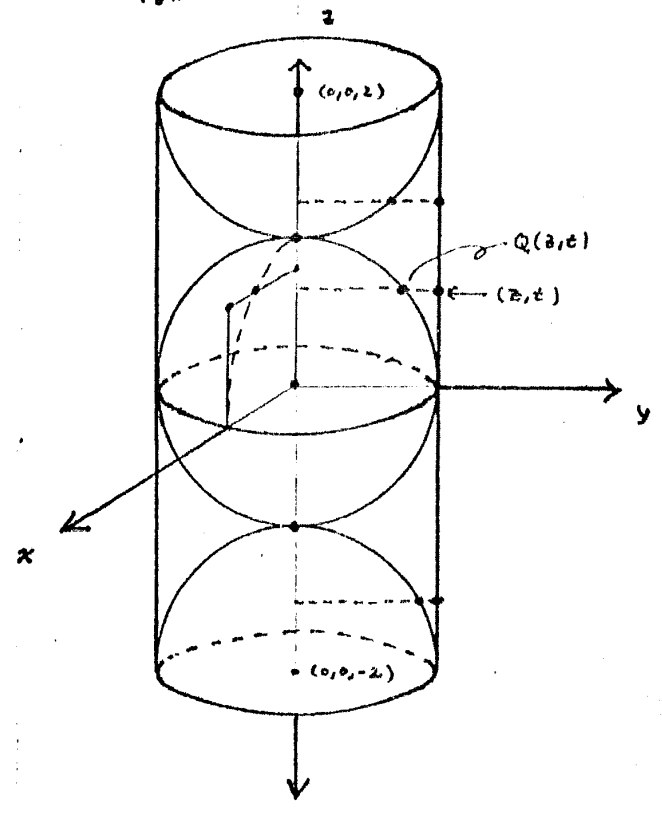
ahora definamos $Q : G \rightarrow S^1 \times S^1 \times W_2 \rightarrow W_1 \cup S^2 \cup W_2$

$$Q(z, t) = \begin{cases} Q_1(z, t) = (\sqrt{-3+2t-t^2} z, t) & t \in [1, 2] \\ Q_0(z, t) = (\sqrt{1-t^2} z, t) & t \in [-1, 1] \\ Q_2(z, t) = (\sqrt{-3-2t-t^2} z, t) & t \in [-2, -1] \end{cases}$$

$Q|_{G' = S^1 \times \{0, \pm 1\}}$ tiene inversa y está dada por

$$Q^{-1} : W_1 \cup S^2 \cup W_2 - \{A, B\} \longrightarrow G' = S^1 \times \{0, \pm 1\}$$

$$Q^{-1}(x, y, t) = \left(\frac{x, y}{\|x, y\|}, t \right)$$



y $Q|_{G' = S^1 \times \{0, \pm 1\}}$ es diferenciable y es un difeomorfismo

así Q induce un campo en $W_1 - A$, $S^2 - \{A, B\}$, $W_2 - B$ mediante $DQ = M \circ Q^{-1}$ donde DQ está dada por

$$DQ_{(z,t)} = \begin{cases} D_{(z,t)} Q_1 = \begin{pmatrix} \sqrt{-3+2t-t^2} & 0 & \frac{x(2-t)}{\sqrt{-3+2t-t^2}} \\ 0 & \sqrt{-3+2t-t^2} & \frac{y(2-t)}{\sqrt{-3+2t-t^2}} \\ 0 & 0 & 1 \end{pmatrix} \\ D_{(z,t)} Q_0 = \begin{pmatrix} \sqrt{1-t^2} & 0 & \frac{-2tx}{\sqrt{1-t^2}} \\ 0 & \sqrt{1-t^2} & \frac{-ty}{\sqrt{1-t^2}} \\ 0 & 0 & 1 \end{pmatrix} \\ D_{(z,t)} Q_2 = \begin{pmatrix} \sqrt{-3-2t-t^2} & 0 & \frac{-x(2+t)}{\sqrt{-3-2t-t^2}} \\ 0 & \sqrt{-3-2t-t^2} & \frac{-y(2+t)}{\sqrt{-3-2t-t^2}} \\ 0 & 0 & 1 \end{pmatrix} \end{cases}$$

entonces en G' el campo $\mu(z,t) = \nu(z,0)$ y solo depende de z sea

$$\mu(z,t) = (\omega_1(z), \omega_2(z), \omega_3(z))$$

entonces en $W_1 - A$ el campo inducido $\nu_1 = (D_{Q_1}^{-1}) (M \circ Q_1^{-1})$

está dado por:

$$\begin{aligned} \nu_1(x,y,t) &= \left(D_{\left(\frac{x,y}{\|x,y\|}, t \right)} Q_1 \right) \left(\omega_1 \left(\frac{x,y}{\|x,y\|} \right), \omega_2 \left(\frac{x,y}{\|x,y\|} \right), \omega_3 \left(\frac{x,y}{\|x,y\|} \right) \right) \\ &= \begin{pmatrix} \sqrt{-3+2t-t^2} & 0 & \frac{x(2-t)}{\|x,y\| \sqrt{-3+2t-t^2}} \\ 0 & \sqrt{-3+2t-t^2} & \frac{y(2-t)}{\|x,y\| \sqrt{-3+2t-t^2}} \\ 0 & 0 & 1 \end{pmatrix} \begin{pmatrix} \omega_1 \left(\frac{x,y}{\|x,y\|} \right) \\ \omega_2 \left(\frac{x,y}{\|x,y\|} \right) \\ \omega_3 \left(\frac{x,y}{\|x,y\|} \right) \end{pmatrix} \\ &= \begin{pmatrix} \sqrt{-3+2t-t^2} \omega_1 \left(\frac{x,y}{\|x,y\|} \right) + \frac{x(2-t) \omega_3 \left(\frac{x,y}{\|x,y\|} \right)}{\|x,y\| \sqrt{-3+2t-t^2}} \\ \sqrt{-3+2t-t^2} \omega_2 \left(\frac{x,y}{\|x,y\|} \right) + \frac{y(2-t) \omega_3 \left(\frac{x,y}{\|x,y\|} \right)}{\|x,y\| \sqrt{-3+2t-t^2}} \\ 0 & \omega_3 \left(\frac{x,y}{\|x,y\|} \right) \end{pmatrix} \end{aligned}$$

en $S^2 - \{A, B\}$ el campo inducido V_0 está dado por:

$$\begin{aligned}
 V_0(x, y, t) &= \left(D_{\left(\frac{x, y}{\|x, y\|}, t \right)} Q_0 \right) \left(\omega_1 \left(\frac{x, y}{\|x, y\|} \right), \omega_2 \left(\frac{x, y}{\|x, y\|} \right), \omega_3 \left(\frac{x, y}{\|x, y\|} \right) \right) \\
 &= \begin{pmatrix} \sqrt{1-t^2} & 0 & -\frac{x t}{\|x, y\| \sqrt{1-t^2}} \\ 0 & \sqrt{1-t^2} & -\frac{y t}{\|x, y\| \sqrt{1-t^2}} \\ 0 & 0 & 1 \end{pmatrix} \begin{pmatrix} \omega_1 \left(\frac{x, y}{\|x, y\|} \right) \\ \omega_2 \left(\frac{x, y}{\|x, y\|} \right) \\ \omega_3 \left(\frac{x, y}{\|x, y\|} \right) \end{pmatrix} \\
 &= \begin{pmatrix} \sqrt{1-t^2} \omega_1 \left(\frac{x, y}{\|x, y\|} \right) - \frac{x t \omega_3 \left(\frac{x, y}{\|x, y\|} \right)}{\|x, y\| \sqrt{1-t^2}} \\ \sqrt{1-t^2} \omega_2 \left(\frac{x, y}{\|x, y\|} \right) - \frac{y t \omega_3 \left(\frac{x, y}{\|x, y\|} \right)}{\|x, y\| \sqrt{1-t^2}} \\ \omega_3 \left(\frac{x, y}{\|x, y\|} \right) \end{pmatrix}
 \end{aligned}$$

y en $W_2 - B$ el campo V_2 definido como

$$\begin{aligned}
 V_2(x, y, t) &= \left(D_{\left(\frac{x, y}{\|x, y\|}, t \right)} Q_2 \right) \left(\omega_1 \left(\frac{x, y}{\|x, y\|} \right), \omega_2 \left(\frac{x, y}{\|x, y\|} \right), \omega_3 \left(\frac{x, y}{\|x, y\|} \right) \right) \\
 &= \begin{pmatrix} \sqrt{-3-2t-t^2} \omega_1 \left(\frac{x, y}{\|x, y\|} \right) - \frac{x(2+t) \omega_3 \left(\frac{x, y}{\|x, y\|} \right)}{\|x, y\| \sqrt{-3-2t-t^2}} \\ \sqrt{-3-2t-t^2} \omega_2 \left(\frac{x, y}{\|x, y\|} \right) - \frac{y(2+t) \omega_3 \left(\frac{x, y}{\|x, y\|} \right)}{\|x, y\| \sqrt{-3-2t-t^2}} \\ \omega_3 \left(\frac{x, y}{\|x, y\|} \right) \end{pmatrix}
 \end{aligned}$$

estos campos no se anulan en ningún punto de su respectivo dominio

y no podemos esperar que se extiendan continuamente a A, B

Para arreglar esto multiplicaremos cada uno por una función escalar

de manera que los campos así obtenidos se extiendan a A, B

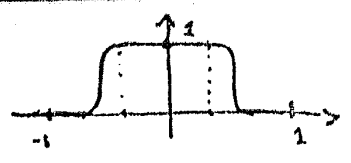
con un solo cero cada uno y de manera que los campos en W_1 y W_2

no se alteren en una vecindad de ∂W_1 y ∂W_2 .

(iii) Sea $h: \mathbb{R} \rightarrow [0, 1]$ $h(t) = \beta \left(\frac{1+t^2 - 4/9}{4/9 - 3/9} \right) = \beta \left(\frac{t^2 - 4/9}{3/9} \right)$

donde β es como en p. 28. esta función tiene las sig características:

$$h|_{(-\frac{1}{3}, \frac{1}{3})} = 1 \quad h|_{[-\frac{1}{3}, \frac{1}{3}] \cup [\frac{2}{3}, 1]} = 0$$



sea $g_0: [-1, 1] \rightarrow \mathbb{R}$ como sigue:

$$g_0(t) = h(t) + (1-h(t))(\sqrt{1-t^2})$$

entonces $g_0|_{[-1, -\frac{2}{3}] \cup [\frac{2}{3}, 1]}(t) = \sqrt{1-t^2}$

$$g_0|_{[-\frac{1}{3}, \frac{1}{3}]} = 1 \quad \text{solo se anula en } t^2 = 1$$

así el campo en S^2 ψ_0 definido como

$$\psi_0(x, y, t) = \begin{cases} g_0(t) v_0(x, y, t) & |t| < 1 \\ 0 & t = 1 \end{cases}$$

es continuo y se anula solo en $(0, 0, 1)$ y $(0, 0, -1)$

para W_1 y W_2 definimos las siguientes funciones

$$g_1: [1, 2] \rightarrow [0, 1]$$

$$g_1(t) = g_0(t-2)$$

$$g_2: [-2, -1] \rightarrow [0, 1]$$

$$g_2(t) = g_0(t+2)$$

y definiendo en W_1 y W_2 los campos siguientes

$$\psi_1(x, y, t) = \begin{cases} g_1(t) v_1(x, y, t) & 2 \leq t < 1 \\ 0 & t = 1 \end{cases}$$

$$\psi_2(x, y, t) = \begin{cases} g_2(t) v_2(x, y, t) & -2 \leq t < -1 \\ 0 & t = -1 \end{cases}$$

entonces ψ_1 solo se anula en $t=1$ y ψ_2 en $t=-1$

Para calcular el índice en los puntos singulares de cada campo tomemos las cartas de W_1, W_2 de S^2 que se obtienen proyectando al plano x, y i.e. la restricción en W_1, W_2, S^2_1, S^2_2 de la proyección $p_{1,2}(x, y, t) = (x, y)$ y $\therefore Dp = \begin{pmatrix} 1 & 0 & 0 \\ 0 & 1 & 0 \end{pmatrix}$

asi calculemos t^o el campo inducido por ψ_1 via $\mathcal{U}_1 = \mathcal{P}_{12} |_{W_1}$

llamemosle $\hat{\psi}_1$ entonces:

$$\begin{aligned} \hat{\psi}_1(x,y) &= (D_{\mathcal{U}_1^{-1}(x,y)} \mathcal{U}_1) (\psi_1(\mathcal{U}_1^{-1}(x,y))) = (D_{(x,y,\sqrt{1-x^2-y^2}+2)} \mathcal{U}_1) (\psi_1(x,y,\sqrt{1-x^2-y^2}+2)) \\ &= g_0(\sqrt{1-x^2-y^2}+2) \begin{pmatrix} 1 & 0 & 0 \\ 0 & 1 & 0 \\ 0 & 0 & 0 \end{pmatrix} (\psi_1(x,y,\sqrt{1-x^2-y^2}+2)) \\ &= g_0(\sqrt{1-x^2-y^2}) \left(\begin{array}{l} \sqrt{-3+2t-t^2} \omega_1\left(\frac{x,y}{\|x,y\|}\right) + \frac{x(2-t)\omega_3\left(\frac{x,y}{\|x,y\|}\right)}{4x,y\|\sqrt{-3+2t-t^2}} \\ \sqrt{-3+2t-t^2} \omega_2\left(\frac{x,y}{\|x,y\|}\right) + \frac{y(2-t)\omega_3\left(\frac{x,y}{\|x,y\|}\right)}{\|x,y\|\sqrt{-3+2t-t^2}} \end{array} \right) (x,y,\sqrt{1-x^2-y^2}+2) \end{aligned}$$

pero $\frac{\sqrt{-3+2t-t^2}}{\sqrt{1-x^2-y^2}+2} = \frac{\sqrt{1-(t-2)^2}}{\sqrt{1-x^2-y^2}+2} = \sqrt{x^2+y^2}$

usituyendo obtenemos

$$\hat{\psi}_1(x,y) = g_0(\sqrt{1-x^2-y^2}) \left(\begin{array}{l} \sqrt{x^2+y^2} \omega_1\left(\frac{x,y}{\|x,y\|}\right) + \frac{x(\alpha+\sqrt{1-x^2-y^2})\omega_3\left(\frac{x,y}{\|x,y\|}\right)}{x^2+y^2} \\ \sqrt{x^2+y^2} \omega_2\left(\frac{x,y}{\|x,y\|}\right) + \frac{y(\alpha+\sqrt{1-x^2-y^2})\omega_3\left(\frac{x,y}{\|x,y\|}\right)}{x^2+y^2} \end{array} \right)$$

y $I_{\psi_1}(0,0,1) = I_{\hat{\psi}_1}(0,0,1)$

el campo inducido en \hat{D}^2 por ψ_0 via $\mathcal{U}_0' = \mathcal{P}_{12} |_{S_1^2}$ este dado por:

$$\begin{aligned} \hat{\psi}_0'(x,y) &= (D_{\mathcal{U}_0'^{-1}(x,y)} \mathcal{U}_0') (\psi_0(\mathcal{U}_0'^{-1}(x,y))) = (D_{(x,y,\sqrt{1-x^2-y^2})} \mathcal{U}_0') (\psi_0(x,y,\sqrt{1-x^2-y^2})) \\ &= g_0(\sqrt{1-x^2-y^2}) \begin{pmatrix} 1 & 0 & 0 \\ 0 & 1 & 0 \\ 0 & 0 & 0 \end{pmatrix} (\psi_0(x,y,\sqrt{1-x^2-y^2})) \\ &= g_0(\sqrt{1-x^2-y^2}) \left(\begin{array}{l} \sqrt{1-t^2} \omega_1\left(\frac{x,y}{\|x,y\|}\right) - \frac{xt \omega_3\left(\frac{x,y}{\|x,y\|}\right)}{\|x,y\|\sqrt{1-t^2}} \\ \sqrt{1-t^2} \omega_2\left(\frac{x,y}{\|x,y\|}\right) - \frac{yt \omega_3\left(\frac{x,y}{\|x,y\|}\right)}{\|x,y\|\sqrt{1-t^2}} \end{array} \right) (x,y,\sqrt{1-x^2-y^2}) \end{aligned}$$

$$\hat{\psi}_0'(x,y) = g_0(\sqrt{1-x^2-y^2}) \left(\begin{array}{l} \sqrt{x^2+y^2} \omega_1\left(\frac{x,y}{\|x,y\|}\right) - \frac{x\sqrt{1-x^2-y^2}}{x^2+y^2} \omega_3\left(\frac{x,y}{\|x,y\|}\right) \\ \sqrt{x^2+y^2} \omega_2\left(\frac{x,y}{\|x,y\|}\right) - \frac{y\sqrt{1-x^2-y^2}}{x^2+y^2} \omega_3\left(\frac{x,y}{\|x,y\|}\right) \end{array} \right)$$

y $I_{\psi_0}(0,0,1) = I_{\hat{\psi}_0'}(0,0)$

en S_1^2 tenemos tomando $\mathcal{U}_0'' = \mathcal{P}_{12} |_{S_1^2}$

$$\hat{\psi}_0''(x,y) = (D_{\mathcal{U}_0''^{-1}(x,y)} \mathcal{U}_0'') (\psi_0(\mathcal{U}_0''^{-1}(x,y))) = (D_{(x,y,-\sqrt{1-x^2-y^2})} \mathcal{U}_0'') (\psi_0(x,y,-\sqrt{1-x^2-y^2}))$$

$$\begin{aligned}
 &= g_0(-\sqrt{1-x^2-y^2}) \begin{pmatrix} 1 & 0 & 0 \\ 0 & 1 & 0 \end{pmatrix} \left(\Psi_0(x, y, \sqrt{1-x^2-y^2}) \right) \\
 &= g_0(-\sqrt{1-x^2-y^2}) \begin{pmatrix} \sqrt{1-t^2} \omega_1\left(\frac{x, y}{\|x, y\|}\right) - \frac{x+t\omega_3\left(\frac{x, y}{\|x, y\|}\right)}{\|x, y\| \sqrt{1-t^2}} \\ \sqrt{1-t^2} \omega_2\left(\frac{x, y}{\|x, y\|}\right) - \frac{y+t\omega_3\left(\frac{x, y}{\|x, y\|}\right)}{\|x, y\| \sqrt{1-t^2}} \end{pmatrix} (x, y, -\sqrt{1-x^2-y^2})
 \end{aligned}$$

$$\hat{\Psi}_0''(x, y) = g_0(-\sqrt{1-x^2-y^2}) \begin{pmatrix} \sqrt{x^2+y^2} \omega_1\left(\frac{x, y}{\|x, y\|}\right) + \frac{x\sqrt{1-x^2-y^2}}{x^2+y^2} \omega_3\left(\frac{x, y}{\|x, y\|}\right) \\ \sqrt{x^2+y^2} \omega_2\left(\frac{x, y}{\|x, y\|}\right) + \frac{y\sqrt{1-x^2-y^2}}{x^2+y^2} \omega_3\left(\frac{x, y}{\|x, y\|}\right) \end{pmatrix}$$

$$\gamma \therefore I_{\Psi_0}(0, 0, -1) = I_{\hat{\Psi}_0''}(0, 0)$$

y para ω_2 se tiene con $\omega_2 = \rho_{12} |_{\omega_2}$ el campo inducido en \mathbb{D}^2 es

$$\begin{aligned}
 \hat{\Psi}_2(x, y) &= \left(D_{\Psi_2(x, y)} \omega_2 \right) \left(\Psi_2(\omega_2^{-1}(x, y)) \right) = \left(D_{(x, y, \sqrt{1-x^2-y^2}-2)} \omega_2 \right) \left(\Psi_2(x, y, \sqrt{1-x^2-y^2}-2) \right) \\
 &= g_0(\sqrt{1-x^2-y^2}) \begin{pmatrix} 1 & 0 & 0 \\ 0 & 1 & 0 \end{pmatrix} \left(\Psi_2(x, y, \sqrt{1-x^2-y^2}-2) \right) \\
 &= g_0(\sqrt{1-x^2-y^2}) \begin{pmatrix} \sqrt{-3-4t-t^2} \omega_1\left(\frac{x, y}{\|x, y\|}\right) - \frac{x(2+t)\omega_3\left(\frac{x, y}{\|x, y\|}\right)}{\|x, y\| \sqrt{-3-4t-t^2}} \\ \sqrt{-3-4t-t^2} \omega_2\left(\frac{x, y}{\|x, y\|}\right) - \frac{y(2+t)\omega_3\left(\frac{x, y}{\|x, y\|}\right)}{\|x, y\| \sqrt{-3-4t-t^2}} \end{pmatrix} (x, y, \sqrt{1-x^2-y^2}-2)
 \end{aligned}$$

$$\underline{\hat{\Psi}_2(x, y)} = g_0(\sqrt{1-x^2-y^2}) \begin{pmatrix} \sqrt{x^2+y^2} \omega_1\left(\frac{x, y}{\|x, y\|}\right) - \frac{x(\sqrt{1-x^2-y^2})}{x^2+y^2} \omega_3\left(\frac{x, y}{\|x, y\|}\right) \\ \sqrt{x^2+y^2} \omega_2\left(\frac{x, y}{\|x, y\|}\right) - \frac{y(\sqrt{1-x^2-y^2})}{x^2+y^2} \omega_3\left(\frac{x, y}{\|x, y\|}\right) \end{pmatrix}$$

$$\gamma \therefore I_{\Psi_2}(0, 0, -1) = I_{\hat{\Psi}_2}(0, 0)$$

pero $\hat{\Psi}_1 = \Psi_0''$ $\gamma \Rightarrow I_{\Psi_1}(0, 0, 1) = I_{\Psi_0''}(0, 0, -1)$

$\gamma \hat{\Psi}_2 = \Psi_0'$ $\Rightarrow I_{\Psi_2}(0, 0, -1) = I_{\Psi_0'}(0, 0, 1)$

que es lo que se queria probar. \square

CAPITULO III

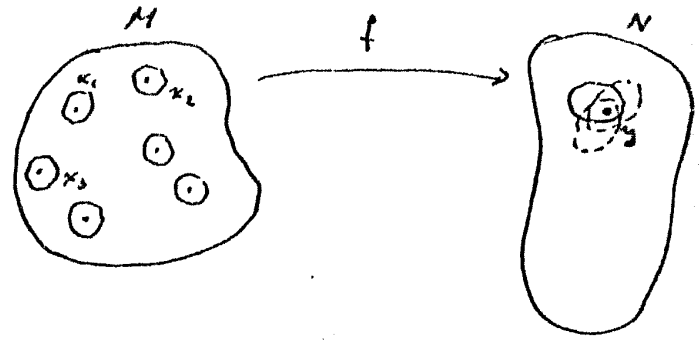
GRADO DE UNA APLICACION

En este capítulo estudiaremos el concepto de grado de una aplicación y algunas de sus propiedades. Se verá que el índice de un campo en un punto definido en el capítulo I coincide con el grado de cierta función, esto con el objeto de llevar al concepto de índice a variedades de dimensión n y demostrar el teorema de Poincaré - Hopf en variedades compactas orientables.

Sean M, N variedades orientables (i.e. admiten atlas con el determinante del cambio de coordenadas positivo) sea $f: M \rightarrow N$ una función diferenciable y $m = \dim M, n = \dim N$ el conjunto $S_f = \{x \in M \mid D_x \circ f^{-1} : \mathbb{R}^m \rightarrow \mathbb{R}^n$ no es sobreyectiva, ψ, ϕ cartas locales de x y $f(x)$ resp.

es el conjunto de puntos críticos, $f(S_f)$ el conjunto de valores críticos de f y $N - f(S_f)$ el conjunto de valores regulares al cual es denso en N (ver Notas de topología diferencial: Aplicaciones a teoría de punto fijo por Albrecht Dold traduc. Carlos Prieto § 4 teorema (A.Sard) 4.01). Entonces si $m \geq n$ y y es un valor regular se tiene que f mapea difeomorficamente alguna vecindad de x en una vecindad de y para cada $x \in f^{-1}(y)$

y deseamos contar de manera esencial el número de veces que mapea f vecindades de cada punto en $f^{-1}(y)$ sobre alguna vecindad de y .



Si M es compacto y $y \in N - f(S_f)$ entonces $f^{-1}(y)$ es discreto y \therefore finito $f^{-1}(y) = \{x_1, \dots, x_k\}$ así sean $(\psi_1, U_1), \dots, (\psi_k, U_k)$ cartas coordenadas locales de x_1, \dots, x_k respectivamente y (ϕ, V) una carta de y entonces definimos el grado de f como sigue:

$$gr(f, y) = \sum_{x_i \in f^{-1}(y)} \frac{\det(D_{\psi_i(x_i)} \circ f \circ \psi_i^{-1})}{|\det(D_{\psi_i(x_i)} \circ f \circ \psi_i^{-1})|}$$

esto es se toma la suma de -1 por cada x_i donde $D \psi_i^{-1}$ invierte la orientación en una vecindad de x_i y 1 si la conserva.

Proposición 3.1 $gr(f, y)$ tiene las siguientes propiedades:

- i) $gr(f, y)$ es independiente de las cartas (tomados de un atlas orientable de M, N)
- ii) $gr(f, -): N \setminus \{s\} \rightarrow \mathbb{Z}$ es localmente constante \therefore continua.
- iii) si $f, g: M \rightarrow N$ son homotopias y $y \in N \setminus (f(s) \cup g(s))$ entonces $gr(f, y) = gr(g, y)$
- iv) si N es conexa entonces $gr(f, y)$ no depende del valor regular y

dem. i) se sigue de que los determinantes de los jacobianos del cambio de coordenadas es positivo. \square

ii) sea $\{x_1, \dots, x_k\} = f^{-1}(y)$ y sea U_1, \dots, U_k vecindades de x_1, \dots, x_k ajenas tales que $f|_{U_i}: U_i \rightarrow f(U_i)$ es difeomorfismo entonces sea $V \subset \bigcap_{i=1}^k f(U_i) = f(\bigcup_{i=1}^k U_i)$ una vecindad de y tal que V es conexa entonces $f^{-1}(V) \subset \bigcup_{i=1}^k U_i$ y además $f|_{U_i \cap f^{-1}(V)}: U_i \cap f^{-1}(V) \rightarrow V$ es difeomorfismo $\therefore U_i \cap f^{-1}(V)$ es conexo y por tanto el signo $\det(D\psi_i^{-1})$ no cambia $\forall \psi_i(x)$ $x \in U_i \cap f^{-1}(V)$
 $\therefore gr(f, y) = gr(f, y') \forall y' \in V$ \square

iii) para la propiedad 3 necesitaremos probar algunas lemas

Lema 3.2 sea M una $n-1$ variedad compacta con frontera, orientable y N una n -variedad conexa orientable, $f: M \rightarrow N$ diferenciable entonces si y es un valor regular de f y $f|_{\partial M}$ entonces $gr(f|_{\partial M}, y) = 0$ donde ∂M tiene la orientación inducida por M .

dem. ver topology from the differentiable viewpoint by John W. Milner lema 1 pg. 28 \square

si solo pedimos que y sea valor regular de $f|_{\partial M}$ de la propiedad 2 y de la densidad de $N - f^{-1}(y)$ se tiene que $\exists y' \in N - f^{-1}(y)$ tal que $gr(f|_{\partial M}, y') = gr(f|_{\partial M}, y)$ y del lema 3.1 $gr(f|_{\partial M}, y) = 0$.

Lema 3.3. sea $F: M \times I \rightarrow N$ una homotopía sobre y y $y \in N$ un valor regular de $F_0 = F|_{M \times \{0\}}$ y $F_1 = F|_{M \times \{1\}}$ entonces $gr(F_0, y) = gr(F_1, y)$ donde $M \times \{0\}, M \times \{1\}$ tienen la orientación inducida de M

dem. se tiene $\partial(M \times I) = M \times \{0\} \cup M \times \{1\}$ y la orientación inducida en $M \times \{0\}$ es la de M y en $M \times \{1\}$ es la contraria entonces del lema 3.2

$$gr(F|_{\partial(M \times I)}, y) = 0 \quad \text{+ } y \text{ valor regular de } F|_{\partial(M \times I)}$$

$$\Rightarrow gr(F|_{\partial(M \times I)}, y) = gr(F|_{M \times \{0\}}, y) + gr(F|_{M \times \{1\}}, y)$$

$$= gr(F_0, y) - gr(F_1, y) = 0$$

$$\Rightarrow gr(F_0, y) = gr(F_1, y) \quad \square$$

⇐ ⇐

esto prueba (ii).

(iv) para (v) necesitaremos:

Lema 3.4. dado N una n -variedad conexa, $y, z \in N$ entonces existe $h: N \rightarrow N$ difeomorfismo tal que $h(y) = z$ y h es isotópica a la identidad en N .

dem. (ver topology from the differentiable viewpoint by John Milnor lema de homogeneidad pg. 22) □

Lema 3.5. sea $h: N \rightarrow N$ como en 3.4., entonces $\forall p \in N$ si U, V son cartas de una vecindad de p y $h(p)$ resp. ent $\det(D_{U(p)}(\psi \circ h \circ \psi^{-1})) > 0$.

dem. sea $H: I \times N \rightarrow N$ una isotopía tal que $H_0 = id$ $H_1 = h$

sea $p \in N$, $t_0 \in I$ y $y = H_{t_0}(p)$ y (V_y, ψ) una carta de Y , sea $U_p \times B_3(t_0) \subset \mathbb{R}^n(V_y)$ con U_p vecindad coordinada de p en N entonces $\forall t \in B_3(t_0)$ $H_t(U_p) \subset V_y$ y $\psi \circ H_t \circ \eta^{-1}: B_3(t_0) \times U(U_p) \rightarrow \psi(V_y)$ está bien definida, además para cada t $\psi \circ H_t \circ \eta^{-1}$ es un difeomorfismo sobre su imagen por tanto el $\det D\psi \circ H_t \circ \eta^{-1}$ no se anula en ningún punto de $U(U_p)$ y depende continuamente de t , como I es conexo el signo es constante y para $H_0 = \text{id}$ el determinante correspondiente es el \det del jacobiano de cambio de coordenadas que es positiva $\Rightarrow \det_{U(p)} \psi \circ H_t \circ \eta^{-1} > 0$ \square

Lema 3.6.3 (Propiedad iv) $gr(f, -): N - f^{-1}(z) \rightarrow \mathbb{Z}$ es cte.

dem. sea $z, y \in N$ valores regulares de f y sea $h: N \rightarrow N$ como en 2.4.1 sea $x = f^{-1}(y)$ y ψ_x, η_x, δ_x cartas locales de vecindades de x, x, y resp. entonces como h es isotópico a $\text{Id} \Rightarrow hf \sim f$ y z es valor regular de hf por tanto

$$gr(f, z) \stackrel{\text{iii}}{=} gr(hf, z) = \sum_{x \in (hf)^{-1}(z)} \frac{\det(D_{U(x)} \psi_x \circ hf \circ \eta_x^{-1})}{|\det(D_{O(x)} \psi_x \circ hf \circ \eta_x^{-1})|}$$

$$\text{y } (hf)^{-1}(z) = f^{-1}h^{-1}(z) = f^{-1}(y)$$

$$= \sum_{x \in f^{-1}(y)} \frac{\det(D_{U(x)} \psi_x \circ h \circ \delta_x^{-1} \circ \delta_x \circ \eta_x^{-1})}{|\det(D_{O(x)} \psi_x \circ h \circ \delta_x^{-1} \circ \delta_x \circ \eta_x^{-1})|}$$

$$= \sum_{x \in f^{-1}(y)} \frac{\det(D_{U(x)} \psi_x \circ h \circ \delta_x^{-1}) \det(D_{O(x)} \delta_x \circ \eta_x^{-1})}{|\det(D_{O(x)} \psi_x \circ h \circ \delta_x^{-1}) \det(D_{O(x)} \delta_x \circ \eta_x^{-1})|}$$

$$= \sum_{x \in f^{-1}(y)} \frac{\det(D_{O(x)} \delta_x \circ \eta_x^{-1})}{|\det(D_{O(x)} \delta_x \circ \eta_x^{-1})|} = gr(f, y)$$

\square

y con esto queda probada iv).

entonces si $f: M \rightarrow N$ con N conexa podemos hablar del grado

de forma como $gr(f, y)$ para cualquier $y \in N - \{st\}$

← 1.

En el capítulo I definimos lo que era el índice de un campo en un punto aislado de singularidades, como el índice del campo a lo largo de cualquier curva α que contuviera al punto en su interior y sin puntos críticos distintos del punto en la cerradura de su interior, en particular se podía tomar un círculo alrededor del punto $p + \sigma_\delta$ con $\delta > 0$ suficientemente chico.

y calculábamos el índice del campo v tomando el mapeo $\hat{v}_\alpha(p + \sigma_\delta) : I \rightarrow S^1$ lo levantábamos a v^* y $I_v(p) = \frac{v^*(1) - v^*(0)}{2\pi i}$ así el mapeo $\hat{v} : J_{p+\sigma_\delta} \rightarrow S^1$

lo podemos ver como un mapeo entre 1-variedades orientables compactas.

lo que haremos en seguida será probar que $I_v(p) = "gr(\hat{v})"$.

Para ser más precisos tenemos:

Sea $p \in U \subset \mathbb{R}^2$ y $v : U \rightarrow \mathbb{R}^2$ un campo continuo, que no se anula en $U - p$ U abto. sea $p + \sigma_\delta : I \rightarrow U$ $(p + \sigma_\delta)(t) = p + \delta e^{i2\pi t}$ con $\delta > 0$ tal que $\bar{B}_\delta(p) \subset U$ con $p + \sigma_\delta$ una parametrización de $\partial B_\delta(p)$.

sea $\mu : U \rightarrow \mathbb{R}^2$ una aproximación diferenciable de v tal que

$\|\mu(x) - v(x)\| \leq \frac{\|v(x)\|}{2}$ (ver topología diferencial: Aplicaciones a teoría de punto fijo por Albrecht Dold, traducidas por Carlos Prieto; teorema 1.4.11) con $A = p$ y $Y = X$.

entonces $\mu(x) = 0 \Rightarrow \|v(x)\| \leq \frac{\|v(x)\|}{2} \Leftrightarrow v(x) = 0$ $\therefore \mu$ se anula solo donde

v lo hace i.e. en p , además $\forall x \in U - p$ $\mu(x)$ no es opuesto a $v(x)$

y por tanto $I(v, \alpha) = I(\mu, \alpha) \quad \forall \alpha \subset U - p$ en particular para $\alpha = p + \sigma_\delta$

como $p + \partial B_\delta(p)$ es una 1-variedad considerando la estructura compatible con la parametrización $p + \sigma_\delta$ al mapeo $\hat{\mu} : p + \partial B_\delta(p) \rightarrow S^1$ es diferenciable

como mapeo entre 1-variedades, entonces probaremos lo siguiente

Proposición 3.4 $I_{v,p}(p) = I(v, p + \sigma_\delta) = I(\hat{\mu}, p + \sigma_\delta) = gr(\hat{\mu})$

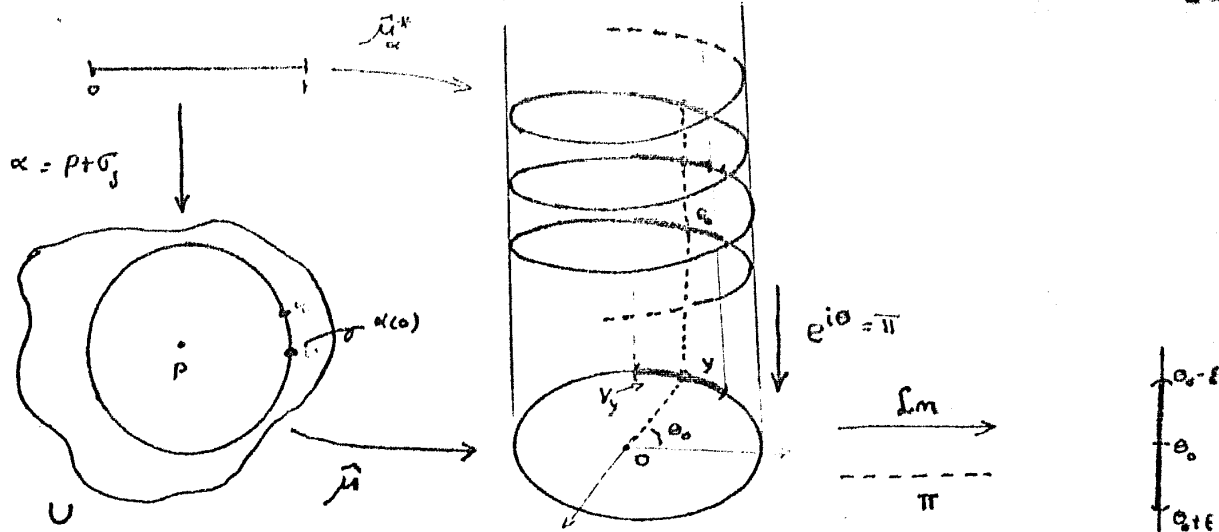


Fig. 3.1

dem. tomando $\alpha|_{(0,1)}$ como una curva de $p \in \partial B_j(0) = \alpha(0)$ sea $\hat{\mu}_\alpha^* : I \rightarrow \mathbb{R}$ un levantamiento de $\hat{\mu}(t) = \hat{\mu} \circ \alpha(t)$ y sea $y \in S^1$ un valor regular de $\hat{\mu}$ con $y \neq \hat{\mu}(0)$, sea t_0, θ_0 tal que $\hat{\mu}_\alpha^*(t_0) = \theta_0$ y $y = \hat{\mu}(t_0)$ sea \mathcal{L}_n la inversa en una vecindad de θ_0 de $\pi|_{B_j(\theta_0)}$ sea $V_y = \pi^{-1}(B_j(\theta_0))$ entonces $\mathcal{L}_n(y) = \theta_0$ y \mathcal{L}_n es una curva de una vecindad de y (V_y)

pd. $\frac{1}{2\pi}(\hat{\mu}_\alpha^*(1) - \hat{\mu}_\alpha^*(0)) = gr(\hat{\mu})$; como $\hat{\mu}^{-1}(y) \subset \alpha(0,1)$ entonces
 $gr(\hat{\mu}) = gr(\mathcal{L}_n \circ \hat{\mu}_\alpha^* \circ \alpha, \theta_0) \quad \mathcal{L}_n \circ \hat{\mu}_\alpha^* \circ \alpha : \alpha^{-1}(\hat{\mu}^{-1}(V_y)) \rightarrow B_j(\theta_0)$

sea $W_k = 2\pi k + B_j(\theta_0)$ entonces $\pi^{-1}(V_y) = \cup_{k \in \mathbb{Z}} W_k$ y $W_k \cap W_j = \emptyset \quad k \neq j$

y $\mathcal{L}_n \circ \pi|_{W_k} = id - 2\pi k \Rightarrow$ si $z \in \pi^{-1}(y) \quad D_z \mathcal{L}_n \circ \pi|_{W_k} = id$

\Rightarrow para cada $x \in (\mathcal{L}_n \circ \hat{\mu}_\alpha^* \circ \alpha)^{-1}(\theta_0) = (\mathcal{L}_n \circ \pi \circ \hat{\mu}_\alpha^*)^{-1}(\theta_0) = \hat{\mu}_\alpha^{*-1}(\pi^{-1}(y))$

ej $\det(D_x \mathcal{L}_n \circ \pi \circ \hat{\mu}_\alpha^*) = (\det D_x \mathcal{L}_n \circ \pi) (\det D_x \hat{\mu}_\alpha^*) = \det D_x M^*$

y $gr(\hat{\mu}) = \sum_{\substack{x \in \hat{\mu}_\alpha^{*-1}(z) \\ z \in \pi^{-1}(y)}} \frac{\det D_x M^*}{|\det D_x \hat{\mu}_\alpha^*|}$
 $= \sum_{z \in \pi^{-1}(y)} \left(\sum_{x \in \hat{\mu}_\alpha^{*-1}(z)} \frac{\det D_x M^*}{|\det D_x \hat{\mu}_\alpha^*|} \right)$
 $= \sum_{z \in \pi^{-1}(y)} gr(\hat{\mu}^*, z)$

basta entonces calcular $gr(\hat{\mu}^*, z)$ para cada $z \in \pi^{-1}(y)$

ahora bien sea $a = \min \{ \mu^*(a), \mu^*(b) \}$ $b = \max \{ \mu^*(a), \mu^*(b) \}$

entonces si $A_1 = \{ z \in \pi^{-1}(y) \mid z \notin [a, b] \}$

$A_2 = \{ z \in \pi^{-1}(y) \mid z \in (a, b) \}$

$\pi^{-1}(y) = A_1 \cup A_2$ y la función $L: [0, 1] \rightarrow \mathbb{R}$ $L(t) = \mu^*(a) + (\mu^*(b) - \mu^*(a))t$

coincide con $\hat{\mu}^*$ en $\partial I = \{0, 1\}$ entonces se tiene que $\forall z \in \pi^{-1}(y)$

(valor regular de $\hat{\mu}^*$) $gr(\hat{\mu}^*, z) = gr(L, z)$ (ver topología diferencial):

Aplicaciones a teoría de punto fijo por Albrecht Dold traduc. Carlos Prieto § 5

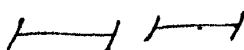
5.1.18) y por tanto $\forall z \in A_1$ $gr(\hat{\mu}^*, z) = gr(L, z) = 0$ y

si $A_2 \neq \emptyset$ se tiene $\forall z \in A_2$ $gr(\hat{\mu}^*, z) = gr(L, z) = \frac{\mu^*(1) - \mu^*(0)}{|\mu^*(1) - \mu^*(0)|} = \text{sgn}(I(\mu, \mu))$

(ver top. dif. Apl. a T. de Punto F. Dold. § 5, 5.1.26)

$$\therefore gr(\hat{\mu}^*) = \sum_{z \in A_2} gr(L, z) = (\text{sgn}(I(\mu, \mu))) \# A_2$$

pero $\# A_2 = |I(\mu, \mu)|$ y por tanto $gr(\hat{\mu}^*) = I(\mu, \mu)$



Así con la ayuda del concepto de grado generalizaremos el concepto de Índice como sigue:

sea $U \subset \mathbb{R}^m$ un abierto y $v: U \rightarrow \mathbb{R}^m$ un campo diferenciable

y $p \in U$ tal que existe $\epsilon > 0$ tal que $\bar{B}_\epsilon(p) - p$ no contiene ceros de v

se tiene entonces la función diferenciable $\hat{v}: \partial B_\epsilon(p) \rightarrow S^{m-1}$

$\hat{v}(z) = \frac{v(z)}{\|v(z)\|}$ y el grado de esta aplicación le llamaremos el

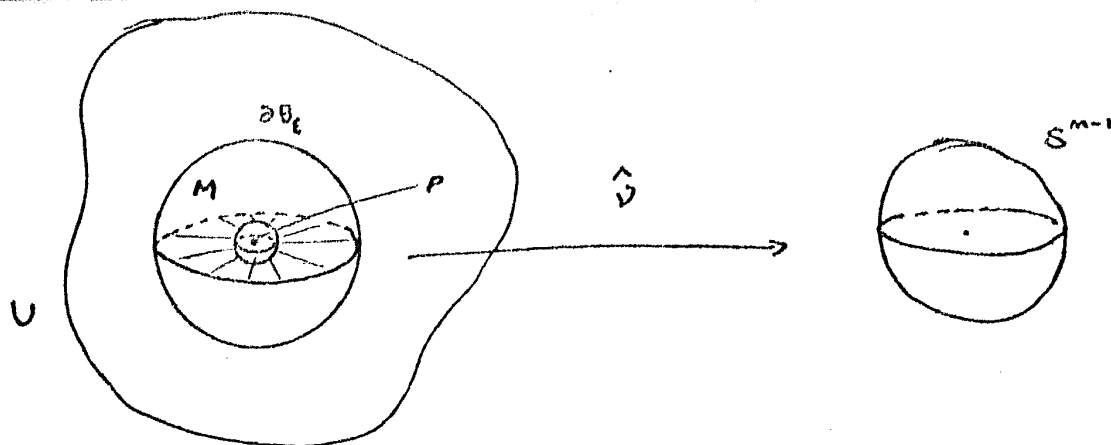
índice de v en p ($I_p(p)$). Esta definición no depende de ϵ

ya que si $\epsilon' < \epsilon$ $\partial B_{\epsilon'}(p) \cup \partial B_\epsilon(p)$ es la frontera de la

variedad comp. con frontera $M = \{x \in \mathbb{R}^m \mid \epsilon' \leq \|x-p\| \leq \epsilon\}$ y \hat{v} se puede

definir en todo M entonces por el Lema 3.2. pg 48 se tiene

$$gr(\hat{v}|_{\partial B_{\epsilon'}}) = gr(\hat{v}|_{\partial B_\epsilon}).$$



Nuestra intención ahora es definir el índice de un campo en una n -variedad M en un punto $P \in M$ aislado de ceros, calculándolo en el campo inducido por alguna carta coordenada de una vecindad de P en el abierto de \mathbb{R}^n correspondiente, solo necesitamos probar que no depende del sistema de coordenadas elegido para lo cual necesitaremos los siguientes lemas:

Lema 3.8: sea $U \subset \mathbb{R}^n$ y $T_\xi: \mathbb{R}^n \rightarrow \mathbb{R}^n$ $T_\xi(x) = \xi + x$ entonces

sea $\nu: U \rightarrow \mathbb{R}^n$ un campo en U que se anula a lo mas en $0 \in U$

si ν' es el campo inducido en $T_\xi(U)$ por T_ξ entonces

$$I_0(\nu) = I_\xi(\nu') \quad (\nu'(z) = \nu(z - \xi))$$

dem. se sigue de que las cartas en $\xi + \partial B_\delta(0)$ ($B_\delta(0) \subset U$)

están dadas por $T_\xi \circ \alpha$ donde α es una carta de $\partial B_\delta(0)$

□

para el caso de reflexiones se sigue del siguiente lema:

Lema 3.9: Sea $f: M \rightarrow N$ N, M compactas y N conexa orientable

sea $h: N \rightarrow N$ y $g: M \rightarrow M$ difeomorfismos entonces

$$gr(h \circ f \circ g) = gr h \cdot gr f \cdot gr g$$

dem. sea y un valor regular de f entonces

$$\begin{aligned} gr(h \circ f \circ g, h(y)) &= \sum_{x \in g^{-1}f^{-1}(y)} \text{signo}(\det D_{\alpha_i(x)} \Psi h \circ f \circ \alpha_i^{-1}) \\ &= \sum_{x \in g^{-1}f^{-1}(y)} \text{signo}(\det D_{\alpha_i(x)} (\Psi h \circ f^{-1})(\delta_i \circ f \circ \alpha_i^{-1})(\delta_i \circ g \circ \alpha_i^{-1})) \end{aligned}$$

$$\begin{aligned}
 &= \sum_{x_i \in g^{-1}f^{-1}(y)} \text{signo}(\det D_{\psi(y)} \psi \circ h \circ \gamma_i^{-1}) (\det D_{\delta_i(\gamma_i(x_i))} \gamma_i \circ f \circ \delta_i^{-1}) (\det D_{\psi_i(\gamma_i(x_i))} \delta_i \circ \psi_i^{-1}) \\
 &= \sum_{x_i \in g^{-1}f^{-1}(y)} \text{sg. gr}(h, h(\gamma_i)) (\det D_{\delta_i(\gamma_i(x_i))} \gamma_i \circ f \circ \delta_i^{-1}) (\text{gr}(g, g(x_i))) \\
 &= \text{gr}(h, h(\gamma_i)) \left[\sum_{g(x_i) \in f^{-1}y} \text{signo}(\det D_{\delta_i(\gamma_i(x_i))} \gamma_i \circ f \circ \delta_i^{-1}) \right] \text{gr}(g) \\
 &= \text{gr}(h) \text{gr}(f) \text{gr}(g)
 \end{aligned}$$

donde $\{x_1, \dots, x_k\} = g^{-1}f^{-1}(y)$
 U_i es una carta local de una rec. de x_i
 δ_i " " " " " " " " $\gamma_i(x_i)$
 γ_i " " " " " " " " y
 ψ " " " " " " " " $h(y)$ □

por tanto si ρ es una reflexion $\rho^2 = \text{id}$ y el campo inducido $\nu' = \rho \circ \nu \circ \rho^{-1}$ en $\partial B_\epsilon(0)$ $\epsilon > 0$, $\rho^{-1} = \rho$
 $\gamma \therefore \hat{\nu}' = \rho \circ \hat{\nu} \circ \rho^{-1} : \partial B_\epsilon \rightarrow S^{m-1} \Rightarrow \text{gr}(\hat{\nu}') = \text{gr} \rho \circ \text{gr} \hat{\nu} \circ \text{gr} \rho = \text{gr} \hat{\nu}$

Para terminar si $P \in M$ es un punto aislado de singularidades $\neq P$ de ν sea $\mathcal{U}_0, \mathcal{U}_1 : U_P \rightarrow \mathbb{R}^m$ 2 cartas coordenadas, sea $\nu_0 : \mathbb{R}^m \rightarrow \mathbb{R}^n$ el campo inducido por ν en \mathbb{R}^m por la carta \mathcal{U}_0 y ν_1 el inducido por \mathcal{U}_1 , entonces $h = \mathcal{U}_1 \circ \mathcal{U}_0^{-1} : \mathbb{R}^m \rightarrow \mathbb{R}^m$ es un difeomorfismo y

$$\nu_1(x) = D_{h^{-1}(x)} (\mathcal{U}_0 \circ \mathcal{U}_0^{-1}) \nu_0(h^{-1}(x)) = (D_{h^{-1}(x)} h) \nu_0(h^{-1}(x))$$

pd. $I(\nu_0, \mathcal{U}_0(P)) = I(\nu_1, \mathcal{U}_1(P))$, podemos suponer que $h(0) = 0$ realizando 2 traslaciones, de la proposición 1.13 pg.13 h es suavemente isotopico a la id o ρ donde ρ es una reflexion sea $H : \mathbb{R}^m \times I \rightarrow \mathbb{R}^m$ esta isotopia entonces sea $\nu_t : \mathbb{R}^m \rightarrow \mathbb{R}^n$ dado por

$$\nu_t(x) = (D_{h_t^{-1}(x)} H_t) (\nu \circ H_t^{-1}(x))$$

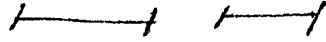
entonces $\nu_t(x) = 0 \Leftrightarrow x = 0$ (si P es singularidad de ν) es una homotopia de ν_0 a ν_1 asi sea $\partial B_\delta(0)$ entonces

$\hat{\nu}_t : \partial B_\delta(0) \rightarrow S^{m-1}$ me determina una homotopia de $\hat{\nu}_0$ a $\hat{\nu}_1$,
o a $\rho \hat{\nu}_1 \rho^{-1}$,

$$y \therefore gr(\beta_0) = gr(\beta_1)$$

□

asi $I_\nu(P)$ está bien definido para cada punto $P \in M$.



CAPITULO IV

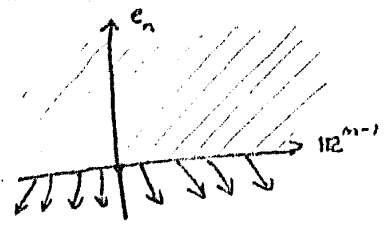
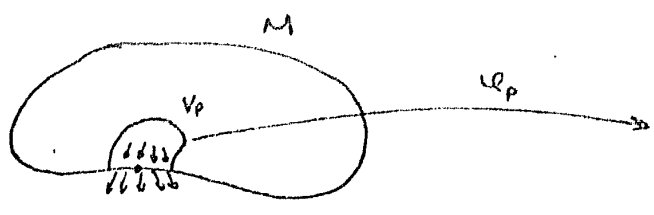
TEOREMA DE POINCARÉ - HOPF

En este capítulo demostraremos la generalización del teorema del índice de Poincaré. A grandes rasgos lo que se hará será lo siguiente:

dada M una variedad compacta orientable de dimensión m entonces M la podemos encajar en algún \mathbb{R}^q para alguna q (ver Differential topology by M.W. Hirsch teorema 3.4 pg 23) entonces $\forall x \in M \quad T_x M \subset \mathbb{R}^q$ y por tanto, un campo vectorial V sobre M está determinado por una función $V: M \rightarrow \mathbb{R}^q$ donde para cada $x \in M$ $V(x) \in T_x M$, si las singularidades de V son aisladas se modificará el campo en una vecindad de cada singularidad sin alterar la suma de los índices de éstas de manera que el campo obtenido tenga el cero como valor regular lo cual facilita el cálculo del índice en cada cero, luego se extenderá este campo a un campo en una vecindad tubular al cual se anula solo en los ceros del campo original y se probará que en este campo la suma de los índices es igual al grado del mapeo definido por la restricción del campo a la frontera de la vec. tubular de M (M_ϵ) normalizada como función de $\partial M_\epsilon \rightarrow S^{q-1}$.

Por esto empezaremos con algunos resultados parciales en campos vectoriales sobre n -variedades con frontera encajados en \mathbb{R}^m :

Sea $M \subset \mathbb{R}^m$ una n -variedad compacta orientable con frontera sea $V: M \rightarrow \mathbb{R}^m$ un campo vectorial diferenciable, diremos que $V|_{\partial M}$ "apunta hacia afuera" cuando para cada $p \in \partial M$ si V_p es una vecindad coordinada con carta $\varphi_p: V_p \rightarrow \mathbb{R}_+^m = \{(x_1, \dots, x_m) \mid x_m \geq 0\}$ entonces el campo inducido en \mathbb{R}_+^m $V' = d\varphi_p \circ V|_{V_p} \circ \varphi_p^{-1}: \mathbb{R}_+^m \rightarrow \mathbb{R}^m$ es tal que para cada $a \in \partial \mathbb{R}_+^m$ $V'(a) \cdot e_n < 0$, esto es lo mismo que pedir que el campo no sea tangente a ∂M y además que si w_1, \dots, w_{m-1} es una base de $T_x \partial M$ positiva entonces $w_1, \dots, w_{m-1}, V(x)$ es una base de $T_x M$ negativamente orientada



esto no depende de la carta elegida ya que: si \$U_1, U_2: V_p \to \mathbb{R}^n\$ son 2 cartas y \$v_1(x) = dU_1(v \circ U_1^{-1}(x))\$ \$v_2(x) = dU_2(v \circ U_2^{-1}(x))\$ son los campos inducidos por \$U_1\$ y \$U_2\$ en \$\mathbb{R}^n\$ se tiene entonces

\$v_1(x) = dU_1 \circ U_2^{-1} \circ (v_2 \circ U_2^{-1}(x))\$ asi si \$v_2 = (v_1, \dots, v_m) \Rightarrow \forall x \in \mathbb{R}^{n-1} \times 0\$ \$v_2(x) \cdot e_n = 0\$ y \$dU_1 \circ U_2^{-1}: \mathbb{R}^n \to \mathbb{R}^n\$ es tal que

\$e_1, \dots, e_{n-1}\$ la manda en una base positivamente orientada de \$\mathbb{R}^{n-1} \times 0\$
 \$\therefore\$ en terminos de la base \$e_1, \dots, e_n\$ \$dU_1 \circ U_2^{-1} = \begin{pmatrix} A & a_1 \\ & \vdots \\ 0 \dots 0 & a_{n-1} \\ & & a_n \end{pmatrix}\$
 y \$\det A > 0 \therefore a_n > 0\$ y \$v_1(x) \cdot e_n = a_n \cdot v_m > 0\$ si \$v_m > 0\$

de aqui la siguiente proposición es inmediata

Proposición 4.1 si \$v, v': M \to \mathbb{R}^n\$ son 2 campos vectoriales tales que en \$\partial M\$ apuntan hacia afuera entonces \$v'/\partial M\$ es homotópico a \$v\$.

dem. usando \$H: I \times \partial M \to \mathbb{R}^n\$
 \$H(t, x) = t v'(x) + (1-t) v(x)\$ \$\square\$

Proposición 4.2 si \$v: M \to \mathbb{R}^n\$ no se anula en \$\partial M\$ y tiene un numero finito de singularidades \$S = \{p_1, \dots, p_k\}\$ entonces \$\sum_{i=1}^k I_v(p_i) = \text{gr}(\hat{v})_{\partial M}\$

Dem. sea \$f: M \to \mathbb{R}\$ dada por \$f(x) = \|x - p_i\|^2\$ entonces \$\mathbb{R} - 0\$ son valores regulares de \$f\$, como \$p_i \in \overset{\circ}{M}\$ \$\exists \epsilon_i > 0\$ tal que \$B_{\epsilon_i}(p_i) \subset \overset{\circ}{M} - S\$ entonces \$M_\epsilon = \{x \in M \text{ tal que } f(x) \geq \epsilon\}\$ es una variedad con frontera \$\partial M_\epsilon = \partial M \cup \partial B_{\epsilon_i}(p_i)\$
 (ver Differential Topology Gilkey - Pollack pg. 62), tomando \$\epsilon_i \downarrow 0\$ \$\bar{B}_{\epsilon_i}(p_i) \cap \{p_1, \dots, p_k\} = p_i\$ ent. \$M_\epsilon = M - \overset{\circ}{B}_{\epsilon_i}(p_i)\$ procediendo por inducción se obtiene \$M_\epsilon = M - \bigcup_{i=1}^k \overset{\circ}{B}_{\epsilon_i}(p_i)\$ donde \$\bar{B}_{\epsilon_i} \cap \bar{B}_{\epsilon_j}(p_j) = \emptyset\$
 es una \$n\$-variedad compacta con frontera igual \$\partial M \cup (\bigcup_{i=1}^k \partial B_{\epsilon_i}(p_i))\$

y $\nu|_{M_k} : M_k \rightarrow \mathbb{R}^m$ es un campo que no se anula, así

$\hat{\nu} : \partial M_k \rightarrow S^{m-1}$ se extiende a todo M_k y por el lema 3.2

$$\text{gr}(\hat{\nu}) = 0 \text{ pero } \text{gr}(\hat{\nu}) = \text{gr}(\hat{\nu}|_{\partial M}) + \sum \text{gr}(\hat{\nu}|_{\partial B_{\varepsilon_i}(p_i)}) = 0$$

$$\Rightarrow \sum_{i=1}^k I_{\nu}(p_i) = \text{gr}(\hat{\nu}|_{\partial M})$$

□

Definición 4.3 $p \in M$ es un cero no degenerado de ν si $d_p \nu$ es no singular.

En lo que sigue probaremos que podemos considerar solo campos con singularidades no degeneradas.

Sea $\nu : U \rightarrow \mathbb{R}^m$ ($U \subset \mathbb{R}^m$ abierto) un campo con una singularidad en

p sea $\varepsilon_1, \varepsilon_2$ tal $0 < \varepsilon_1 < \varepsilon_2$ y $\bar{B}_{\varepsilon_2}(p) \subset U$ consideremos

una función $\mu : \mathbb{R}^m \rightarrow [0, 1]$ que se anula en $\mathbb{R}^m - \bar{B}_{\varepsilon_2}(p)$ y

vale 1 en $B_{\varepsilon_1}(p)$ (por ejemplo $\mu(x) = \frac{\|x\|^2 - \varepsilon_2^2}{\varepsilon_1^2 - \varepsilon_2^2}$) μ como en pg 28)

sea $s = \min \{ \|\nu(x)\| \mid x \in B_{\varepsilon_2} - \bar{B}_{\varepsilon_1} \}$ como $\nu(p) = 0$ sea $y \in \mathbb{R}^m$ un

valor regular de ν tal que $y \in B_{s/2}(0)$, ahora sea $\nu' = \nu - \mu \cdot y$

entonces ν' se anula cuando $\nu = \mu \cdot y$ pero $\|\mu \cdot y\| \leq \|y\| < s$ ∴

ν' no se anula en $B_{\varepsilon_2} - \bar{B}_{\varepsilon_1}$ por tanto ν' se anula solo en B_{ε_1}

pero $\nu'(x) = \nu(x) + y \quad \forall x \in B_{\varepsilon_1} \Rightarrow 0 = \nu'(x) \Leftrightarrow x \in B_{\varepsilon_1}$ y $\nu(x) = y$

y $d_x \nu' = d_x \nu \quad \forall x \in \bar{B}_{\varepsilon_1}(p)$ y ∴ si q es tal que $\hat{\nu}(q) = 0 \Rightarrow$

$$d_q \nu' \text{ es no singular y } \sum_{q \in \nu'^{-1}(0)} I_{\nu'}(q) = \text{gr}(\hat{\nu}'|_{\partial B_{\varepsilon_1}(p)}) = I_p(\nu)$$

con esto tenemos que si $\nu : M \rightarrow \mathbb{R}^m$ $M \subset \mathbb{R}^m$ m -variedad es un campo

con un número finito de singularidades entonces haciendo lo anterior en cada

punto singular de ν podemos obtener un campo $\nu' : M \rightarrow \mathbb{R}^m$ con un

número finito de singularidades y además estas son no degeneradas y es

$$\text{tal que } \sum_{p \in \nu^{-1}(0)} I_{\nu}(p) = \sum_{p' \in \nu'^{-1}(0)} I_{\nu'}(p')$$

←

Esto nos facilitó el cálculo del índice de un cero en términos de la diferencia del campo en el punto dado por el siguiente

Lema :

Lema 4.4 Si $\nu: U \rightarrow \mathbb{R}^m$ ($U \subset \mathbb{R}^m$ abierto) es un campo con un único cero en $P \in U$ no degenerado entonces

$$I_\nu(P) = \frac{\det d_P \nu}{|\det d_P \nu|}$$

dem. podemos suponer $P=0$ y U convexo y $V|_U$ es difeomorfismo en el capítulo I se probó $\exists H: U \times I \rightarrow \mathbb{R}^m$ una isotopía con $H_0 = \nu$ $H_1 = Id$ o e ($e = \begin{pmatrix} 1 & & 0 \\ & \ddots & \\ 0 & & -1 \end{pmatrix}$) según si $\det d_0 \nu > 0 < 0$ y era tal que $H_t(0) = 0 \forall t \in I$ de manera que $\exists \delta > 0$ tal $\tilde{H}_t: \hat{B}_\delta(0) \rightarrow S^{m-1}$ es una homotopía de $\hat{V}|_{\partial B_\delta(0)}$ a $Id|_{\partial B_\delta}$ o $e|_{\partial B_\delta}$ y $\therefore \text{gr}(\hat{V}|_{\partial B_\delta}) = 1$ o -1 dependiendo si $H_0 = id$ o e respectivamente \square



Pasando a variedades sea $M \subset \mathbb{R}^m$ una variedad de dim. m compacta orientable y $\nu: M \rightarrow \mathbb{R}^m$ un campo vectorial diferenciable,

Lema 4.5 Si P es un cero no degenerado de ν entonces $\dim d_P \nu = T_P M$ y $d_P \nu: T_P M \rightarrow T_P M$ es un automorfismo y $I_\nu(P) = 1$ o -1 según si $\det(d_P \nu)$ es > 0 o < 0 .

dem. sea $h: \mathbb{R}^m \rightarrow V_P \subset M$ una parametrización de una vecindad del podemos suponer $h'(P) = 0$ sea $\nu': \mathbb{R}^m \rightarrow \mathbb{R}^m$ el campo inducido por ν mediante dh' $\nu' = (\nu'_1, \dots, \nu'_m)$ por el lema 4.4 $I_P(\nu) = \text{signo } \det d_P \nu = \text{signo } \det \left(\frac{\partial \nu'_i}{\partial x_j}(0) \right)_{\substack{1 \leq i \leq m \\ 1 \leq j \leq m}}$ sea $t_i(u) = d_{h'(u)} h(e_i)$ $u \in V_P$ entonces $\nu(u) = \sum_{i=1}^m \nu'_i(u) t_i(u)$

como $t_i(u) = \frac{dh}{h'(u)}(e_i) = \frac{\partial h}{\partial x_i}(h^{-1}(u))$ y $d_u \nu(t_i(u)) = d_u \nu \circ d_{h^{-1}(u)} h'(e_i)$
 $= d_{h^{-1}(u)} \nu \circ h'(e_i) = \frac{\partial \nu \circ h}{\partial x_i}(h^{-1}(u))$

en p tenemos $d_p \nu(t_i(p)) = \frac{\partial}{\partial x_i} \sum v_j t_j(p) = \sum v_j(p) \frac{\partial}{\partial x_i} t_j(p) + \sum \frac{\partial v_j}{\partial x_i} t_j(p)$
 $= \sum \frac{\partial v_j}{\partial x_i} t_j(p)$

$\therefore \det(d_p \nu) = \det\left(\frac{\partial v_j}{\partial x_i}\right) = I_\nu(p)$ □

Dada $M \subset \mathbb{R}^m$ una m -variedad compacta orientable se tiene para cada $x \in M$ $T_x M \subset T_x \mathbb{R}^m = \mathbb{R}^m$ sea $T_x M^\perp = \{v \in \mathbb{R}^m \mid \langle v, w \rangle = 0 \ \forall w \in T_x M\}$
entonces $TM^\perp = \{(x, v) \in \mathbb{R}^{2m} \mid x \in M \wedge v \in T_x M^\perp\}$ es una n -variedad
(ver Differential topology by Guillemin p. 71) y la funcion $g: TM^\perp \rightarrow \mathbb{R}^m$
 $g(x, v) = x + v$ mapea inyectivamente la seccion cero en M y es de hecho una inmersion en $M \times 0$ entonces g mapea difeomorficamente una vecindad W de $M \times \{0\}$ en un abierto que contiene a M (ver Stable Mappings and their

singularities by M. Golubitsky prop. 7.3 p. 69) si tomamos $\epsilon > 0$ tal que $W_\epsilon = \{(x, v) \in W \mid \|v\| \leq \epsilon\}$ entonces $M_\epsilon = g(W_\epsilon) = \{y \in \mathbb{R}^m \mid d(y, M) \leq \epsilon\}$ y ademas si $y = x + v = g(x, v)$ entonces $\|x - y\| = d(y, M)$ esto se tiene porque si $y \in M_\epsilon \Rightarrow y = g(x, v) = x + v \Rightarrow d(y, M) \leq d(y, x) = \|v\| \leq \epsilon$ y ademas si y es tal $d(y, M) \leq \epsilon$ sea $x \in M$ $\|x - y\| = d(y, M)$ entonces sea $c: (-\delta, \delta) \rightarrow W_\epsilon$ una curva tal que $c(0) = x$ entonces la funcion $\mu(t) = \|y - c(t)\|^2$ alcanza un minimo en $t=0$ y por tanto $\mu'(0) = 0 \Rightarrow (y - c(0)) \cdot c'(0) = 0 \Rightarrow (y - x) \cdot c'(0) = 0$ como $c'(0)$ es arbitrario $\Rightarrow v = y - x \perp T_x M \Rightarrow y = g(x, v)$ $(x, v) \in W_\epsilon$

$\Rightarrow x$ este unicamente determinado por la propiedad $d(x, y) = d(y, M)$ asi si definimos la funcion $r: M_\epsilon \rightarrow M$ $r(y) = x$ esta bien definida y es diferenciable ya que $r(y) = \pi_1 \circ h^{-1}(y) = \pi_1 \circ g^{-1}(y) = x$ y por tanto la funcion $f: M_\epsilon \rightarrow \mathbb{R}$ $f(y) = \|y - r(y)\|^2$ es diferenciable

como el gradiente de f está dado por

$$\begin{aligned} \nabla f(x) &= \sum_{i=1}^m \frac{\partial g}{\partial x_i} e_i = \sum_{i=1}^m \left(\sum_{k=1}^m 2(x_k - r_k(x)) \left(\frac{\partial x_k}{\partial x_i} - \frac{\partial r_k}{\partial x_i} \right) \right) e_i \\ &= \sum_{i=1}^m 2(x_i - r_i(x)) e_i - \sum_{i=1}^m \left(\sum_{k=1}^m 2(x_k - r_k(x)) \frac{\partial r_k}{\partial x_i} \right) e_i \\ &= 2(x - r(x)) - \sum_{i=1}^m 2(x - r(x)) \cdot d_{x_i} r(e_i) \\ &= 2(x - r(x)) \end{aligned}$$

$$\Rightarrow \nabla f = 0 \Leftrightarrow x = r(x) \Leftrightarrow x \in M \Leftrightarrow f(x) = 0$$

$\therefore \epsilon$ es un valor regular y $M_\epsilon = f^{-1}(-\infty, \epsilon]$ con $\partial M_\epsilon = f^{-1}(\epsilon)$

y el campo $\frac{1}{\epsilon} \nabla f : \partial M_\epsilon \rightarrow \mathbb{R}^m$ es un campo orlonormal a ∂M_ϵ que apunta hacia afuera.

Si $\nu : M \rightarrow \mathbb{R}^m$ es un campo con un numero finito de singularidades que ademas son no degeneradas consideremos el siguiente campo definido en M_ϵ :

$$\mu : M_\epsilon \rightarrow \mathbb{R}^m \quad \mu(x) = x - r(x) + \nu(r(x)) \quad \text{como } \nu(r(x)) \in T_x M$$

$$\text{y } x - r(x) \in T_x M^\perp \Rightarrow \mu(x) = 0 \Leftrightarrow x = r(x) \text{ y } \nu(r(x)) = \nu(x) = 0$$

ademas $\mu|_M = \nu$ entonces μ es un campo que extiende a ν sin aumentar ceros distintos de los de ν ademas $\forall x \in \partial M_\epsilon \langle \mu(x); \nabla f(x) \rangle$

$$= \|x - r(x)\|^2 = \epsilon^2 > 0 \text{ por tanto } \mu \text{ apunta hacia afuera y por 4.2}$$

$$\sum_{i=1}^k I_{\mu}(P_i) = \text{gr} \left(\frac{1}{\epsilon} \nabla f \Big|_{\partial M_\epsilon} \right) \text{ donde } \{P_1, \dots, P_k\} = \nu^{-1}(0) = \mu^{-1}(0)$$

$$\text{y como } T_{P_i} M_\epsilon = T_{P_i} M \oplus T_{P_i} M^\perp \quad \text{si } i_1 : M \xrightarrow{x} M_\epsilon \quad i_2 : T_{P_i} M^\perp \xrightarrow{y} M_\epsilon$$

$$\text{y } d_{P_i} \mu \Big|_{T_{P_i} M} = d_{P_i} \mu \circ d_{P_i} i_1 = d_{P_i} \mu \circ \text{Id} = d_{P_i} \nu$$

$$\text{y } d_{P_i} \mu \Big|_{T_{P_i} M^\perp} = d_{P_i} \mu \circ d_{P_i} i_2 = d_{P_i} \mu \circ i_2 = d_{P_i} (i_2) \text{ ya que } \mu \circ i_2 = \nu \circ i_2$$

$$\Rightarrow d_{P_i} \mu = d_{P_i} \nu \oplus \text{Id}_{T_{P_i} M^\perp} \quad \therefore P_i \text{ es no degenerado y}$$

$$I_{P_i}(\mu) = \text{signo}(\det d_{P_i} \mu) = \text{signo}(\det d_{P_i} \nu) = I_{P_i}(\nu)$$

$$\therefore \text{gr} \left(\frac{1}{\epsilon} \nabla f \right) = \sum_{i=1}^k I_{\nu}(p_i)$$

4.5.1 por tanto $\sum_{i=1}^k I_{\nu}(p_i)$ es independiente del campo vectorial y solo depende de la variedad.

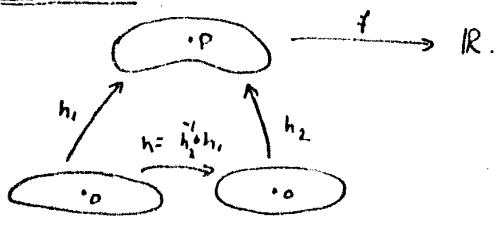
Resta identificar el numero $\text{gr} \left(\frac{1}{\epsilon} \nabla f \right)$ lo cual lo haremos para un campo particular y ver que coincide con $\chi(M)$ la manera en que se hará es construyendo un "campo gradiente" $\text{grad}(f)$ de una función real valuada $f: M \rightarrow \mathbb{R}$, este campo tendrá como singularidades los puntos singulares de f los cuales serán no degenerados si condicionamos a f a ser "no degenerada", se definirá el índice de una función en un punto singular y se relacionará con el índice de $\text{grad} f$ en el punto y usando teoría de Morse se probará que la suma de estos es $\chi(M)$.

Sea $f: M \rightarrow \mathbb{R}$ diferenciable con $M \subset \mathbb{R}^n$ una m -variedad compacta encajada en \mathbb{R}^n si P es un punto singular de f entonces sea $h: \mathbb{R}^m \rightarrow N_P$ una parametrización de una vec. de P denotaremos $\tilde{f} = f \circ h$ $\tilde{h}(0) = 0$ y si P es singular se tiene $\frac{\partial \tilde{f}}{\partial x_i}(0) = 0 \quad \forall i=1, \dots, m$

definición 4.6 un punto crítico P de f es no degenerado si la matriz

$$\left(\frac{\partial^2 \tilde{f}}{\partial x_i \partial x_j} (0) \right)_{\substack{1 \leq i \leq m \\ 1 \leq j \leq m}} \text{ es no singular}$$

Proposición 4.7: la definición anterior no depende del sistema de coordenadas



en efecto si h_1, h_2 son param.
 $\tilde{f}(x'_1, \dots, x'_m) = f \circ h_1(x_1, \dots, x_m)$
 $\tilde{f}'(x'_1, \dots, x'_m) = f \circ h_2(x'_1, \dots, x'_m)$
 y $h = h_2^{-1} \circ h_1 = (h_1, \dots, h_m)$
 $h_1(0) = h_2(0) = P$

entonces se tiene

$$\left(\frac{\partial^2 \tilde{f}}{\partial x_i \partial x_j} (0) \right)_{1 \leq i, j \leq m} = \left(\frac{\partial h_k}{\partial x_i} (0) \right)_{1 \leq k \leq m}^T \left(\frac{\partial^2 \tilde{f}}{\partial x'_j \partial x'_k} (0) \right) \left(\frac{\partial h_k}{\partial x_j} \right)_{1 \leq k \leq m}$$

*

como $\left(\frac{\partial h_x}{\partial x_i} (o) \right)_{\substack{1 \leq i \leq m \\ 1 \leq x \leq m}}$ es un isomorfismo se sigue

que $\left(\frac{\partial^2 \tilde{f}}{\partial x_i \partial x_j} (o) \right)$ es no singular $\Leftrightarrow \left(\frac{\partial^2 \tilde{f}}{\partial x_i \partial x_j} (o) \right)$ es no singular

□

tambien en un punto singular P se tiene asociada una forma cuadratica usando un sistema de coordenadas cuya matriz representante

es $H(f) = \left(\frac{\partial^2 \tilde{f}}{\partial x_i \partial x_j} (o) \right)_{\substack{1 \leq i \leq m \\ 1 \leq j \leq m}}$ y la forma cuadratica $H(f): \mathbb{R}^m \rightarrow \mathbb{R}$

esta dada por $H(f)(y) = y^t \cdot \left(\frac{\partial^2 \tilde{f}}{\partial x_i \partial x_j} (o) \right) \cdot y$

definición 4.8 llamaremos el Indice de f en P como la dimension del espacio donde H(f) es negativamente definida.

Esta definicion no depende de las cartas coordenadas ya que si

h_1 y h_2 son param. de una vec. de P $\tilde{f} = f \circ h_1, \tilde{f}' = f \circ h_2$ de * en prop 9.4

si $H'(f)$ es la forma cuadratica en las coordenadas de h_2 se tiene

$$H(f)(y) = y^t \cdot \left(\frac{\partial \tilde{f}}{\partial x_i \partial x_j} (o) \right) \cdot y = y^t \cdot (D_o h_2^{-1} \circ h_1^t) \left(\frac{\partial \tilde{f}}{\partial x_i \partial x_j} (o) \right) (D_o h_2^{-1} \circ h_1) \cdot y$$
$$= H'(f) \left([D_o h_2^{-1} \circ h_1] y \right) \Rightarrow$$

si V es el subespacio de \mathbb{R}^m donde $H'(f)$ es negativamente definida entonces $(D_o h_2^{-1} \circ h_1)(V)$ es el espacio $-n$ en \mathbb{R}^m donde H(f) es negativamente definida y por tanto tienen la misma dimension.

Lo denotaremos como $I_p(f)$.

Consideremos en M la metrica Riemanniana inducida por la metrica en \mathbb{R}^n y la denotaremos por $\langle \cdot, \cdot \rangle_p$ $p \in M$. Entonces para cada $p \in M$

definimos $grad f(p) \in T_p M$ como el unico vector tal que $\forall v \in T_p M$

$$\langle v, grad f(p) \rangle_p = d_p f(v)$$

este vector siempre existe ya que $d_p f \in T_p M^*$ y esta asignacion $v \mapsto \langle \cdot, v \rangle$ es un isomorfismo de $T_p M$ a $T_p M^*$

ademas en una vecindad coordenada V_p parametrizada por

$$h: \mathbb{R}^m \rightarrow V_p \quad \text{si } v_i = \frac{\partial h}{\partial x_i}(x) \quad \text{grad } f(h(x)) = \sum_{j=1}^m b_j(x) \frac{\partial h}{\partial x_j}(x)$$

se tiene que $\langle v_i, \text{grad } f(h(x)) \rangle_{h(x)} = \sum_{j=1}^m \langle \frac{\partial h}{\partial x_i}(x), \frac{\partial h}{\partial x_j}(x) \rangle b_j(x)$
 $= \sum_{j=1}^m g_{ij}(x) b_j(x) = d_{h(x)} f \left(\frac{\partial h}{\partial x_i}(x) \right)$ pero $(d_{h(x)} f) \left(\frac{\partial h}{\partial x_i}(x) \right) =$
 $= \frac{\partial f \circ h}{\partial x_i}(x)$ y g_{ij} son los coeficientes de la metrica
 con respecto al sistema de coordenadas h , $g_{ij} = \langle \frac{\partial h}{\partial x_i}, \frac{\partial h}{\partial x_j} \rangle$.

asi, $a_i (g_{ij})_{1 \leq i, j \leq m} = (g_{ij})_{1 \leq i, j \leq m}^{-1}$ se tiene

$$b_i(x) = \sum_{j=1}^m g^{ij}(x) \frac{\partial \bar{f}}{\partial x_j}(x) \quad \text{las cuales son diferenciables por tanto}$$

grad \bar{f} es un campo diferenciable y $\text{grad}(\bar{f})(h(x)) = 0 \Leftrightarrow b_i(x) = 0$

$\Leftrightarrow \frac{\partial \bar{f}}{\partial x_i}(x) = 0 \quad \forall i=1, \dots, m$, ademas como el campo inducido
 en \mathbb{R}^m por $\text{grad}(\bar{f})$ mediante la parametrizacion h , esta dado
 por $v(x) = (b_1(x), \dots, b_m(x))$. Si $p = h(0)$ es un punto
 singular de $f \Rightarrow$ por lo anterior $\text{grad}(\bar{f})(p) = 0$ ademas

$$D_0 v = \begin{pmatrix} \frac{\partial b_1}{\partial x_1}(0) & \dots & \frac{\partial b_1}{\partial x_m}(0) \\ \vdots & & \vdots \\ \frac{\partial b_m}{\partial x_1}(0) & \dots & \frac{\partial b_m}{\partial x_m}(0) \end{pmatrix} = \left(\frac{\partial b_i}{\partial x_j}(0) \right)_{\substack{1 \leq i \leq m \\ 1 \leq j \leq m}}$$

$$= \left(\frac{\partial}{\partial x_j} \left(\sum_{k=1}^m g^{ik}(x) \frac{\partial \bar{f}}{\partial x_k}(x) \right) \Big|_0 \right)_{\substack{1 \leq i \leq m \\ 1 \leq j \leq m}}$$

$$= \left(\sum_{k=1}^m \left[\frac{\partial g^{ik}}{\partial x_j}(0) \frac{\partial \bar{f}}{\partial x_k}(0) + \frac{\partial^2 \bar{f}}{\partial x_j \partial x_k}(0) g^{ik}(0) \right] \right)_{1 \leq i, j \leq m}$$

$$= \left(\sum_{k=1}^m g^{ik}(0) \frac{\partial^2 \bar{f}}{\partial x_j \partial x_k}(0) \right)_{1 \leq i, j \leq m}$$

$$= (g^{ik}(0))_{1 \leq i, m \leq m} \left(\frac{\partial^2 \bar{f}}{\partial x_j \partial x_k}(0) \right)_{1 \leq j, k \leq m}$$

$\Rightarrow D_0 v$ es no singular $\Leftrightarrow \left(\frac{\partial^2 \bar{f}}{\partial x_j \partial x_k}(0) \right)$ es no singular
 $\Leftrightarrow p$ es un punto singular no degenerado de f , entonces

P es así, $\text{grad}(f)$ tiene una singularidad no degenerada en P y por tanto $I_{\text{grad}(f)}(P) = \text{signo det}(D_0 v)$ (ver 4.3) y además $\text{Signo}(\det(D_0 v)) = \text{signo}(\det(g^{ij})_0 (\frac{\partial \tilde{f}}{\partial x_i \partial x_j}))$ como $(g^{ij})_0$ es la matriz que representa la métrica en $T_P M$, es positiva definida y su determinante es positivo por tanto $\text{signo}(\det(D_0 v)) = \text{signo}(\det(\frac{\partial \tilde{f}}{\partial x_i \partial x_j}))$

4.9 ... y $\therefore I_{\text{grad}(f)}(P) = (-1)^{I_P(z)}$.

4.10 Ahora probaremos que dado $M \subset \mathbb{R}^m$ una m -variedad embebida $f: M \rightarrow \mathbb{R}$ con singularidades no degeneradas.

dem. sea M_ϵ una vecindad tubular de M en \mathbb{R}^m (ver pg 61) y sea $y \in \mathbb{R}^m - M$ consideremos la función $f: M \rightarrow \mathbb{R}$ definida por $f(P) = \|y - P\|^2$, esta función es diferenciable en M y que h es en \mathbb{R}^m , y si $h: \mathbb{R}^m \rightarrow V_P$ es una parametrización de una vecindad de P en M entonces $\tilde{f}(x) = \|y - h(x)\|^2$.

entonces P es un punto singular de $f \iff \nabla \tilde{f}(0) = 0$
 pero $\nabla \tilde{f}(0) = \nabla \left(\sum_{i=1}^m (y_i - h_i(x))^2 \right) = \sum_{k=1}^m \left[\frac{\partial}{\partial x_k} \left(\sum_{i=1}^m (y_i - h_i(x))^2 \right) \right] \tilde{e}_k$
 $= \sum_{k=1}^m \left(\sum_{i=1}^m -2(y_i - h_i(0)) \frac{\partial h_i}{\partial x_k}(0) \right) \tilde{e}_k$ por tanto

* ... $\frac{\partial \tilde{f}}{\partial x_k}(0) = \sum_{i=1}^m -2(y_i - h_i(0)) \frac{\partial h_i}{\partial x_k}(0) = (y - P) \cdot \frac{\partial h}{\partial x_k}(0)$

de donde P es punto crítico $\iff y - P$ es ortogonal a $T_P M$
 entonces si $v \in T_P M^\perp$ $\|v\|=1$ consideremos $\gamma(t) = P + tv$
 $t \in \mathbb{R}$ se tiene:

- i) $S = \{t \mid P + tv \in M, v \perp T_{\gamma(t)} M\}$ es finito
- ii) la función $f(x) = \|y(x) - x\|^2$ tiene singularidades degeneradas solo para un número finito

de valores de t .

para probar i) sea $q \in M$ $\bar{f} = g(t)$ entonces $q + sv \in M, \forall |s| \leq \epsilon$
ademas $\{q + sv \mid |s| \leq \epsilon\} \cap M = \{q\} \Rightarrow S$ es discreto y acotado
 \Rightarrow que es finito.

para ii) por i) f tiene un numero finito de singularidades
eligiendo v fijo $\in T_p M^1$ y $y(t) = p + tv$ $f(x) = H y(t) - \pi H^2$
y ∇f en terminos de una parametrización $h: \mathbb{R}^m \rightarrow V_p$
esta dado en x por

$$\frac{\partial \bar{f}}{\partial x_k}(x) = \sum_{i=1}^m -2(y_i(t) - h_i(x)) \frac{\partial h_i}{\partial x_k}(x) = -2(y(t) - h(x)) \cdot \frac{\partial h}{\partial x_k}(x)$$

$$\begin{aligned} \text{y } \frac{\partial^2 \bar{f}}{\partial x_i \partial x_k}(0) &= 2 \left(\frac{\partial h}{\partial x_i}(0) \cdot \frac{\partial h}{\partial x_k}(0) \right) + 2(y(t) - h(0)) \cdot \frac{\partial^2 h}{\partial x_i \partial x_k}(0) \\ &= 2 \left(g_{ik}(0) + (y(t) - p) \cdot \frac{\partial^2 h}{\partial x_i \partial x_k}(0) \right) \\ &= 2 \left(g_{ik}(0) + \langle tv, \frac{\partial^2 h}{\partial x_i \partial x_k}(0) \rangle \right) \end{aligned}$$

\Rightarrow que la matriz $\left(\frac{\partial^2 \bar{f}}{\partial x_i \partial x_k}(0) \right)_{1 \leq i, k \leq m}$ es singular

Solo para un numero finito de valores de t .



Para terminar daremos los siguientes teoremas sin demostración:

Teorema 4.11 Si $f: M \rightarrow \mathbb{R}$ es una funcion diferenciable con M compacta cuyos puntos criticos son no degenerados entonces M tiene el mismo tipo de homotopia de un complejo CW con una celula de dimension k por cada punto critico de indice k .

(ver Morse theory by J. Milnor teorema 3.5)

Teorema 4.12 Si X es un complejo CW finito, sea

E^n el número de n -celulas en X , entonces asociado a la descomposición celular de X se tiene un complejo de cadenas $W(X)$ cuya homología es isomorfa a $H(X)$ y además $W_n(X) = \bigoplus_{i=1}^{E_n} \mathbb{Z}$.

(ver lecturas on Algebraic topology by Albrecht Dold capítulo V definición 1.2 y prop. 4.5)

Teorema 4.13 sea K un complejo de cadenas tal que es finito:

$$\psi(K) = \sum_{i=0}^{\infty} (-1)^i \text{rango } K_i \quad \text{está bien definida y } \chi(HK) = \chi(K)$$

(ver lecturas on Algebraic topology by Albrecht Dold capítulo V proposición 5.2)

Teorema 4.14 sea $f: M \rightarrow \mathbb{R}$ una función con singularidades

no degeneradas M compacta, sea $\text{grad}(f)$ el campo gradiente de f , entonces si $\{P_1, \dots, P_k\}$ son los puntos singulares de $\text{grad}(f)$

$$\sum_{i=1}^k I_{\text{grad}(f)}(P_i) = \chi(M)$$

Demostración de 4.11 $H(M) \cong H(X)$ con X un

complejo CW con una celula de dimensión k por cada punto crítico de f de índice k los cuales coinciden con los puntos críticos de $\text{grad}(f)$, ahora por 4.13

$$W_k(X) = \bigoplus_{i=1}^{E_k} \mathbb{Z} \quad E_k = \text{número de puntos críticos de } f \text{ de índice } k$$

$$\text{índice } I_f(P) = k \quad \Rightarrow \quad I_{\text{grad}(f)}(P) = (-1)^k \quad \Rightarrow$$

$$\sum_{P \in \text{grad } f^{-1}(0)} I_{\text{grad } f}(P) = \sum_{k=0}^{\infty} (-1)^k E_k = \chi(X) = \chi(M)$$

y $E_k = 0$ para k suficientemente grande □

con esto y 4.5.1 se tiene el siguiente teorema

TEOREMA (Poincaré-Hopf)

sea M una m -variedad compacta orientable y
 $\nu: M \rightarrow TM$ un campo vectorial diferenciable con un
numero finito de singularidades entonces

$$\sum_{p \in \nu^{-1}(0)} I_{\nu}(p) = \chi(M)$$



Fin

BIBLIOGRAFIA

Albrecht Dold .

Lectures on Algebraic topology . Springer - Verlag

Topología diferencial : Aplicaciones a teoría de punto fijo . trad. Carlos Priolo

Monografías del Instituto de Matemáticas (sin publicar)

Do Carmo , Menedo P.

Differential Geometry of curves and Surfaces . Prentice - Hall .

Geometría Riemanniana . Proyecto Euclides IMPA

Guillemin , Victor / Alan Pollack .

Differential topology . Prentice - Hall .

Hirsh , M. W.

Differential topology . Springer - Verlag .

Letschetz , Solomon

Differential equations Geometry theory . Dover .

Introduction to topology . Princeton University Press .

Massey , William S .

Algebraic topology an Introduction . Springer - Verlag

Milnor , John .

Morse theory . Princeton University Press

topology from differentiable viewpoint . the University Press of Virginia

Munkres , James R.

topology a first course . Prentice - Hall

Lifshitz , Jaime

Un teorema sobre transformaciones de curvas cerradas sobre si mismas

Boletín de la Sociedad Matemática Mexicana 1946 pg 21-25

Poincare , Henrie .

Ouvres de Henrie Poincaré tomo 1 " Sur les courbes définies par les
équations différentielles " chapitre XIII "Distribution de points
singuliers " pg 121-125 .